

Grupo de Trabajo REDECAN

Registro de Cáncer de Araba: Arantza López de Munain; **Registro de Cáncer de Asturias:** Susana Merino Perera, Virginia Menéndez García, Patricia Camporro Burguillo, An Lieve Dirk Boone; **Registro de Cáncer de Bizkaia:** Marta de La Cruz, Amaia Onaindia; **Registro de Cáncer de las Islas Canarias:** Montserrat C. Garrido Martín; Xitama Álvarez Díaz, Elena López Villarrubia; **Registro de Cáncer de Castelló:** Consol Sabater Gregori, Ana Vizcaíno Batllés, Isabel Sáez Lloret; **Registro de Cáncer de Castilla y León:** Pilar Gutiérrez, Rufino Álamo, Lorena Estévez, Sonia Gil; **Registro de Cáncer de Gipuzkoa:** Amaia Aizpurua, Silvia Sanclemente, Ainara Rico; **Registro de Cáncer de Girona:** Rafael Marcos-Gragera, Montse Puigdemont, Anna Vidal Vila, Arantza Sanvisens, Jan Trallero, Aina Romaguera Palomé; **Registro de Cáncer de Granada:** María José Sánchez, Miguel Rodríguez-Barranco, Daniel Redondo-Sánchez, Óscar Javier Mendoza García, Dafina Petrova; **Registro de Cáncer de La Rioja:** Enrique Ramalle Gómara, María Isabel Palacios Castaño; **Registro de Cáncer de Mallorca:** Marta Muncunill Farreny; **Registro de Cáncer de Murcia:** María Dolores Chirlaque, Antonia Sánchez Gil, Ricardo José Vaamonde; **Registro de Cáncer de Navarra:** Marcela Guevara, Alba Gasque, Eva Ardanaz; **Registro de Cáncer de Tarragona:** Marià Carulla, Alberto Ameijide, Clàudia Pla, Jaume Galceran; **Registro Español de Tumores Infantiles:** Rafael Peris, Adela Cañete, Elena Pardo; **Registro de Tumores Infantiles y Adolescentes de la Comunitat Valenciana:** Ana Vizcaino, Fernando Almela Vich, Noura Jekhalef El Karoui; **Registro Poblacional de Cáncer en la Infancia y Adolescencia de la Comunidad de Madrid:** Nuria Aragonés, Beatriz Tabarés, Candela Pino, Sonia Ávila, Clotilde Sevilla, Melanie Ventura, María Legarreta.

Grupo de Trabajo de Tumores Hematológicos-HematoREDECAN

Jan Trallero, Arantza Sanvisens, Aina Romaguera, Rafael Marcos-Gragera, Alberto Ameijide, Clàudia Pla, Elena Pardo, Daniel Redondo

Autoría: Red Española de Registros de Cáncer (REDECAN)

Maquetación y edición: Sociedad Española de Hematología y Hemoterapia (SEHH)

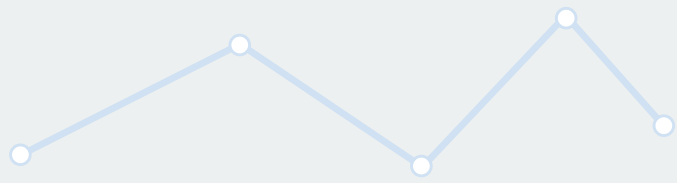
Edita:

© del texto 2025: Red Española de Registros del Cáncer (REDECAN)

© de la edición 2025: Sociedad Española de Hematología y Hemoterapia

Reservados todos los derechos. Ninguna parte de esta publicación puede ser reproducida o transmitida de ninguna forma o por medio alguno sin la autorización previa y por escrito de los titulares del copyright.

Abreviaturas	4
Índice de tablas	5
Índice de figuras	7
Resumen	8
Introducción	9
Epidemiología del cáncer	9
Registros poblacionales de cáncer	9
Las neoplasias hematológicas	10
Objetivos	12
Metodología	13
Población de estudio	13
Clasificación tumoral	14
Aspectos éticos	14
Análisis estadísticos	14
Resultados	18
Población general	18
Incidencia	18
Supervivencia	26
Población infantil	28
Incidencia	28
Supervivencia	32
Conclusiones	34
Población general	34
Población infantil	35
Anexos	36
Infografías	72



CIE-O-3

Clasificación Internacional de Enfermedades para Oncología, 3.ª edición

DE

desviación estándar

h-a

hombres-año

IC

intervalo de confianza

INE

Instituto Nacional de Estadística

LALA

leucemia aguda de linaje ambiguo

LB

linfoma de Burkitt

LH

linfoma de Hodgkin

LMA

leucemia mieloide aguda

LNH

linfoma no Hodgkin

LNH-B

neoplasia linfoide de células B maduras (LNH de células B)

LNH-T/NK

neoplasia linfoide de células T/NK maduras (LNH de células T/NK)

m-a

mujeres-año

MS

mastocitosis – (*Mastocitosis sistémica*)

NMD/MP

neoplasia mielodisplásica/ mieloproliferativa

NMP

neoplasia mieloproliferativa

NPL

neoplasia de células precursoras linfoides

OMS

Organización Mundial de la Salud

p-a

personas-año

PCA

porcentaje de cambio anual

REDECAN

Red Española de Registros de Cáncer

RETI-SEHOP

Registro Español de Tumores Infantiles

RPC

registro poblacional de cáncer

SAI

sine alter indicatio (sin otra indicación)

SEHH

Sociedad Española de Hematología y Hemoterapia

SMD

síndrome mielodisplásico

SN

supervivencia neta

SO

supervivencia observada

TAE

tasa ajustada por edad

TB

tasa bruta

TEE

tasa específica por edad

Tabla 1	Distribución de los casos incidentes de neoplasias hematológicas de la Red Española de Registros de Cáncer (REDECAN) en la población general y la población infantil durante el periodo 2009-2018	13
Tabla 2	Proyecciones de los casos incidentes de las neoplasias hematológicas y sus principales grupos en España para 2026	25
Tabla 3	Proyecciones de los casos incidentes de las neoplasias hematológicas infantiles (0-14 años) y sus principales grupos en España para 2026, global y por sexo	32
Tabla A1	Clasificación Internacional para las Neoplasias Hematológicas de la OMS según código histológico de la Clasificación Internacional de Enfermedades para Oncología, 3ª Edición (CIE-O-3)	36
Tabla A2	Clasificación Internacional para el Cáncer Infantil, 3ª edición de 2017 según código histológico de la Clasificación Internacional de Enfermedades para Oncología, 3ª edición (CIE-O-3)	37
Tabla A3	Estructura de la pirámide población estándar europea de 2013 de Eurostat	37
Tabla A4	Cifras descriptivas de la incidencia de las neoplasias hematológicas en el conjunto de ambos sexos. REDECAN, 2009-2018	38
Tabla A5	Cifras descriptivas de la incidencia de las neoplasias hematológicas en hombres. REDECAN, 2009-2018	40
Tabla A6	Cifras descriptivas de la incidencia de las neoplasias hematológicas en mujeres. REDECAN, 2009-2018	42
Tabla A7	Tasas de incidencia expresadas como casos por 100.000 personas-año de las neoplasias hematológicas en el conjunto de ambos sexos. REDECAN, 2009-2018	44
Tabla A8	Tasas de incidencia expresadas como casos por 100.000 hombres-año de las neoplasias hematológicas en hombres. REDECAN, 2009-2018	46
Tabla A9	Tasas de incidencia expresadas como casos por 100.000 mujeres-año de las neoplasias hematológicas en mujeres. REDECAN, 2009-2018	48
Tabla A10	Tendencias de la incidencia durante 2009-2018 en REDECAN y proyecciones de incidencia para 2026 en el conjunto de ambos sexos en España	50

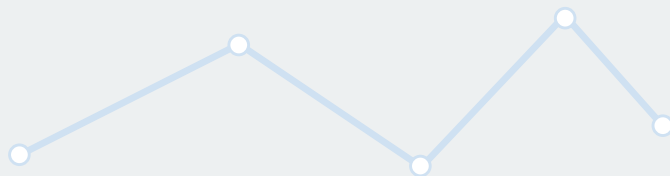


Tabla A11	Tendencias de la incidencia durante 2009-2018 en REDECAN y proyecciones de incidencia para 2026 en hombres en España	52
Tabla A12	Tendencias de la incidencia durante 2009-2018 en REDECAN y proyecciones de incidencia para 2026 en mujeres en España	54
Tabla A13	Supervivencia observada y neta a 5 años del diagnóstico global y por grupo de edad de las neoplasias hematológicas en el conjunto de ambos sexos. REDECAN, 2009-2017	56
Tabla A14	Supervivencia observada y neta a 5 años del diagnóstico global y por grupo de edad de las neoplasias hematológicas en hombres. REDECAN, 2009-2017	58
Tabla A15	Supervivencia observada y neta a 5 años del diagnóstico global y por grupo de edad de las neoplasias hematológicas en mujeres. REDECAN, 2009-2017	60
Tabla A16	Tendencia de la supervivencia neta a 5 años del diagnóstico entre los periodos 2009-2013 y 2014-2017 de las neoplasias hematológicas en el conjunto de ambos sexos. REDECAN	62
Tabla A17	Tendencia de la supervivencia neta a 5 años del diagnóstico entre los periodos 2009-2013 y 2014-2017 de las neoplasias hematológicas en hombres. REDECAN	63
Tabla A18	Tendencia de la supervivencia neta a 5 años del diagnóstico entre los periodos 2009-2013 y 2014-2017 de las neoplasias hematológicas en mujeres. REDECAN	64
Tabla A19	Cifras descriptivas de la incidencia de las neoplasias hematológicas infantiles en el conjunto de ambos sexos, y por sexo. REDECAN, 2009-2018	65
Tabla A20	Tasas de incidencia de las neoplasias hematológicas infantiles en el conjunto de ambos sexos, y por sexo. REDECAN, 2009-2018	66
Tabla A21	Tendencia de la incidencia durante 2009-2018 (REDECAN) y proyecciones de incidencia para 2026 en España para las neoplasias infantiles (0-14 años) en el conjunto de ambos sexos, y por sexo	68
Tabla A22	Supervivencia y tendencia de la supervivencia de las neoplasias infantiles global y por grupo de edad en el conjunto de ambos sexos, y por sexo. REDECAN, 2009-2018	70

Figura 1
 Mapa de las islas y provincias con cobertura poblacional de los registros pertenecientes a la Red Española de Registros de Cáncer (REDECAN) 10

Figura 2
 Distribución de los casos y media de edad al diagnóstico de las neoplasias linfoides global y por sexo, REDECAN, 2009-2018 19

Figura 3
 Distribución de los casos y media de edad al diagnóstico de las neoplasias mieloides global y por sexo. REDECAN, 2009-2018 19

Figura 4
 Tasas ajustadas por edad (TAE) expresada como casos por 100.000 personas-año (p-a) de las neoplasias linfoides, global y por sexo. REDECAN, 2009-2018 21

Figura 5
 Tasas ajustadas por edad (TAE) expresada como casos por 100.000 personas-año (p-a) de las neoplasias mieloides, global y por sexo. REDECAN, 2009-2018 22

Figura 6
 Tendencia de la incidencia de las neoplasias linfoides global y por sexo. REDECAN, 2009-2018 23

Figura 7
 Tendencia de la incidencia de las neoplasias mieloides global y por sexo. REDECAN, 2009-2018 24

Figura 8
 Supervivencia neta de los subtipos más frecuentes de neoplasias hematológicas en España, 2009-2017 26

Figura 9
 Diferencia en la supervivencia neta (SN) a 5 años del diagnóstico entre los períodos 2009-2013 y 2014-2017 de los subtipos más frecuentes de neoplasias hematológicas en España 28

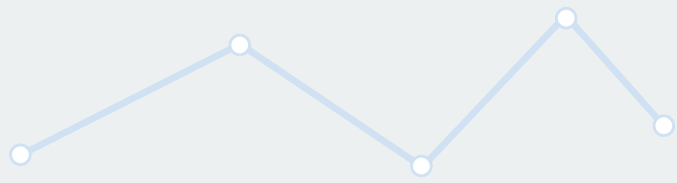
Figura 10
 Distribución de los casos y media de edad al diagnóstico de las neoplasias hematológicas infantiles (0-14 años) global y por sexo. REDECAN, 2009-2018 29

Figura 11
 Tasas ajustadas por edad (TAE) expresada como casos por 1.000.000 personas-año (p-a) de las principales neoplasias hematológicas en la población infantil (0-14 años) global y por sexo. REDECAN, 2009-2018 30

Figura 12
 Tendencia de la incidencia de las neoplasias hematológicas en la población infantil (0-14 años) global y por sexo. REDECAN, 2009-2018 31

Figura 13
 Supervivencia observada de los subtipos más frecuentes de neoplasias hematológicas en la población infantil (0-14 años). REDECAN, 2009-2017 33

Figura 14
 Diferencia en la supervivencia observada (SO) a 5 años del diagnóstico entre los periodos 2009-2013 y 2014-2018 de los subtipos más frecuentes de neoplasias hematológicas en la población infantil (0-14 años) en REDECAN 33



Introducción: el conocimiento de la epidemiología de las neoplasias hematológicas a nivel poblacional es indispensable para comprender la carga del cáncer, ya que proporciona datos cruciales para entender el impacto de la enfermedad en los pacientes y en la sociedad. Los objetivos de este estudio son calcular las proyecciones de la incidencia de los cánceres hematológicos en España para 2026 y estimar la supervivencia neta y observada a 5 años del diagnóstico de este conjunto de patologías, en la población general e infantil.

Metodología: se incluyeron todos los casos de neoplasias hematológicas identificadas por los registros de cáncer poblacionales de la Red Española de Registros de Cáncer (REDECAN) del periodo 2009-2018, tanto para el conjunto de la población general (0-99 años) como para la población infantil (0-14 años). Los tumores hematológicos se categorizaron según la clasificación de la OMS de 2016 para la población general y según la clasificación internacional de cáncer infantil 3ª edición para la población infantil. Se estimaron tasas de incidencia y sus tendencias entre 2009 y 2018 y se proyectó la incidencia para la población española de 2026. Las supervivencias observada y neta se estimaron a 5 años del diagnóstico. La evolución de la supervivencia se evaluó comparando periodos diagnósticos.

Resultados: durante el periodo 2009-2018 se diagnosticaron un total de 58.846 casos de neoplasias hematológicas en la población general y 3.078 casos en la población infantil de los registros incluidos en el estudio. En general la tendencia de la incidencia se mantuvo estable y para 2026 se estima que en España se diagnosticarán un total de 27.929 casos y 447 casos de neoplasias hematológicas en la población general e infantil, respectivamente. Globalmente, la supervivencia de los pacientes con estas enfermedades fue del 63,0% con un mejor pronóstico en mujeres. Se observó un aumento estadísticamente significativo de la supervivencia de las neoplasias hematológicas del 2,2% entre 2009-2013 y 2014-2017. En la población infantil, la supervivencia a 5 años del diagnóstico fue de 87,5% sin diferencias entre sexos.

Conclusiones: las proyecciones de la incidencia y las estimaciones de la supervivencia aquí presentadas permiten evaluar el impacto de las nuevas terapias aplicadas en los pacientes con estas patologías y pueden servir de base para planificar recursos dirigidos, entre otros objetivos, a implementar métodos punteros de diagnóstico y pronóstico para estas enfermedades.

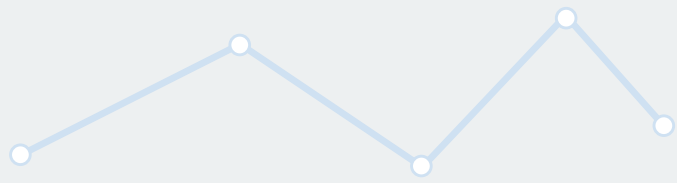
Epidemiología del cáncer

La epidemiología es la rama de la medicina que estudia la frecuencia, la distribución, las causas y el control de las enfermedades en poblaciones bien definidas. La epidemiología del cáncer, en concreto, pretende evaluar la carga de esta enfermedad mediante indicadores como la incidencia, la mortalidad, la supervivencia y la prevalencia, además de sus respectivas tendencias. La monitorización de los indicadores epidemiológicos y su evolución en el tiempo permite estudiar los factores de riesgo, los efectos de la enfermedad en la salud pública o el pronóstico de la enfermedad, entre otros, en las poblaciones estudiadas. Además, resulta esencial para la planificación de recursos dirigidos al diagnóstico, tratamiento y prevención por parte de las autoridades de salud pública.

Registros poblacionales de cáncer

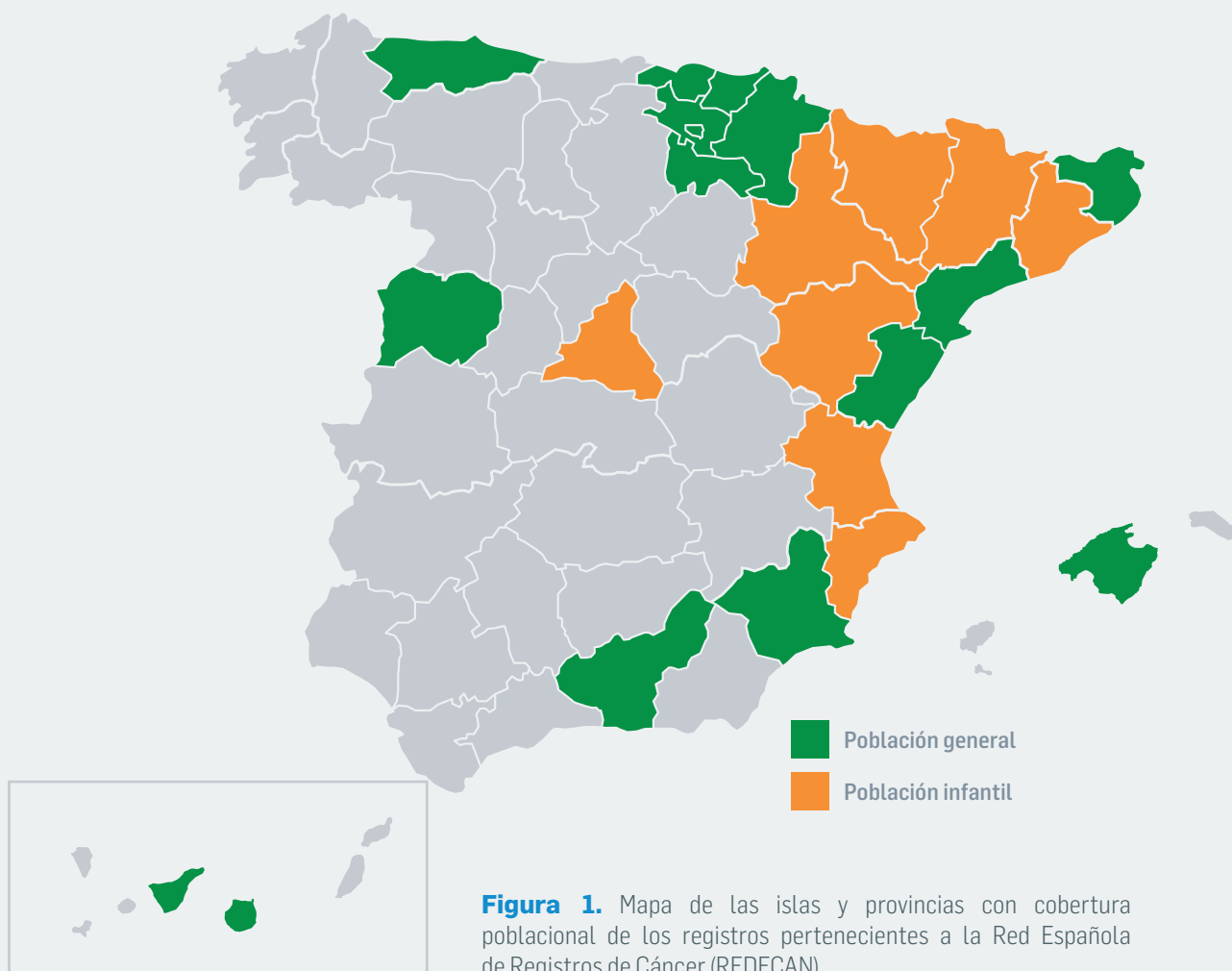
Los registros poblacionales de cáncer (RPC) tienen como objetivo registrar todos los casos de cáncer que ocurren en un área geográfica definida a lo largo del tiempo para poder estimar los indicadores epidemiológicos de esta enfermedad. En consecuencia, los RPC son la herramienta principal para la monitorización del cáncer a nivel poblacional. En 2010, los RPC presentes en España fundaron un órgano cooperativo, la Red Española de Registros de Cáncer (REDECAN), con el objetivo de estudiar la epidemiología del cáncer en España. Para ello, estos registros crearon una base de datos conjunta que asegura la calidad de los datos y la actualización de estos. Gracias a este trabajo colaborativo, REDECAN es actualmente uno de los principales elementos del sistema de información del cáncer en España.

Los RPC de REDECAN se pueden diferenciar entre los que registran los casos de cáncer en la población de todas las edades y los que solo registran los casos de cáncer infantil (0-14 años). Los RPC de todas las edades cubren las provincias de Asturias, Castelló, Girona, Granada, La Rioja, Murcia, Navarra, País Vasco (Araba, Gipuzkoa, Bizkaia), Salamanca, Tarragona, y las islas de Mallorca, Gran Canaria



y Tenerife. En cambio, las provincias de Alacant, Barcelona, Huesca, Lleida, Madrid, Teruel, València y Zaragoza solo registran casos de población de edad infantil, y están cubiertas por el Registro Español de Tumores Infantiles (RETI-SEHOP) y el Registro de Tumores Infantiles y Adolescentes de la Comunitat Valenciana (**Figura 1**).

La cobertura poblacional de todas las edades está en torno al 25% del total de la población española y la población infantil alrededor del 65%.



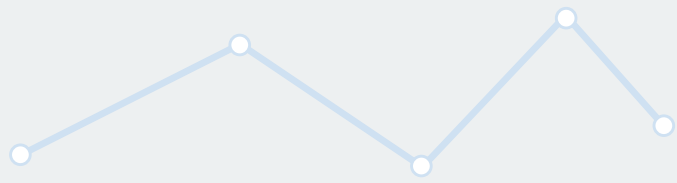
Las neoplasias hematológicas

Las neoplasias hematológicas son un conjunto de enfermedades heterogéneas con unas características clínicas bien establecidas y con distintos perfiles histológicos que abarcan más de 40 entidades. De hecho, la mejora en el conocimiento de este grupo de enfermedades a nivel molecular y genómico ha comportado un refinamiento de algunas definiciones y nomenclaturas y el descubrimiento de nuevos subtipos. Es por esto por lo que la Organización Mundial de la Salud (OMS) clasifica las neoplasias hematológicas en múltiples grupos y subgrupos en función sobre todo del linaje de las células afectadas, sus mutaciones genéticas, su pronóstico y otras características.

En el marco de REDECAN, en 2021 se creó el grupo de trabajo de Tumores Hematológicos – HematoREDECAN con el objetivo de analizar la epidemiología de estos tumores, ya que presentan una especificidad diferencial respecto a los tumores sólidos. El principal objetivo de este grupo de trabajo es la estimación de la incidencia y la supervivencia, así como sus tendencias en el tiempo, de las neoplasias hematológicas en España.

Desde 2023, HematoREDECAN y la Sociedad Española de Hematología y Hemoterapia (SEHH) firmaron un acuerdo de colaboración para trabajar conjuntamente en la elaboración de un informe anual con las proyecciones de la incidencia y la estimación de la supervivencia de las neoplasias hematológicas en España para su presentación durante la celebración del Mes del Cáncer Sanguíneo a lo largo de septiembre.

Este informe presenta datos actualizados sobre la incidencia y la supervivencia de las neoplasias hematológicas en base a la clasificación de las neoplasias hematológicas de la OMS, utilizando los datos más actualizados disponibles de REDECAN.



El objetivo de este trabajo es determinar la incidencia y sus proyecciones en el futuro, y estimar la supervivencia de las neoplasias hematológicas en España en función de los distintos subtipos, edad y sexo. Concretamente los objetivos están divididos en:

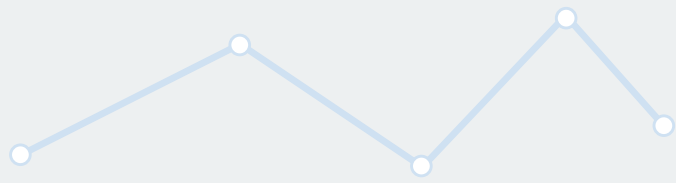
- Calcular la incidencia de las neoplasias hematológicas durante el periodo 2009-2018 en función de los distintos subtipos, edad al diagnóstico y sexo.
- Estimar la tendencia de la incidencia de las neoplasias hematológicas durante el periodo 2009-2018 en función de los distintos subtipos y sexo.
- Proyectar la incidencia en el total de la población española de las neoplasias hematológicas para 2026 en función de los distintos subtipos y sexo.
- Estimar la supervivencia observada (SO) y la supervivencia neta (SN) a 5 años del diagnóstico durante el periodo 2009-2017 para la población general y durante el periodo 2009-2018 para la población infantil en función de los distintos subtipos, edad al diagnóstico y sexo.
- Estimar la tendencia de la supervivencia a 5 años del diagnóstico durante el periodo 2009-2017 para la población general y durante el periodo 2009-2018 en función de los distintos subtipos y sexo.

Población de estudio

Se incluyeron todos los casos de neoplasias hematológicas malignas registradas y codificadas según la 3ª Edición de la Clasificación Internacional de Enfermedades para Oncología (CIE-O-3) con códigos morfológicos entre 9590/3 y 9993/3 de la 6ª Edición de la base de datos conjunta de los registros poblacionales de REDECAN diagnosticados durante los años 2009 a 2018, como se muestra en la **Tabla 1**.

Tabla 1. Distribución de los casos incidentes de neoplasias hematológicas de la Red Española de Registros de Cáncer (REDECAN) en la población general (0-99 años) y la población infantil (0-14 años) durante el periodo 2009-2018.

Provincia/Isla	Periodo del diagnóstico	Población general N = 58.846 n (%)	Población infantil N = 3.078 n (%)
Alacant	2009-2018	-	176 (5,7)
Araba	2009-2018	2.093 (3,6)	26 (0,8)
Asturias	2009-2017	6.710 (11,4)	92 (3,0)
Barcelona	2009-2018	-	553 (18,0)
Bizkaia	2009-2018	7.721 (13,1)	145 (4,7)
Castelló	2009-2018	2.553 (4,3)	68 (2,2)
Gipuzkoa	2009-2018	4.709 (8,0)	85 (2,8)
Girona	2009-2018	4.063 (6,9)	81 (2,6)
Granada	2009-2018	3.843 (6,5)	98 (3,2)
Huesca	2009-2018	-	15 (0,5)
La Rioja	2009-2018	1.781 (3,0)	17 (0,6)
Las Palmas	2009-2018	3.986 (6,8)	80 (2,6)
Lleida	2009-2018	-	51 (1,7)
Madrid	2009-2018	-	729 (23,7)
Mallorca	2009-2013	1.845 (3,1)	39 (1,3)
Murcia	2009-2018	6.895 (11,7)	198 (6,4)
Navarra	2009-2017	2.925 (5,0)	60 (1,9)
Salamanca	2011-2018	1.756 (3,0)	31 (1,0)
Santa Cruz de Tenerife	2009-2018	3.867 (6,6)	73 (2,4)
Tarragona	2009-2018	4.099 (7,0)	81 (2,6)
Teruel	2010-2018	-	3 (0,1)
València	2009-2018	-	289 (9,4)
Zaragoza	2009-2018	-	88 (2,9)



Para cada caso, se disponía de información demográfica (fecha de nacimiento, sexo y provincia/isla de residencia), del tumor (fecha de diagnóstico, método diagnóstico, edad al diagnóstico, topografía y morfología) y de seguimiento (estado vital, fecha de defunción o fecha de final de seguimiento). La edad se categorizó en los siguientes grupos: <15, 15-39, 40-59, 60-69, 70-79 y >79 años, y los años del diagnóstico en dos periodos de 5 años cada uno (2009-2013, 2014-2018).

Clasificación tumoral

Las neoplasias hematológicas de todas las edades se agruparon siguiendo la Clasificación Internacional para Tumores Hematológicos de la OMS de 2016, tal y como muestra la **Tabla A1 en los Anexos**. En cambio, los tumores hematológicos infantiles se agruparon siguiendo la 3ª Edición de la Clasificación Internacional de Cáncer Infantil, 3ª Edición de 2017 (**Tabla A2 en los Anexos**).

Aspectos éticos

La Base de Datos Conjunta de REDECAN utilizada para este trabajo está sujeta al "Convenio de colaboración para la gestión de la base de datos conjunta de REDECAN" y al "Acuerdo de corresponsabilidad de REDECAN" que suscriben los distintos centros participantes. Asimismo, este estudio se ha realizado utilizando los datos anonimizados de los RPC participantes. Por su parte, los registros cumplen con la normativa legal vigente en Europa y España: el Reglamento General de Protección de Datos de la Unión Europea (RGPD 2016/679) y la Ley Orgánica 3/2018 de Protección de Datos de Carácter Personal y Garantía de Derechos Digitales. Este estudio ha sido aprobado por el Comité de Ética de Investigación con Medicamentos (CEIM) del Hospital Universitari Dr. Josep Trueta de Girona (número de aprobación 2023.163).

Análisis estadísticos

En este informe se llevaron a cabo dos análisis de datos por separado, el primero con el total de casos de todas las edades (0-99 años) y el segundo con los casos de la población infantil (0-14 años).

Análisis descriptivo

El análisis descriptivo consistió en el cálculo de frecuencias absolutas y frecuencias relativas, expresadas en porcentaje, para las variables categóricas. Para las variables numéricas se usó la media y la desviación estándar (DE).

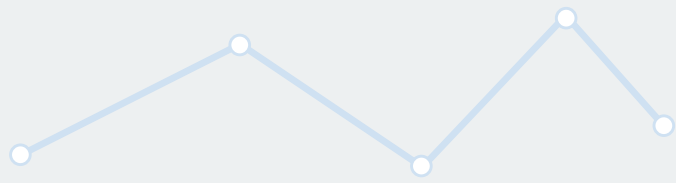
Incidencia

La incidencia se estimó mediante tasas expresadas como casos por 100.000 personas-año (p-a) para la población general y por 1.000.000 p-a para la población infantil, y definidas como:

- **Tasa bruta (TB):** Se calcula dividiendo el total de nuevos casos de cáncer diagnosticados en un periodo y un área geográfica específica entre el total de la población a riesgo del mismo periodo y área geográfica.
- **Tasa específica por edad (TEE):** Se calcula dividiendo el total de nuevos casos de cáncer diagnosticados en un periodo, un área geográfica y un grupo de edad específico entre el total de la población a riesgo del mismo periodo, área geográfica y grupo de edad.
- **Tasa ajustada por edad (TAE):** Se calcula aplicando los pesos de los grupos de edad de una población estándar a las tasas específicas por edad calculadas para los grupos de edad quinquenales. Los pesos corresponden a la proporción de población de cada grupo de edad según la estructura de la pirámide poblacional europea de 2013 (**Tabla A3 en los Anexos**).

Tendencia de la incidencia

La tendencia de la incidencia se define como el cambio de la tasa de incidencia a lo largo de los años expresada normalmente como el porcentaje de cambio anual (PCA). Para estimar el PCA, se modelaron los casos incidentes de cáncer mediante modelos lineales generalizados con distribución de *Poisson* ajustados por el año de diagnóstico y los grupos de edad quinquenales con la población a riesgo como *offset* en el modelo.



Proyecciones de la incidencia

Las proyecciones de la incidencia se calcularon considerando dos asunciones: 1) la incidencia del cáncer hematológico es homogénea en España, es decir, que para las provincias/islas donde no hay datos se espera la misma incidencia que la observada en los territorios donde sí los hay y 2) la tendencia de la incidencia observada durante los últimos 10 años donde hay datos disponibles se mantiene estable en el tiempo.

Para la proyección a 2026, se consideraron las TEE de los últimos 5 años de incidencia observada (2014-2018) y se aplicó el PCA estimado del periodo 2009-2018. A su vez, el PCA se fue reduciendo de forma anual para cada año proyectado hasta alcanzar el 0 a 20 años desde el inicio de la proyección. Esta reducción del PCA se utiliza en las proyecciones a largo plazo dado que, en una situación real, la incidencia de una patología no puede ir aumentando indefinidamente. Finalmente, las TEE resultantes se aplicaron a la población española proyectada para 2026 para poder estimar los casos incidentes, las TB y las TAE para 2026.

Tanto las poblaciones a riesgo para el periodo 2009-2018 como la población española proyectada para 2026 en función del sexo, provincia/isla de residencia, año y edad se obtuvieron del Instituto Nacional de Estadística (INE).

Todos los resultados que se refieren a los datos de los registros que cubre REDECAN se indican en las tablas y figuras como REDECAN, y los resultados proyectados para 2026 para el conjunto de la población española se indican como España.

Supervivencia

La supervivencia se estimó a 5 años del diagnóstico excluyendo los casos notificados solo por certificado de defunción y los casos diagnosticados en años donde no hubo un mínimo de 5 años de seguimiento para cada provincia/isla. Como consecuencia la supervivencia para la población general se estimó para el periodo 2009-2017 y para la población infantil para el periodo 2009-2018. Además, para las patologías o grupos de edad que presentaron menos de 20 casos la supervivencia no se estimó. La supervivencia se expresa como la probabilidad de estar vivo a 5 años del diagnóstico. Ambas supervivencias se definen como:

- Supervivencia observada (SO): Probabilidad de que un paciente con cáncer esté vivo a un tiempo determinado independientemente de la causa de muerte. Se determinó mediante el estimador *Kaplan-Meier*.
- Supervivencia neta (SN): Probabilidad de que un paciente con cáncer esté vivo a un tiempo determinado en la situación hipotética de que la causa de muerte esté solo relacionada con el cáncer. Para su estimación, se compara la SO del paciente con la supervivencia esperada de la población general para unas características demográficas similares (sexo, año, edad y provincia/isla). Se calculó mediante el estimador *Pohar-Perme*.

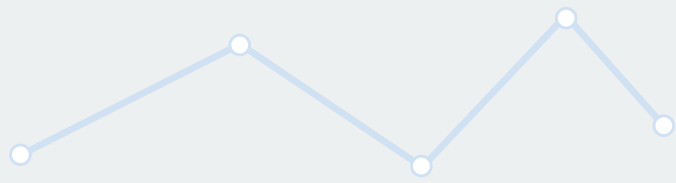
La SN solo se estimó para la población general, ya que la SO y la SN en la población infantil son equiparables. Esto se debe a que la población infantil con cáncer muere principalmente por el propio cáncer y no por otras causas.

Las tablas de vida para calcular la supervivencia esperada de la población general en función del sexo, año, edad y provincia/isla para el cálculo de la supervivencia neta se obtuvieron del INE.

Tendencia de la supervivencia

La tendencia de la supervivencia se determinó como la diferencia entre la supervivencia del periodo 2009-2013 y la del 2014-2017 para la población general y entre los periodos 2009-2013 y 2014-2018 para la población infantil. Las diferencias se consideraron estadísticamente significativas si los intervalos de confianza (IC) de ambos periodos no se solapaban.

Todos los análisis estadísticos se estimaron con un nivel de significación al 95% y se usó el programa R versión 4.5.0.



Población general

Incidencia

Cifras descriptivas

Un total de 58.846 neoplasias hematológicas fueron registradas por los RPC de REDECAN durante 2009-2018, de las cuales un 55,3% fueron en hombres ($n = 32.554$) y el 44,7% restante en mujeres ($n = 26.292$). La edad media \pm DE al diagnóstico fue de $65,4 \pm 18,4$ años, siendo muy similar en ambos sexos. El tipo más común de neoplasias hematológicas fueron las neoplasias linfoides representando el 67,9% de los casos ($n = 39.954$), seguidas por las neoplasias mieloides con un total de 18.718 (31,8%) casos diagnosticados. El 0,3% restante ($n = 174$) correspondieron a las histiocitosis malignas.

Las neoplasias de células B maduras (LNH-B) fueron el subtipo más común de neoplasia linfoide, representando el 78,1% ($n = 31.185$) y con una media de edad al diagnóstico de 67,4 años. Los siguientes subtipos más comunes de neoplasias linfoides fueron los linfomas de Hodgkin (LH) y las neoplasias de células T y NK maduras (LNH-T/NK) siendo el 8,5% y 6,2%, respectivamente. Finalmente, las neoplasias de células precursoras linfoides (NPL) representaron menos del 5%. Cabe destacar que la media de edad tanto en los LH como en las NPL se situó por debajo de los 50 años (**Figura 2**).

El subtipo de LNH-B incluye patologías como el mieloma múltiple, el linfoma difuso de células B grandes, la leucemia linfocítica crónica, el linfoma folicular y el linfoma marginal que representan, respecto al total de las neoplasias hematológicas, el 12,7% ($n = 7.493$), 12,3% ($n = 7.214$), 10,9% ($n = 6.411$), 8,1% ($n = 4.771$) y 4,4% ($n = 2.519$), respectivamente. La media de edad de este grupo de enfermedades se situó entre los 65 y 71 años de edad.

La **Figura 3** muestra la distribución y la media de edad al diagnóstico de las neoplasias mieloides. Este conjunto de patologías presentó una distribución más homogénea entre subtipos, siendo los principales: las neoplasias mieloproliferativas (NMP), los síndromes mielodisplásicos (SMD) y las leucemias mieloides agudas (LMA), representando 6.798 (36,3%), 5.643 (30,1%) y 4.362 (23,3%) casos, respectivamente.

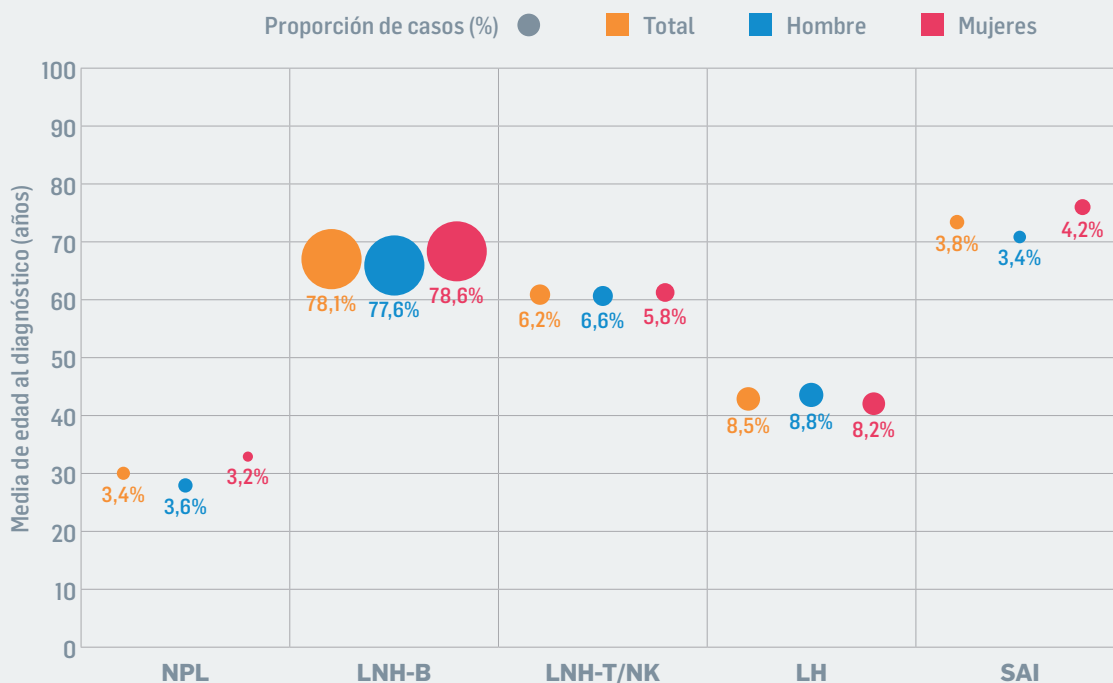


Figura 2. Distribución de los casos y media de edad al diagnóstico de las neoplasias linfoides globales y por sexo, REDECAN, 2009-2018. LH: linfoma de Hodgkin; LNH-B: neoplasias linfoides de células B maduras (linfoma no Hodgkin de células B); LNH-T/NK: neoplasias linfoides de células T y NK maduras (linfoma no Hodgkin de células T y NK); NPL: neoplasias precursoras linfoides; SAI: sin otra indicación.

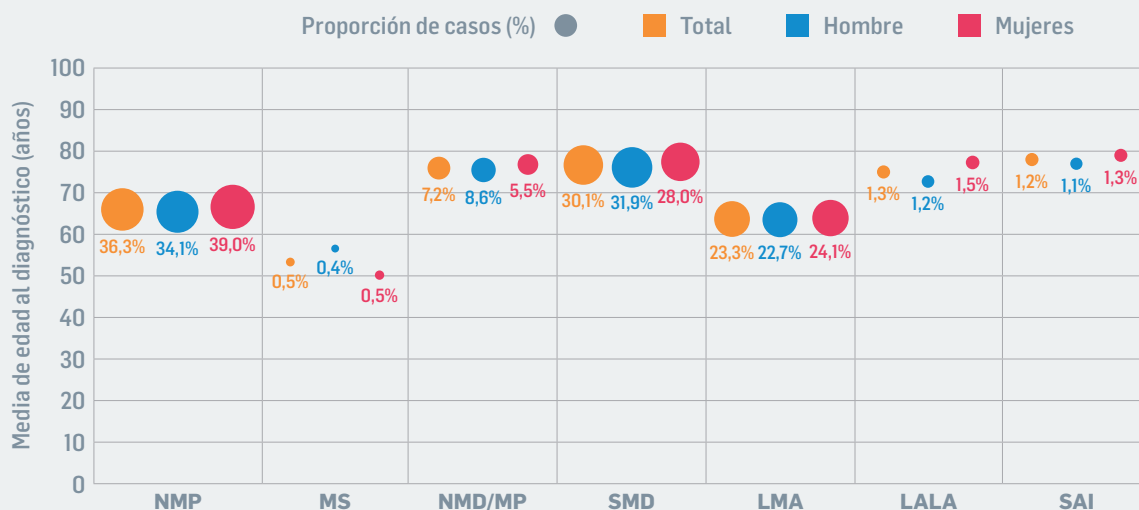
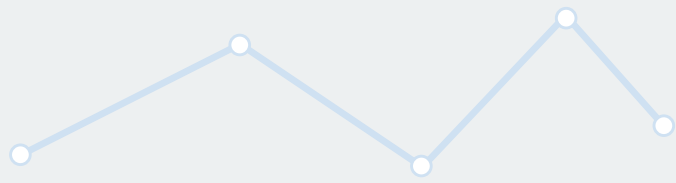


Figura 3. Distribución de los casos y media de edad al diagnóstico de las neoplasias mieloides globales y por sexo, REDECAN, 2009-2018. LALA: leucemia aguda de linaje ambiguo; LMA: leucemia mieloide aguda; MS: mastocitosis (mastocitosis sistémica); NMD/MP: neoplasia mielodisplásica/mieloproliferativa; NMP: neoplasias mieloproliferativas; SAI: sin otra indicación; SMD: síndrome mielodisplásico.



Las neoplasias mieloproliferativas/mielodisplásticas (NMP/MD), representan un 7,2% (n = 1.352). La edad al diagnóstico del conjunto de las neoplasias mieloides fue más homogénea entre subtipos siendo de 69,7 años. Los más jóvenes se observaron en los casos de mastocitosis (MS) (media: 53,4 años) mientras que los SMD mostraron la media de edad más elevada (media: 76,7 años), sin tener en cuentas las neoplasias mieloides inespecíficas (SAI).

Entre las neoplasias mieloides, la patología más común fue la trombocitemia esencial con 3.121 casos (16,7%), seguida por los SMD inclasificables y las LMA inclasificable con 2.276 (12,2%) y 2.047 (10,9%) casos, respectivamente. Tanto la trombocitemia esencial como las LMA inclasificables se observaron en pacientes de entre 62 y 66 años de media, mientras que los SMD inclasificables se diagnosticaron en pacientes de 80 años.

Tasas

Entre 2009 y 2018 se estimó una TAE de 52,7 [IC95%: 52,2;53,1] casos por 100.000 p-a de neoplasias hematológicas, con una tasa más alta en hombres de 64,3 [IC95%: 63,6;65,0], respecto a la tasa de 43,2 [IC95%: 42,6;43,7] en mujeres. Es decir, por cada caso diagnosticado en mujeres se diagnosticaron 1,5 casos en hombres. Del conjunto de casos en ambos sexos, 36,2 casos por 100.000 p-a correspondieron a neoplasias linfoides, 16,3 a neoplasias mieloides y 0,2 casos a histiocitosis malignas. Entre estos tres grandes grupos, destaca la diferencia entre sexos en las histiocitosis con 1,8 casos diagnosticados en hombres por cada caso en mujeres.

La **Figura 4** muestra las TAE de los subtipos de neoplasias linfoides. La de las LNH-B fue de 28,4 [IC95%: 28,1;28,7] casos por 100.000 p-a (34,3 [IC95%: 33,8;34,8] en hombres y 23,5 [IC95%: 23,1;23,9] en mujeres). El resto de subtipos presentaron tasas inferiores a 4 casos por 100.000 p-a, siendo más elevadas en hombres que en mujeres. La TAE de los LH fue de 3,1 [IC95%: 3,0;3,2], seguida por la de las LNH-T/NK con 2,3 [IC95%: 2,2;2,4]. Según sexo, la razón (hombre/mujer) para las LNH-T/NK fue de 1,6, mientras que en los LH fue más baja, de 1,3.

En general y entre las patologías linfoides los subtipos más incidentes fueron el mieloma múltiple/leucemias de células plasmáticas con una TAE de 6,8 [IC95%: 6,7;7,0] y el linfoma difuso de células B grandes con una tasa de 6,5 [IC95%: 6,4;6,7] casos por 100.000 p-a.



Figura 4. Tasas ajustadas por edad (TAE) expresada como casos por 100.000 personas-año (p-a) de las neoplasias linfoides, global y por sexo. REDECAN, 2009-2018. LH: linfoma de Hodgkin; LNH-B: neoplasias linfoides de células B maduras (linfoma no Hodgkin de células B); LNH-T/NK: neoplasias linfoides de células T y NK maduras (linfoma no Hodgkin de células T y NK); NPL: neoplasias precursoras linfoides; SAI: sin otra indicación.

Globalmente, las neoplasias mieloides presentaron una TAE de 16,3 [IC95%: 16,1;16,5] casos, siendo de 20,5 [IC95%: 20,1;20,9] y 13,1 [IC95%: 12,8;13,4], para hombres y mujeres, respectivamente. El subtipo más incidente fue el de las NMP (TAE: 6,1 [IC95%: 5,9;6,2]), similar entre sexos (razón H/M: 1,3), seguido de los SMD con una tasa de 4,7 [IC95%: 4,6;4,8] y una razón de sexos mayor (H/M: 2). En mujeres, la segunda neoplasia mieloides más incidente fue el de las LMA con una tasa de 3,4 [IC95%: 3,2;3,5] casos por 100.000 mujeres-año (m-a), como muestra la **Figura 5**.

La patología específica mieloides más incidente fue la trombocitemia esencial con una TAE de 2,8 [IC95%: 2,7;2,9] casos por 100.000 p-a, con incidencias similares según sexo, en mujeres 2,9 [IC95%: 2,7;3,0] y en hombres 2,7 [IC95%: 2,6;2,8].

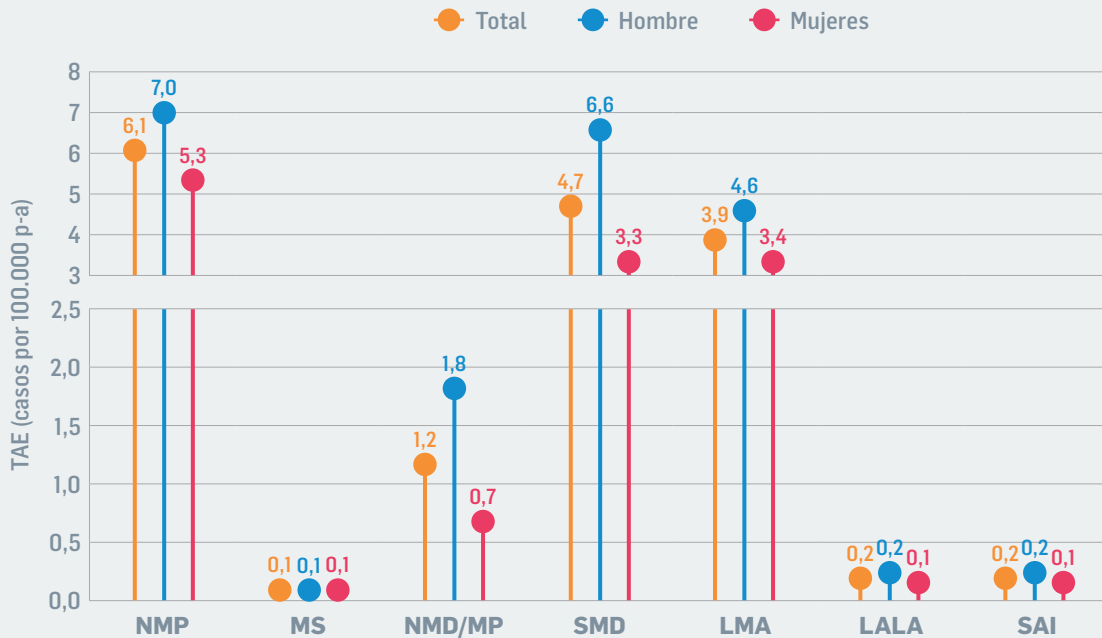


Figura 5. Tasas ajustadas por edad (TAE) expresada como casos por 100.000 personas-año (p-a) de las neoplasias mieloides, global y por sexo. REDECAN, 2009-2018. LALA: leucemia aguda de linaje ambiguo; LMA: leucemia mieloide aguda; MS: mastocitosis (mastocitosis sistémica); NMD/MP: neoplasia mielodisplásica/mieloproliferativa; NMP: neoplasias mieloproliferativas; SAI: sin otra indicación; SMD: síndrome mielodisplásico.

Tendencias

La tendencia de la incidencia de las neoplasias hematológicas fue estable durante 2009-2018 con un PCA de -0,1% [IC95%: -0,4;0,2]. Tanto hombres como mujeres presentaron resultados similares al del total de la población. Los principales grupos de neoplasias hematológicas presentaron resultados distintos; en concreto, el conjunto de las neoplasias linfoides presentó una incidencia estable (PCA: 0,2% [IC95%: -0,1;0,6]), mientras que el de las neoplasias mieloides mostró una ligera disminución (PCA: -1,0% [IC95%: -1,5;-0,5]). Por otro lado, se observó un aumento en el caso de las histiocitosis (PCA: 10,9% [IC95%: 5,5;16,2]).

Entre los subtipos de neoplasias linfoides, las LNH-T/NK en mujeres presentaron el PCA de la incidencia más elevado y estadísticamente significativo siendo de 2,8% [IC95%: 0,6;5,0] (**Figura 6**).

Entre las patologías linfoides, los LH con predominio linfocítico nodular presentaron un aumento anual de la incidencia de 5,6% [IC95%: 1,4;9,9] durante 2009-2018. Las NPL B y T presentaron aumentos similares a expensas, sobre todo, de una disminución de las NPL inespecíficas. Asimismo, se observaron aumentos no estadísticamente significativos en los linfomas marginales, foliculares, difusos de células B grandes y los linfoplasmacíticos / macroglobulinemia Waldenström.

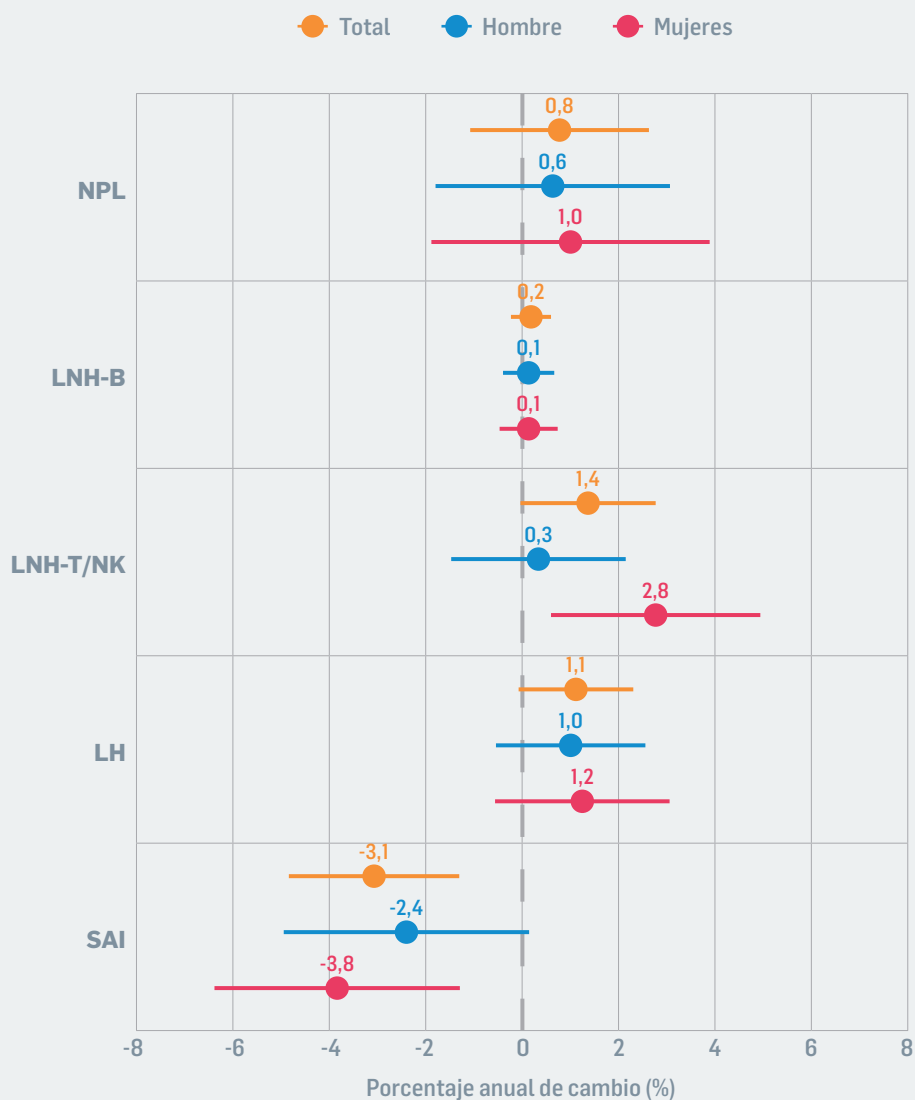
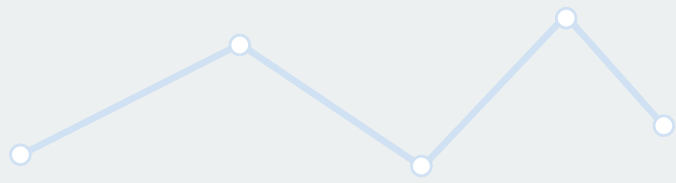


Figura 6. Tendencia de la incidencia de las neoplasias linfoides global y por sexo. REDECAN, 2009-2018. LH: linfoma de Hodgkin; LNH-B: neoplasias linfoides de células B maduras (linfoma no Hodgkin de células B); LNH-T/NK: neoplasias linfoides de células T y NK maduras (linfoma no Hodgkin de células T y NK); NPL: neoplasias precursoras linfoides; SAI: sin otra indicación.



En la **Figura 7** se muestran las tendencias de los subtipos de neoplasias mieloides. En general, los SMD presentaron una disminución de la incidencia tanto globalmente como en hombres y en mujeres de -2,0% [IC95%: -3,0;-1,1], -1,8% [IC95%: -3,0;-0,6] y -2,6% [IC95%: -4,1;-1,2], respectivamente. En las LALA se observó una disminución de la incidencia estadísticamente significativa de -4,4% [IC95%: -8,8;-0,02] a expensas, sobre todo, de una disminución anual de la incidencia en mujeres de -7,2% [IC95%: -13,4;-0,9].

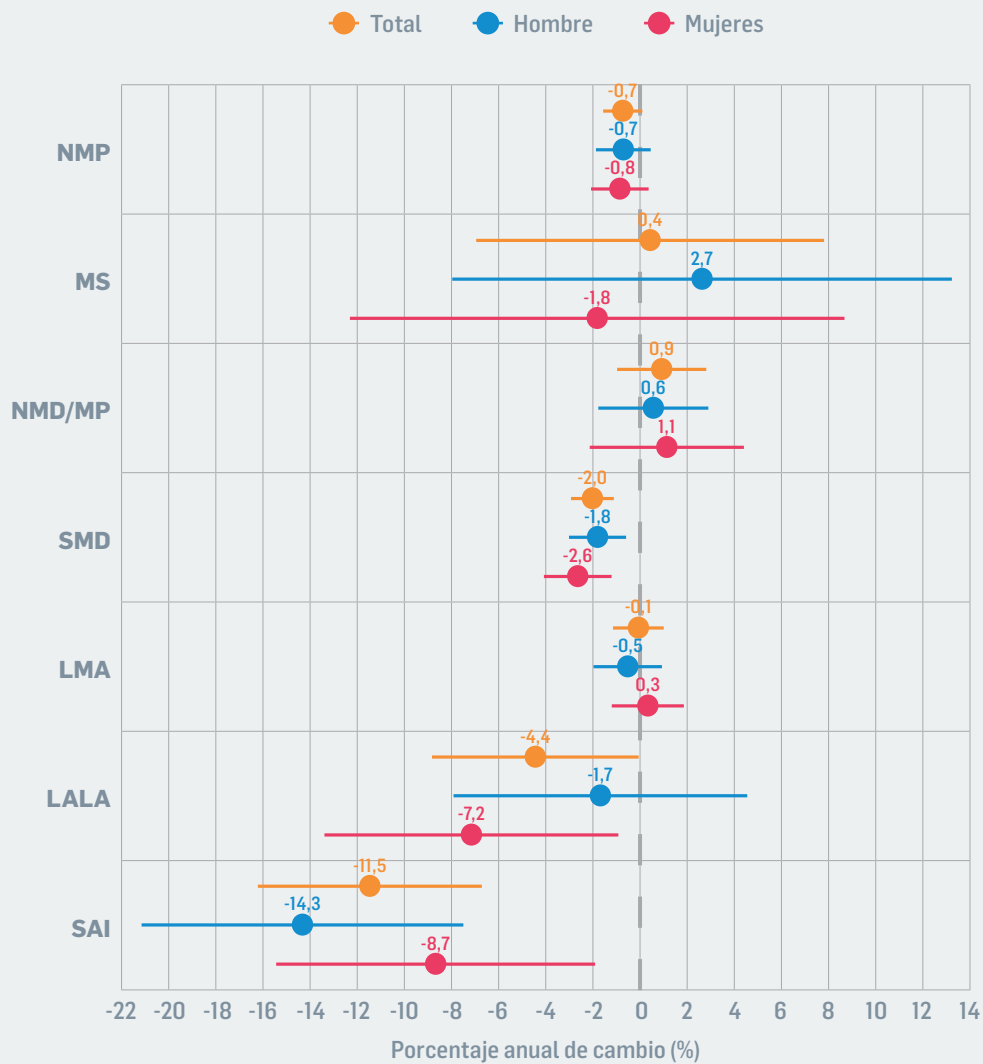


Figura 7. Tendencia de la incidencia de las neoplasias mieloides global y por sexo. REDECAN, 2009-2018. LALA: leucemia aguda de linaje ambiguo; LMA: leucemia mieloide aguda; MS: mastocitosis (mMastocitosis sistémica); NMD/MP: neoplasia mielodisplásica/mieloproliferativa; NMP: neoplasias mieloproliferativas; SAI: sin otra indicación; SMD: síndrome mielodisplásico.

Proyecciones para 2026

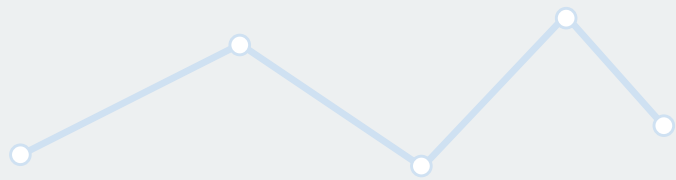
Se estima que en 2026 se diagnosticarán un total de 27.929 casos de neoplasias hematológicas en España, de las cuales 19.756, 7.953 y 220 corresponderán respectivamente a neoplasias linfoides, neoplasias mieloides e histiocitosis. Un mayor número de diagnósticos serán en hombres con un total de 15.575, mientras que en mujeres serán 12.239. Las LNH-B serán el subtipo más común con 15.547 casos nuevos, seguidos por las NMP, los SMD y la LMA con 2.995, 2.082 y 2.030, respectivamente (**Tabla 2**).

Tabla 2. Proyecciones de los casos incidentes de las neoplasias hematológicas y sus principales grupos en España para 2026.

Tipo de neoplasia hematológica	Número de casos (N)*		
	Total	Mujeres	Hombres
Total	27.929	12.239	15.575
Neoplasias linfoides	19.756	8.756	10.920
NPL	645	280	365
LNH-B	15.547	6.866	8.602
LNH-T/NK	1.357	654	706
LH	1.721	738	979
SAI	485	217	268
Neoplasias mieloides	7.953	3.432	4.474
NMP	2.995	1.389	1.592
MS	39	17	26
NMD/MP	705	237	459
SMD	2.082	789	1.276
LMA	2.030	954	1.064
LALA	72	27	46
SAI	30	20	10
Histiocitosis	220	51	182

*La suma de los casos por sexo no se corresponde con los totales dado que se han modelado por separado.
LALA: Leucemia aguda de linaje ambiguo; LH: Linfoma de Hodgkin; LMA: Leucemia mieloide aguda; LNH-B: Neoplasias linfoides de células B maduras (linfoma no Hodgkin de células B); LNH-T/NK: Neoplasias linfoides de células T y NK maduras (linfoma no Hodgkin de células T y NK); MS: Mastocitosis (Mastocitosis sistémica); NMD/MP: neoplasia mielodisplásica/mieloproliferativa; NMP: Neoplasias mieloproliferativas; NPL: Neoplasias precursoras linfoides; SAI: Sin otra indicación; SMD: Síndrome mielodisplásico.

En general, los hombres presentarán un mayor número de casos que las mujeres para todos los subgrupos de neoplasias hematológicas. En algunos subtipos muy comunes, esta diferencia de casos es menor como por ejemplo en las LNH-T/NK y las LMA. En cambio, en subtipos como los SMD y las NMD/MP, la diferencia de casos entre hombres y mujeres es mayor, como se muestra en la **Tabla 2**.



Supervivencia

Observada y neta

La supervivencia a 5 años del diagnóstico de las neoplasias hematológicas diagnosticadas en el periodo 2009-2017 fue de 55,8% [IC95%: 55,3;56,2] y 63,0% [IC95%: 62,5;63,6] según se considere la SO o la SN, respectivamente.

Se observó un mejor pronóstico en mujeres (SN 5-años: 67,0% [IC95%: 66,2;67,8]) comparado con los hombres (SN 5-años: 59,9% [IC95%: 59,2;60,6]). La edad también tuvo un gran impacto en la supervivencia de estas enfermedades, ya que los más jóvenes (<40 años) presentaron SN 5-años de 86,4% [IC95%: 85,4;87,4] comparado con el 43,5% [IC95%: 42,5;44,5] observado en los mayores de 74 años. Esta diferencia en la supervivencia según la edad fue más acentuada en los hombres que en las mujeres.

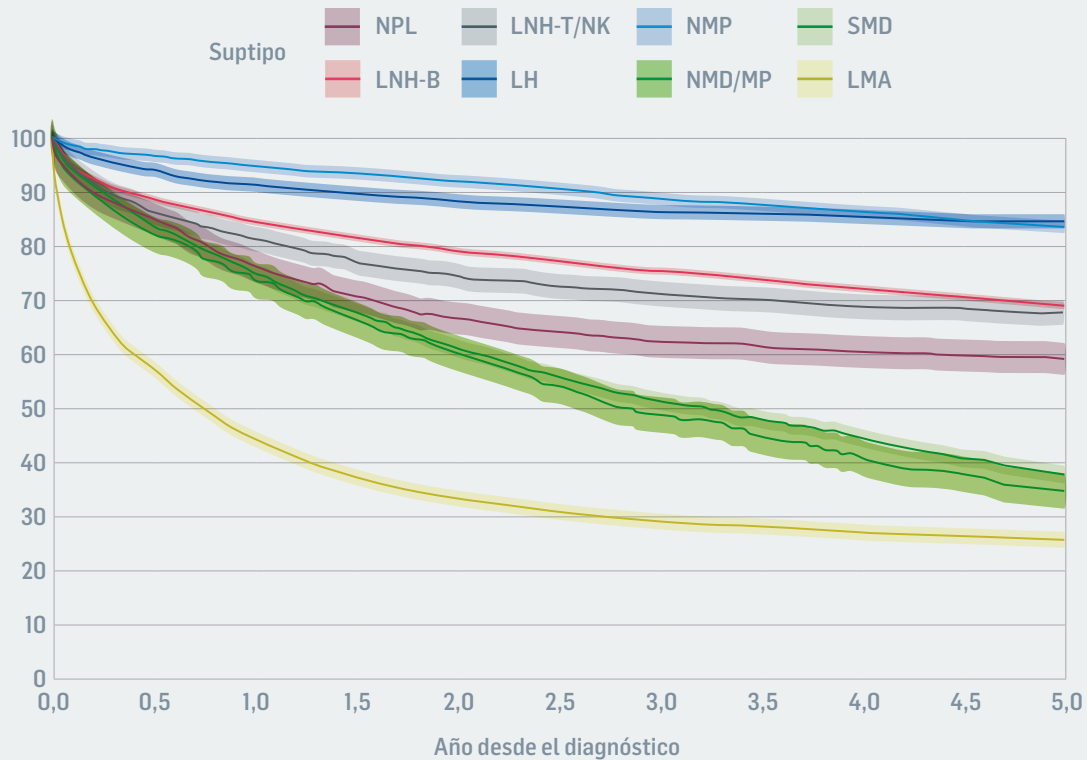


Figura 8. Supervivencia neta de los subtipos más frecuentes de neoplasias hematológicas en España, 2009-2017. LMA: leucemia mieloide aguda; LNH-B: neoplasias linfoides de células B maduras (linfoma no Hodgkin de células B); LNH-T/NK: neoplasias linfoides de células T y NK maduras (linfoma no Hodgkin de células T y NK); NMD/MP: neoplasia mielodisplásica/mieloproliferativa; NMP: neoplasias mieloproliferativas; NPL: neoplasias precursoras linfoides; SMD: síndrome mielodisplásico.

En la **Figura 8** se muestran las curvas de SN a 5 años del diagnóstico para los subtipos más frecuentes de las neoplasias hematológicas. Las NMP y los LH presentaron un buen pronóstico con una SN a 5 años alrededor del 83%. Los subtipos con un pronóstico intermedio fueron las LNH-B y las LNH-T/NK con una SN ~67%, seguidos por las NPL (SN 5-años: 59,0% [IC95%: 56,2;62,0]). El resto de subtipos mostraron peor pronóstico con SN inferiores a 40%, destacando las LMA con una SN de 25,8% [IC95%: 24,3;27,4].

Cabe destacar algunas patologías específicas con muy buen pronóstico, como la leucemia de células pilosas, el LH con predominio linfocítico nodular, la policitemia vera o la trombocitemia esencial con SN superiores al 90%. Contrariamente, algunas patologías presentaron mal pronóstico, con SN inferiores a 25%, como es el caso de los SMD con exceso de blastos, las LMA exceptuando las que contienen anomalías citogenéticas recurrentes, las LALA y las neoplasias mieloides SAI.

Tendencias

Entre los periodos 2009-2013 y 2014-2017 se observó un aumento estadísticamente significativo de la SN del 2,2% en el conjunto de las neoplasias hematológicas. Sin embargo, este incremento se observó únicamente en hombres. La mejora en el pronóstico de estas enfermedades fue a expensas de las LNH-B que globalmente mostró un incremento estadísticamente significativo de alrededor de un 3,1-3,5%. La **Figura 9** muestra la SN según subtipo; si bien se observa un aumento de la SN de un 5,0% en las NPL y un descenso de la supervivencia de 3,4% y 5,9% en las NMD/MP y los SMD, estos no fueron estadísticamente significativos.

El mieloma múltiple fue la patología con el mayor aumento estadísticamente significativo en la SN (6,7 puntos porcentuales) entre los periodos analizados, seguido por la SN de la leucemia linfocítica crónica que aumentó 4,7%. Según sexo, cabe destacar que los hombres mostraron un mayor aumento de la SN en relación al observado para ambos sexos en el caso mielomas múltiples de 9,8%, además de un aumento estadísticamente significativo de un 20,2% y un 6,4% en las LMA con anomalías citogenéticas recurrentes y en los LH clásicos, respectivamente. En cambio, las mujeres solo presentaron un aumento estadísticamente significativo de un 9,7% en las leucemias linfocíticas crónicas.

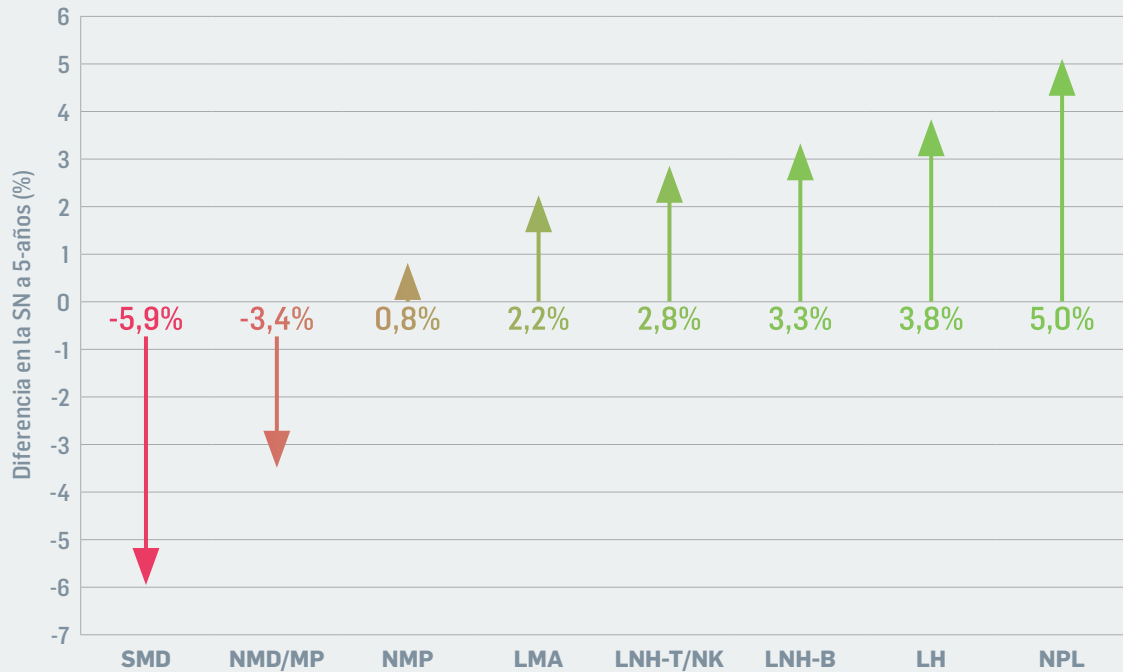
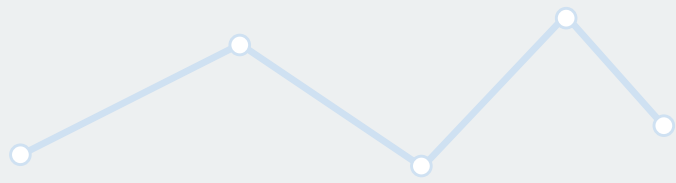


Figura 9. Diferencia en la supervivencia neta (SN) a 5 años del diagnóstico entre los períodos 2009-2013 y 2014-2017 de los subtipos más frecuentes de neoplasias hematológicas en España. LMA: leucemia mieloide aguda; LNH-B: neoplasias linfoides de células B maduras (linfoma no Hodgkin de células B); LNH-T/NK: neoplasias linfoides de células T y NK maduras (linfoma no Hodgkin de células T y NK); NMD/MP: neoplasia mielodisplásica/mieloproliferativa; NMP: neoplasias mieloproliferativas; NPL: neoplasias precursoras linfoides; SMD: síndrome mielodisplásico.

Población infantil

Incidencia

Cifras descriptivas

Durante el periodo 2009-2018, los registros de REDECAN identificaron un total de 3.078 tumores hematológicos nuevos en la población infantil (0-14 años), de los cuales el 60,0% correspondieron a niños (n = 1.847) y el 40,0% a niñas (n = 1.231).

La edad media \pm DE al diagnóstico fue de $6,4 \pm 4,3$ años, similar en ambos sexos. La mayoría de los casos se diagnosticaron entre los 0-4 años (40,9%, n = 1.258), seguidos de los de 5-9 años (31,2%, n = 961) y de los de 10-14 años (27,9%, n = 859).

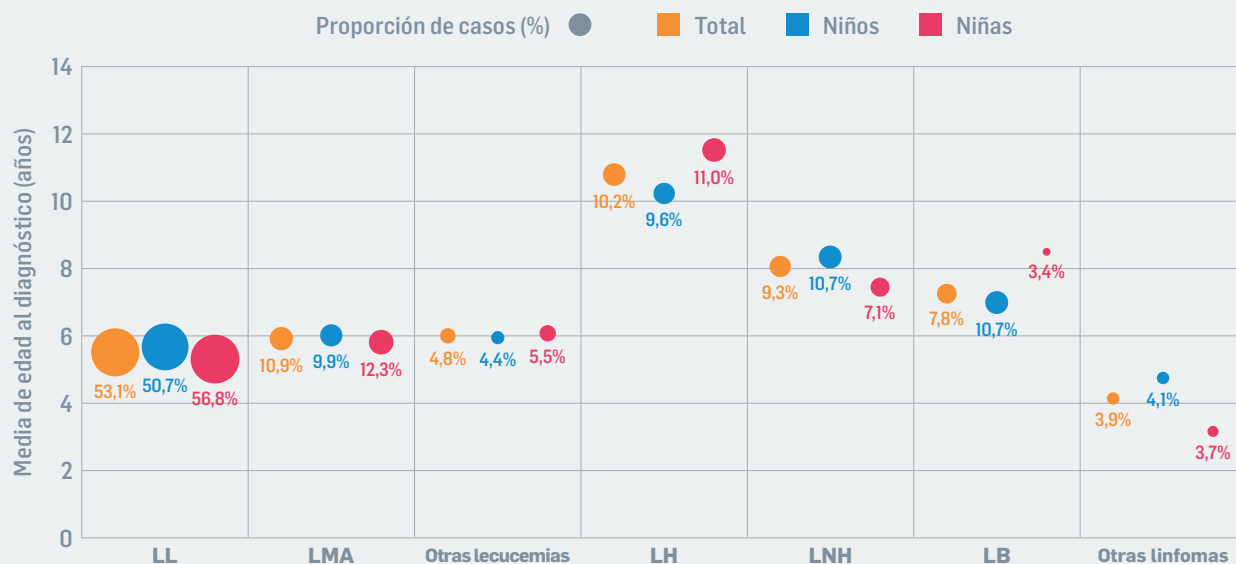


Figura 10. Distribución de los casos y media de edad al diagnóstico de las neoplasias hematológicas infantiles (0-14 años) global y por sexo. REDECAN, 2009-2018. LB: linfoma de Burkitt; LH: linfoma de Hodgkin; LL: leucemia linfóide; LMA: leucemia mieloide aguda; LNH: linfoma no Hodgkin.

Las neoplasias hematológicas infantiles clásicamente se dividen en leucemias y linfomas, siendo las leucemias las mayoritarias (68,8%, n = 2.119). En niñas, la proporción varía ligeramente correspondiendo a las leucemias el 74,7% (n = 919) y a los linfomas el 25,3% (n = 312), en comparación con los niños, en los que las leucemias suponen el 65,0% (n = 1.200) y los linfomas el 35,0% (n = 647).

Las leucemias se dividieron en tres subtipos: leucemias linfoides (77,2%, n = 1635), leucemias mieloides (15,8%, n = 335) y otras leucemias o inespecíficas (7,0%, n = 149). A su vez, los linfomas se dividieron en otros cuatro subtipos: LH (32,6%, n = 313), LNH (29,7%, n = 285), linfoma de Burkitt (LB) (25,0%, n = 240) y otros linfomas o inespecíficos (12,7%, n = 121). Según sexo esta proporción difiere, destacando el LB con el 13,5% (n = 42) de los linfomas en niñas y el 30,6% (n = 198) en niños (**Figura 10**).

La distribución de los subtipos por grupos de edad difiere según la patología. Las leucemias linfoides son más frecuentes entre los de 0-4 años (78,8% de las leucemias, n = 831) y disminuyen con la edad (10-14 años: 67,5%, n = 301). Por el contrario, los LH son más frecuentes entre la población infantil de 10-14 años (53,3% de los linfomas, n = 220).

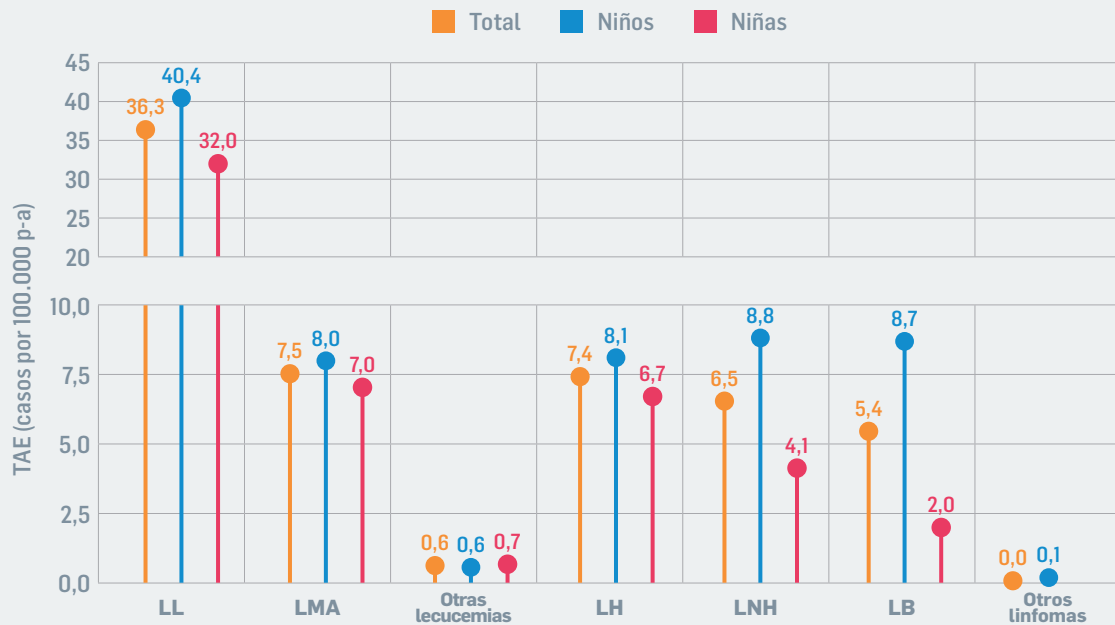
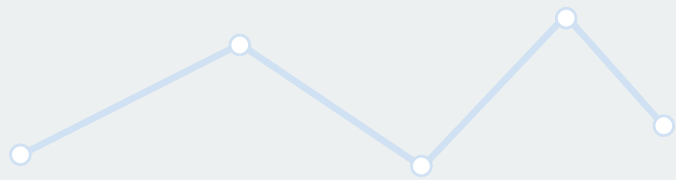


Figura 11. Tasas ajustadas por edad (TAE) expresada como casos por 1.000.000 personas-año (p-a) de las principales neoplasias hematológicas en la población infantil (0-14 años) global y por sexo. REDECAN, 2009-2018. LB: linfoma de Burkitt; LH: linfoma de Hodgkin; LL: leucemia linfocítica; LMA: leucemia mieloide aguda; LNH: linfoma no Hodgkin; TAE: tasa ajustada por edad.

Tasas

Durante 2009-2018, se estimó una TAE de 69,2 casos [95%IC: 66,8;72,3] por 1.000.000 p-a, siendo en niños de 80,7 [95%IC: 77,0;84,5] y en niñas de 57,1 [95%IC: 53,9;60,3]. Así, por cada caso diagnosticado en niñas, se diagnosticaron 1,4 casos en niños. Del conjunto de la población infantil, 47,2 casos [95%IC: 45,2;49,2] por 1.000.000 p-a fueron leucemias y 22,1 [95%IC: 20,7;23,5] fueron linfomas. Las tasas según subtipos y sexo se muestran en la **Figura 11**. Entre las leucemias, la mayor tasa se observó en las leucemias linfocíticas, especialmente en niños, con una TAE de 41,2. Los demás subtipos no superaron los 9 casos por 1.000.000 p-a.

Tendencias

En la población infantil, la incidencia de las neoplasias hematológicas se mantuvo estable durante el periodo 2009-2018, con un PCA del 0,3% [95%IC: -0,9;1,6], así como la incidencia por sexo (PCA = 0,3% y 0,4% en niñas y niños, respectivamente)

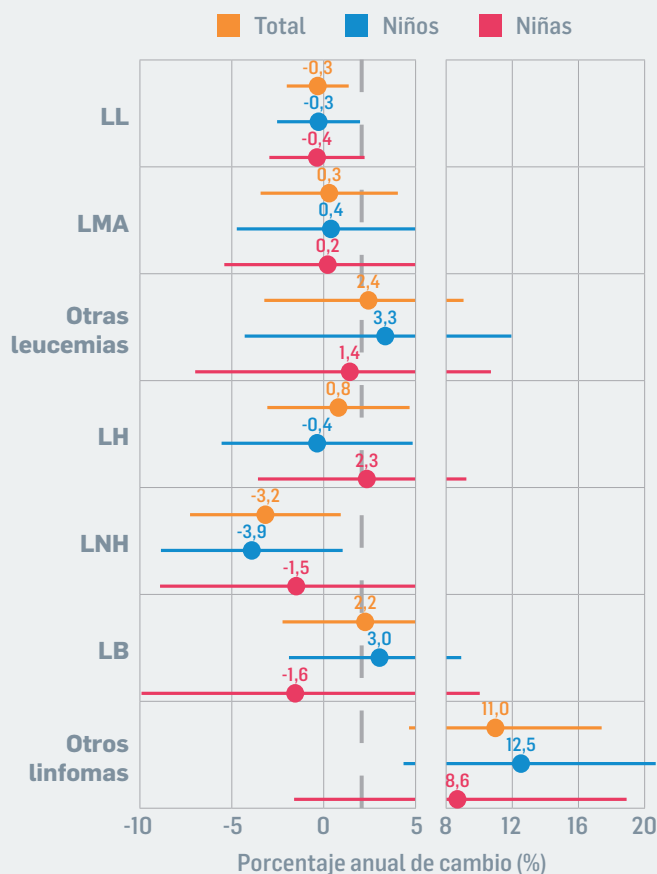


Figura 12. Tendencia de la incidencia de las neoplasias hematológicas en la población infantil (0-14 años) global y por sexo. REDECAN, 2009-2018. LB: Linfoma de Burkitt; LH: Linfoma de Hodgkin; LL: Leucemia linfocítica; LMA: Leucemia mieloide aguda; LNH: linfoma no Hodgkin; TAE: Tasa ajustada por edad.

(Figura 12). Tanto las leucemias como los linfomas también presentaron una incidencia estable a lo largo del periodo. Únicamente se observó un aumento estadísticamente significativo en la incidencia de los otros linfomas, con un PCA del 11,0% [95%IC: 4,6;17,4], aunque por sexo solo fue significativo en niños (PCA = 12,5% [95%IC: 4,3;20,7]).

Proyecciones para 2026

Se estima que en 2026 se diagnosticarán un total de 447 neoplasias hematológicas en la población infantil de España, de las cuales 285 corresponderán a leucemias y 162 a linfomas (Tabla 3). Se diagnosticarán más casos en niños (n = 271), que en niñas (n = 176). Las leucemias linfocíticas será el subtipo más diagnosticado con 210 casos, seguido por los LH con 52 casos.

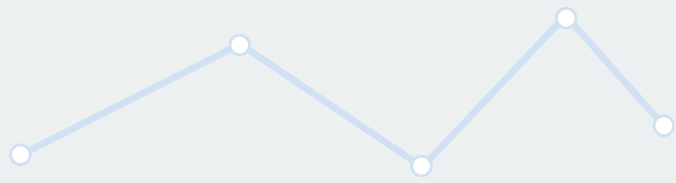


Tabla 3. Proyecciones de los casos incidentes de las neoplasias hematológicas infantiles (0-14 años) y sus principales grupos en España para 2026, global y por sexo.

Tipo de neoplasia hematológica	Número de casos (N)*		
	Total	Niñas	Niños
Total	447	176	271
Leucemias	285	120	165
Leucemias linfoides	210	88	122
Leucemias mieloides	48	21	26
Otras leucemias	28	11	16
Linfomas	162	56	107
Linfomas de Hodgkin	52	27	25
Linfomas no Hodgkin	28	10	18
Linfoma de Burkitt	39	5	34
Otros linfomas	43	14	29

*La suma de los casos por sexo no se corresponde con los totales dado que se han modelado por separado.

Supervivencia

Globalmente, la SO a 5 años en la población infantil incluida en este estudio durante 2009-2018 fue del 87,5% [IC95%: 86,3;88,8], con valores similares en ambos sexos (86,8% [IC95%: 84,9;88,8] y 88,0% [IC95%: 86,5;89,6] en niñas y niños, respectivamente). Se observó un mejor pronóstico en los linfomas que en las leucemias, con valores de 94,8% [IC95%: 93,3;96,2] y 84,2% [IC95%: 82,6;85,8], respectivamente. El subtipo con el peor pronóstico fue el de las leucemias mieloides, con una SO de 70,0% [IC95%: 65,0;75,3], sin diferencias entre sexos. En cambio, los LH y los LB presentaron el mejor pronóstico, como se puede observar en la **Figura 13**.

Además, se observaron diferencias en el pronóstico de estas neoplasias según el grupo de edad en las leucemias, con un 86,7% en el caso de 0-4 años y un 76,0% en los de 10-14 años.

Tendencias

La **Figura 14** muestra las diferencias en la supervivencia de las neoplasias hematológicas entre los periodos 2009-2013 y 2014-2018; no se observaron diferencias estadísticamente significativas en la SO entre estos periodos, siendo en general estables a lo largo del tiempo. Sin embargo, cabe destacar las diferencias de la SO entre periodos de las leucemias inespecíficas (-13,6%) y las leucemias mieloides en niños (8,9%).

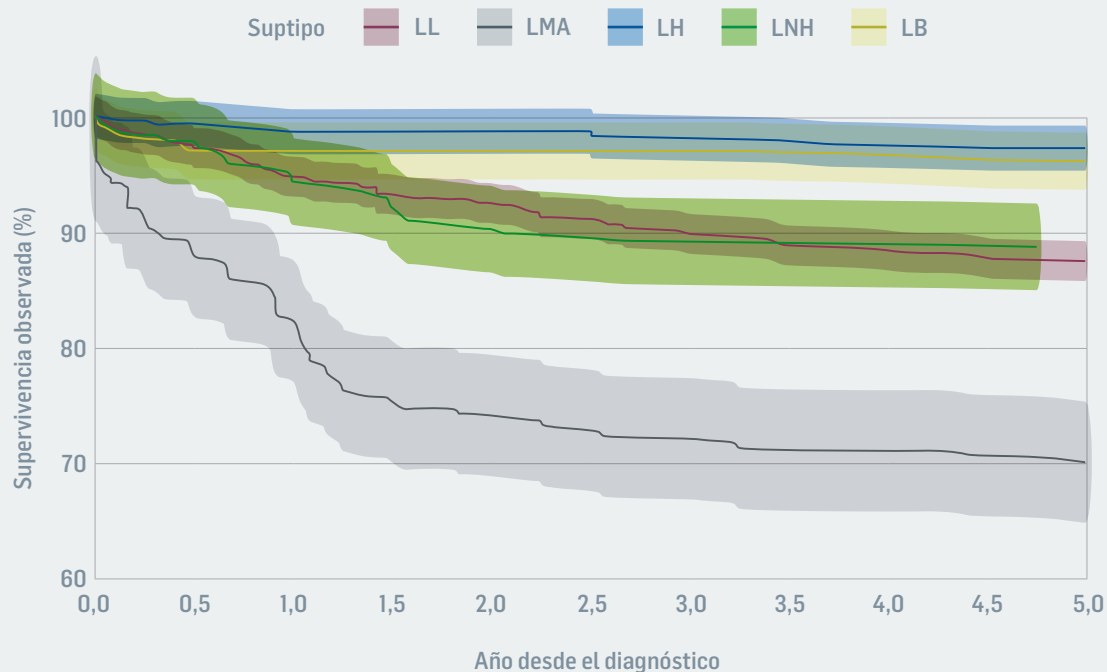
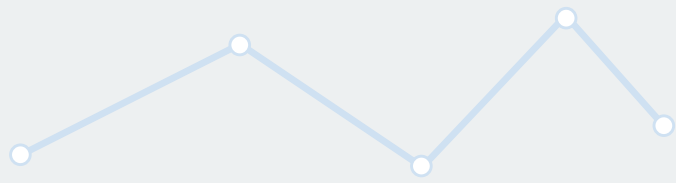


Figura 13. Supervivencia observada de los subtipos más frecuentes de neoplasias hematológicas en la población infantil (0-14 años). REDECAN, 2009-2017. LB: linfoma de Burkitt; LH: linfoma de Hodgkin; LL: leucemia linfocítica; LMA: leucemia mieloide aguda; LNH: linfoma no Hodgkin.



Figura 14. Diferencia en la supervivencia observada (SO) a 5 años del diagnóstico entre los períodos 2009-2013 y 2014-2018 de los subtipos más frecuentes de neoplasias hematológicas en la población infantil (0-14 años) en REDECAN. LB: linfoma de Burkitt; LH: linfoma de Hodgkin; LL: leucemia linfocítica; LMA: leucemia mieloide aguda; LNH: linfoma no Hodgkin.



Población general

- En el periodo 2009-2018 los registros de cáncer de REDECAN registraron un total de 58.846 casos de neoplasias hematológicas, siendo más frecuentes en hombres y en personas de edades avanzadas.
- Las neoplasias hematológicas más comunes fueron las linfoides representando el 68% del total, y las neoplasias linfoides de células B maduras fueron el subtipo más común.
- Las neoplasias mieloides representaron un 32% sobre el total, y sus subtipos más comunes fueron las neoplasias mieloproliferativas, los síndromes mielodisplásicos y las leucemias agudas mieloides.
- La incidencia se ha mantenido estable a lo largo del periodo de estudio tanto globalmente como en las neoplasias linfoides, mientras que las neoplasias mieloides mostraron una disminución de un 1% anual.
- La incidencia de las patologías más inespecíficas disminuyó durante el periodo de estudio a expensas de aumentos en la incidencia de patologías más específicas.
- Se estima que en España se diagnosticarán en 2026 un total de 27.929 neoplasias hematológicas, de las cuales 15.575 serán diagnosticadas en hombres y 12.239 en mujeres.
- La supervivencia neta de las neoplasias hematológicas a los 5 años fue de 63,0%, con un mejor pronóstico en mujeres que en hombres y en los grupos de edad más jóvenes que en los de más edad.
- En general, las neoplasias linfoides presentaron mejor pronóstico que las neoplasias mieloides, observándose las SN más elevadas entre las patologías de células B maduras y los linfomas de Hodgkin, mientras que las más bajas se encontraron en las leucemias mieloides agudas, los síndromes mielodisplásicos y las leucemias agudas de linaje ambiguo.
- La supervivencia de las neoplasias hematológicas mejoró un 2,2% de forma estadísticamente significativa a lo largo del periodo de estudio.

Población infantil

- En el periodo 2009-2018 los registros de cáncer de REDECAN registraron un total de 3.078 casos de neoplasias hematológicas infantiles, siendo más frecuentes en niños y en el grupo de edad más joven.
- Las leucemias fueron el tipo más común representando el 68,8% del total. Las leucemias linfoides fueron el subtipo más común.
- Los linfomas representaron una proporción de 31,2% y sus subtipos más frecuentes fueron los linfomas de Hodgkin, los linfomas no Hodgkin (excepto Burkitt) y los linfomas de Burkitt.
- La incidencia se ha mantenido estable a lo largo del periodo de estudio en el conjunto de neoplasias hematológicas infantiles y también en el conjunto de leucemias, mientras que los linfomas mostraron un ligero incremento anual no estadísticamente significativo.
- Se estima que en España se diagnosticarán en 2026 un total de 447 neoplasias hematológicas infantiles, de las cuales 271 se darán en niños y 176 en niñas, con unas tasas ajustadas por edad de 73,3, 86,0 y 59,8 casos por 1.000.000 p-a, respectivamente.
- La supervivencia observada de las neoplasias hematológicas infantiles a los 5 años fue de 87,5%, con un pronóstico similar en niños y niñas.
- El grupo de edad intermedio (5-9 años) presentó el mejor pronóstico con supervivencias de 89,9% para el conjunto de neoplasias hematológicas infantiles.
- En general, los linfomas infantiles presentaron mejores pronósticos que las leucemias infantiles, siendo los linfomas de Hodgkin y los linfomas de Burkitt los de mejor pronóstico.
- Las patologías con peor pronóstico fueron las leucemias mieloides.

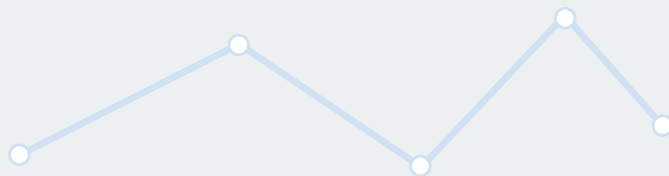


Tabla A1. Clasificación Internacional para las Neoplasias Hematológicas de la OMS según código histológico de la Clasificación Internacional de Enfermedades para Oncología, 3ª Edición (CIE-O-3).

Tipo de neoplasia hematológica	Códigos histológicos de la CIE-O-3
Neoplasias linfoides	
Neoplasias de células precursoras	
Leucemia/linfoma linfoblástica B	9728, 9811, 9819, 9829, 9836
Leucemia/linfoma linfoblástica T	9729, 9837
Leucemia/linfoma linfoblástica, SAI	9727, 9835
Neoplasias de células B maduras	
Leucemia linfocítica crónica/Linfoma linfocítico células peq.	9670, 9823
Leucemia de células pilosas	9940
Linfoma marginal	9689, 9699, 9764
Linfoma linfoplasmácítico/macroglobulinemia Waldenström	9671, 9761, 9760, 9762
Mieloma múltiple/leucemia de células plasmáticas	9731-9734
Linfoma folicular	9690, 9597, 9691, 9695, 9698
Linfoma de células del manto	9673
Linfoma difuso de células B grandes	9675, 9678-9680, 9684, 9688, 9735, 9738, 9712
Leucemia/linfoma de Burkitt	9687, 9826
Otras neoplasias de células B especificadas	9833
Neoplasias de células T y NK maduras	
Micosis fungoides / Síndrome de Sézary	9700-9701
Otros linfomas periféricos de células T y NK	9702, 9705, 9708, 9709, 9714-9719, 9724-9726, 9827, 9831, 9834, 9948
Linfoma de Hodgkin	
Con predominio linfocítico nodular	9659
Clásico	9650-9655, 9661-9667
Inespecíficas	9590, 9591, 9820, 9832, 9970, 9971
Neoplasias mieloides	
Neoplasias mieloproliferativas	
Leucemia mieloide crónica	9863, 9875
Policitemia vera	9950
Mielofibrosis primaria	9961
Trombocitemia esencial	9962
Leucemia neutrofílica / eosinofílica crónica	9963-9964
Inespecíficas	9960
Mastocitosis	9740-9742
Neoplasia mielodisplásica / mieloproliferativa	
Leucemia mielomonocítica crónica	9945
Leucemia mieloide crónica atípica	9876
Inespecíficas	9946, 9982, 9975
Síndromes mielodisplásicos	
Displasia unilinaje	9980, 9991, 9992
Sideroblastos en anillo y displasia unilinaje	9982
Displasia multilinaje	9985
Exceso de blastos	9983
Asociado a delección (5q) aislada	9986
Inclasificables	9989, 9993
Leucemia mieloide aguda	
Anormalidades citogenéticas recurrentes	9896, 9897, 9871, 9866, 9865, 9869, 9911, 9912, 9877-9879
Displasia multilinaje	9895, 9984
Relacionada con el tratamiento	9920, 9987
No clasificables	9872-9874, 9867, 9891, 9840, 9910, 9870, 9930, 9931, 9898
Inespecífica	9861
Leucemia aguda de linaje ambiguo	
Inespecífica	9801
Bifenotípica	9805-9809
Neoplasia mieloide, inespecífica	
Leucemia mieloide, inespecífica	9860
mLeucemia, inespecífica	9800, 9965-9968
Histiocitosis	9749-9759

Tabla A2. Clasificación Internacional para el Cáncer Infantil, 3ª Edición de 2017 según código histológico de la Clasificación Internacional de Enfermedades para Oncología, 3ª Edición (CIE-O-3).

Tipo de neoplasia hematológica	Códigos según la CIE-O-3	
	Histologías	Topografías
Leucemias, síndromes mieloproliferativos y síndromes mielodisplásicos		
Leucemias linfoides	9811-9818, 9823, 9827, 9837	420, 421, 423, 424, 809
	9591	420, 421, 423, 424
	9820, 9826, 9831-9836, 9940, 9948	000-809
Leucemias mieloides agudas	9840, 9861, 9865-9867, 9869-9874, 9891, 9895-9897, 9898, 9910, 9911, 9920, 9930, 9931	000-809
Síndromes crónicos mieloproliferativos	9863, 9875, 9876, 9950, 9960-9964	000-809
Síndromes mielodisplásicos y otras enfermedades mieloproliferativas	9945, 9946, 9975, 9980, 9982-9987, 9989, 9991, 9992	000-809
Leucemias inespecíficas	9800, 9801, 9805-9809, 9860, 9965-9967	000-809
Linfomas y neoplasias reticuloendoteliales		
Linfomas de Hodgkin	9650-9655, 9659, 9661-9665, 9667	000-809
Linfomas no Hodgkin (excepto linfomas de Burkitt)	9591	000-419, 422, 440-779, 809
	9811-9818, 9823, 9827, 9837	000-419, 422, 440-779
	9597, 9670, 9671, 9673, 9675, 9678-9680, 9684, 9688-9691, 9695, 9698, 9699, 9700-9702, 9705, 9708, 9709, 9712, 9714, 9716-9719, 9724-9729, 9731-9735, 9737, 9738, 9760-9762, 9764-9769, 9970, 9971	000-809
Linfomas de Burkitt	9687	000-809
Miscelánea de neoplasias linforeticulares	9740-9742, 9750, 9751, 9754-9759	000-809
Linfomas inespecíficos	9590, 9596	000-809

Tabla A3. Estructura de la pirámide población estándar europea de 2013 de Eurostat.

Grupo de edad quinquenal (años)	Población a riesgo N = 100.000 n (%)
0-4	5.000 (5,0)
5-9	5.500 (5,5)
10-14	5.500 (5,5)
15-19	5.500 (5,5)
20-24	6.000 (6,0)
25-29	6.000 (6,0)
30-34	6.500 (6,5)
35-39	7.000 (7,0)
40-44	7.000 (7,0)
45-49	7.000 (7,0)
50-54	7.000 (7,0)
55-59	6.500 (6,5)
60-64	6.000 (6,0)
65-69	5.500 (5,5)
70-74	5.000 (5,0)
75-79	4.000 (4,0)
80-84	2.500 (2,5)
85+	2.500 (2,5)

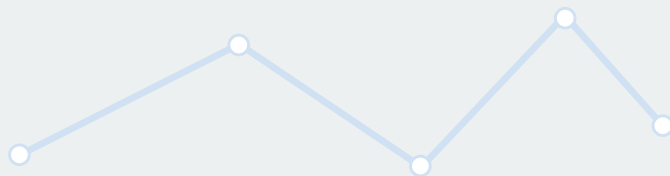


Tabla A4. Cifras descriptivas de la incidencia de las neoplasias hematológicas en el conjunto de ambos sexos. REDECAN, 2009-2018.

Tipo de neoplasia hematológica	<15 años N	15-39 años N	40-59 años N	60-74 años N	>74 años N	Todas las edades		
						Edad al diagnóstico ¹	N	N anual ²
Todas	1174	4498	12029	18620	22525	65,64±18,44	58846	5885
Neoplasias linfoides	912	3469	9006	13097	13470	63,89±18,67	39954	3995
Neoplasias de células precursoras	609	270	215	151	133	30,37±27,45	1378	138
Leucemia/linfoma linfoblástica B	290	110	96	78	52	29,52±27,52	626	63
Leucemia/linfoma linfoblástica T	99	86	42	20	10	27,96±22,46	257	26
Leucemia/linfoma linfoblástica, SAI	220	74	77	53	71	32,70±29,52	495	50
Neoplasias de células B maduras	149	1309	6919	11300	11508	67,36±14,89	31185	3118
Leucemia linfocítica crónica/Linfoma linfocítico células peq.	1	54	993	2441	2922	71,70±11,95	6411	641
Leucemia de células pilosas	1	24	115	88	51	59,03±15,56	279	28
Linfoma marginal	4	147	676	914	778	65,19±14,90	2519	252
Linfoma linfoplasmacítico / macroglobulinemia Waldenström	0	7	178	387	512	71,37±11,77	1084	108
Mieloma múltiple	2	77	1231	2866	3317	71,07±12,08	7493	749
Linfoma folicular	3	285	1708	1767	1008	61,97±13,92	4771	477
Linfoma de células del manto	0	13	202	371	319	68,21±12,39	905	90
Linfoma difuso de células B grandes	23	584	1682	2378	2547	65,44±16,44	7214	721
Leucemia/linfoma de Burkitt	113	97	119	66	39	38,85±24,98	434	43
Otras neoplasias de células B especificadas	2	21	15	22	15	53,56±22,05	75	8
Neoplasias de células T y NK maduras	24	269	752	820	623	61,21±17,04	2488	249
Micosis fungoides / Síndrome de Sézary	8	94	273	304	194	60,94±16,56	873	87
Otros linfomas periféricos de células T y NK	16	175	479	516	429	61,35±17,30	1615	162
Linfoma de Hodgkin	126	1564	946	440	325	43,25±20,09	3401	340
Con predominio linfocítico nodular	21	101	90	38	17	42,69±19,73	267	27
Clásico	105	1463	856	402	308	43,30±20,12	3134	313
Inespecíficas	4	57	174	386	881	73,72±15,31	1502	150
Neoplasias mieloides	199	997	2989	5492	9041	69,65±16,91	18718	1872
Neoplasias mieloproliferativas	49	492	1539	2220	2498	66,01±16,76	6798	680
Leucemia mieloides crónica	11	157	340	350	332	61,14±18,49	1190	119
Policitemia vera	2	38	322	540	546	68,39±13,46	1448	145
Mielofibrosis primaria	0	16	101	261	249	69,33±12,48	627	63
Trombocitemia esencial	23	260	716	981	1141	65,58±17,25	3121	312
Leucemia neutrofílica / eosinofílica crónica	1	7	14	18	14	61,24±19,20	54	5
Inespecíficas	12	14	46	70	216	71,22±19,84	358	36

Tipo de neoplasia hematológica	<15 años N	15-39 años N	40-59 años N	60-74 años N	>74 años N	Todas las edades		
						Edad al diagnóstico ¹	N	N anual ²
Mastocitosis	1	13	41	23	9	53,38±15,70	87	9
Neoplasia mielodisplásica / mieloproliferativa	1	8	90	418	835	75,94±10,82	1352	135
Leucemia mielomonocítica crónica	0	3	58	353	716	76,65±9,68	1130	113
Leucemia mioleide crónica atípica	0	4	14	26	31	67,91±15,22	75	8
Inespecíficas	1	1	18	39	88	74,59±14,20	147	15
Síndromes mielodisplásicos	14	47	364	1442	3776	76,74±11,60	5643	564
Displasia unilínaje	0	0	16	77	220	77,80±9,27	313	31
Sideroblastos en anillo y displasia unilínaje	0	0	22	154	260	75,67±8,44	436	44
Displasia multilínaje	8	17	108	440	846	74,12±11,99	1419	142
Exceso de blastos	1	8	99	353	568	73,50±11,32	1029	103
Asociado a delección (5q) aislada	0	1	13	61	95	73,84±10,13	170	17
Inclasificables	5	21	106	357	1787	80,10±11,47	2276	228
Leucemia mioleide aguda	130	416	922	1302	1592	63,77±20,03	4362	436
Anormalidades citogenéticas recurrentes	36	150	219	145	90	50,94±20,65	640	64
Displasia multilínaje	1	21	61	170	261	71,59±13,97	514	51
Relacionada con el tratamiento	4	4	52	97	58	65,78±14,08	215	22
No clasificables	72	190	455	627	703	62,68±20,37	2047	205
Inespecífica	17	51	135	263	480	70,10±18,02	946	95
Leucemia aguda de linaje ambiguo	3	12	23	51	163	75,06±18,47	252	25
Inespecífica	0	3	10	31	149	80,23±13,40	193	19
Bifenotípica	3	9	13	20	14	58,14±22,39	59	6
Neoplasia mioleide, inespecífica	1	9	10	36	168	78,03±14,57	224	22
Leucemia mioleide, inespecífica	1	3	6	15	49	74,26±16,44	74	7
Leucemia, inespecífica	0	6	4	21	119	79,89±13,22	150	15
Histiocitosis	63	32	34	31	14	35,55±28,13	174	17

N: número de casos. ¹Media ± desviación estándar. ²Media de casos anuales



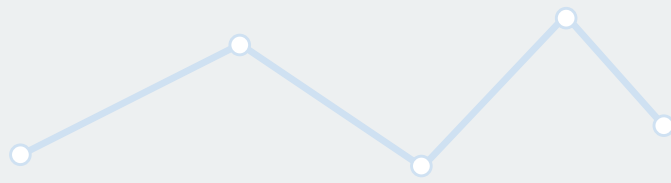


Tabla A5. Cifras descriptivas de la incidencia de las neoplasias hematológicas en hombres. REDECAN, 2009-2018.

Tipo de neoplasia hematológica	<15 años N	15-39 años N	40-59 años N	60-74 años N	>74 años N	Todas las edades		
						Edad al diagnóstico ¹	N	N anual ²
Todas	735	2485	7002	10713	11619	64,79±18,39	32554	3255
Neoplasias linfoides	570	1984	5364	7422	6780	62,76±18,69	22120	2212
Neoplasias de células precursoras	367	184	116	70	68	28,32±26,27	805	80
Leucemia/linfoma linfoblástica B	160	65	47	32	24	27,23±26,49	328	33
Leucemia/linfoma linfoblástica T	75	72	28	15	5	26,65±20,90	195	20
Leucemia/linfoma linfoblástica, SAI	132	47	41	23	39	30,74±29,12	282	28
Neoplasias de células B maduras	112	789	4079	6367	5821	66,29±15,10	17168	1717
Leucemia linfocítica crónica/Linfoma linfocítico células peq.	1	32	614	1517	1620	70,96±11,77	3784	378
Leucemia de células pilosas	1	18	87	69	33	58,28±14,78	208	21
Linfoma marginal	4	83	339	483	387	64,58±15,33	1296	130
Linfoma linfoplasmacítico / macroglobulinemia Waldenström	0	5	105	253	328	71,58±11,41	691	69
Mieloma múltiple	2	42	721	1575	1659	70,32±12,18	3999	400
Linfoma folicular	3	171	910	853	415	60,45±14,03	2352	235
Linfoma de células del manto	0	10	162	283	175	66,48±12,10	630	63
Linfoma difuso de células B grandes	16	341	1042	1282	1169	63,59±16,39	3850	385
Leucemia/linfoma de Burkitt	84	72	90	39	28	37,94±24,74	313	31
Otras neoplasias de células B especificadas	1	15	9	13	7	51,04±22,31	45	4
Neoplasias de células T y NK maduras	13	158	446	493	350	60,97±16,75	1460	146
Micosis fungoides / Síndrome de Sézary	5	52	158	201	123	61,77±16,15	539	54
Otros linfomas periféricos de células T y NK	8	106	288	292	227	60,51±17,07	921	92
Linfoma de Hodgkin	75	818	609	281	157	43,88±19,48	1940	194
Con predominio linfocítico nodular	18	66	66	23	7	40,79±19,08	180	18
Clásico	57	752	543	258	150	44,20±19,49	1760	176
Inespecíficas	3	35	114	211	384	71,12±16,20	747	75
Neoplasias mieloides	118	486	1618	3271	4830	69,49±16,39	10323	1032
Neoplasias mieloproliferativas	31	227	835	1232	1196	65,44±16,22	3521	352
Leucemia mielóide crónica	8	96	194	208	185	60,46±18,58	691	69
Policitemia vera	1	23	203	320	267	66,86±13,16	814	81
Mielofibrosis primaria	0	7	62	187	167	69,66±11,05	423	42
Trombocitemia esencial	13	91	347	458	464	65,27±16,53	1373	137
Leucemia neutrofílica / eosinofílica crónica	0	3	12	11	6	59,62±16,05	32	3
Inespecíficas	9	7	17	48	107	70,22±20,81	188	19

Tipo de neoplasia hematológica	<15 años N	15-39 años N	40-59 años N	60-74 años N	>74 años N	Todas las edades		
						Edad al diagnóstico ¹	N	N anual ²
Mastocitosis	0	1	24	14	4	56,58±13,00	43	4
Neoplasia mielodisplásica / mieloproliferativa	0	5	54	309	524	75,48±10,21	892	89
Leucemia mielomonocítica crónica	0	2	34	263	466	76,23±9,38	765	76
Leucemia mioide crónica atípica	0	3	11	19	17	66,10±15,21	50	5
Inespecíficas	0	0	9	27	41	74,14±11,12	77	8
Síndromes mielodisplásicos	10	22	207	928	2123	76,21±11,23	3290	329
Displasia unilínea	0	0	12	42	116	77,31±9,42	170	17
Sideroblastos en anillo y displasia unilínea	0	0	15	95	146	75,14±8,59	256	26
Displasia multilineal	5	7	57	298	549	74,60±11,21	916	92
Exceso de blastos	0	3	55	248	343	73,40±10,29	649	65
Asociado a delección (5q) aislada	0	0	2	16	22	73,17±8,81	40	4
Inclasificables	5	12	66	229	947	79,00±11,82	1259	126
Leucemia mioide aguda	76	220	480	730	833	63,56±20,00	2339	234
Anormalidades citogenéticas recurrentes	21	77	112	72	50	50,75±20,72	332	33
Displasia multilineal	1	10	30	109	138	71,66±13,41	288	29
Relacionada con el tratamiento	2	2	13	52	30	67,88±13,70	99	10
No clasificables	41	105	247	357	368	62,29±20,41	1118	112
Inespecífica	11	26	78	140	247	69,36±18,06	502	50
Leucemia aguda de linaje ambiguo	0	6	15	36	67	72,74±17,01	124	12
Inespecífica	0	0	8	21	57	77,74±12,95	86	9
Bifenotípica	0	6	7	15	10	61,42±19,68	38	4
Neoplasia mioide, inespecífica	1	5	3	22	83	77,06±14,80	114	11
Leucemia mioide, inespecífica	1	2	3	9	27	73,45±17,99	42	4
Leucemia, inespecífica	0	3	0	13	56	79,17±12,23	72	7
Histiocitosis	47	15	20	20	9	33,78±28,78	111	11

N: número de casos. ¹Media ± desviación estándar. ²Media de casos anuales



Tabla A6. Cifras descriptivas de la incidencia de las neoplasias hematológicas en mujeres. REDECAN, 2009-2018.

Tipo de neoplasia hematológica	<15 años N	15-39 años N	40-59 años N	60-74 años N	>74 años N	Todas las edades		
						Edad al diagnóstico ¹	N	N anual ²
Todas	439	2013	5027	7907	10906	66,68±18,43	26292	2629
Neoplasias linfoides	342	1485	3642	5675	6690	65,29±18,56	17834	1783
Neoplasias de células precursoras	242	86	99	81	65	33,26±28,80	573	57
Leucemia/linfoma linfoblástica B	130	45	49	46	28	32,05±28,45	298	30
Leucemia/linfoma linfoblástica T	24	14	14	5	5	32,10±26,56	62	6
Leucemia/linfoma linfoblástica, SAI	88	27	36	30	32	35,30±29,91	213	21
Neoplasias de células B maduras	37	520	2840	4933	5687	68,67±14,52	14017	1402
Leucemia linfocítica crónica/Linfoma linfocítico células peq.	0	22	379	924	1302	72,77±12,14	2627	263
Leucemia de células pilosas	0	6	28	19	18	61,21±17,60	71	7
Linfoma marginal	0	64	337	431	391	65,84±14,42	1223	122
Linfoma linfoplasmacítico / macroglobulinemia Waldenström	0	2	73	134	184	71,01±12,39	393	39
Mieloma múltiple	0	35	510	1291	1658	71,93±11,91	3494	349
Linfoma folicular	0	114	798	914	593	63,45±13,65	2419	242
Linfoma de células del manto	0	3	40	88	144	72,18±12,15	275	28
Linfoma difuso de células B grandes	7	243	640	1096	1378	67,56±16,24	3364	336
Leucemia/linfoma de Burkitt	29	25	29	27	11	41,21±25,53	121	12
Otras neoplasias de células B especificadas	1	6	6	9	8	57,33±21,46	30	3
Neoplasias de células T y NK maduras	11	111	306	327	273	61,54±17,46	1028	103
Micosis fungoides / Síndrome de Sézary	3	42	115	103	71	59,61±17,14	334	33
Otros linfomas periféricos de células T y NK	8	69	191	224	202	62,47±17,54	694	69
Linfoma de Hodgkin	51	746	337	159	168	42,41±20,85	1461	146
Con predominio linfocítico nodular	3	35	24	15	10	46,62±20,56	87	9
Clásico	48	711	313	144	158	42,14±20,85	1374	137
Inespecíficas	1	22	60	175	497	76,29±13,92	755	76
Neoplasias mieloides	81	511	1371	2221	4211	69,84±17,53	8395	840
Neoplasias mieloproliferativas	18	265	704	988	1302	66,63±17,30	3277	328
Leucemia mieloides crónica	3	61	146	142	147	62,09±18,36	499	50
Policitemia vera	1	15	119	220	279	70,35±13,60	634	63
Mielofibrosis primaria	0	9	39	74	82	68,66±15,02	204	20
Trombocitemia esencial	10	169	369	523	677	65,83±17,79	1748	175
Leucemia neutrofílica / eosinofílica crónica	1	4	2	7	8	63,59±23,24	22	2
Inespecíficas	3	7	29	22	109	72,32±18,70	170	17

Tipo de neoplasia hematológica	<15 años N	15-39 años N	40-59 años N	60-74 años N	>74 años N	Todas las edades		
						Edad al diagnóstico ¹	N	N anual ²
Mastocitosis	1	12	17	9	5	50,25±17,54	44	4
Neoplasia mielodisplásica / mieloproliferativa	1	3	36	109	311	76,82±11,87	460	46
Leucemia mielomonocítica crónica	0	1	24	90	250	77,51±10,25	365	36
Leucemia mieloide crónica atípica	0	1	3	7	14	71,52±14,89	25	2
Inespecíficas	1	1	9	12	47	75,07±17,03	70	7
Síndromes mielodisplásicos	4	25	157	514	1653	77,47±12,06	2353	235
Displasia unilínaje	0	0	4	35	104	78,38±9,09	143	14
Sideroblastos en anillo y displasia unilínaje	0	0	7	59	114	76,42±8,17	180	18
Displasia multilineaje	3	10	51	142	297	73,25±13,25	503	50
Exceso de blastos	1	5	44	105	225	73,68±12,92	380	38
Asociado a delección (5q) aislada	0	1	11	45	73	74,05±10,53	130	13
Inclasificables	0	9	40	128	840	81,47±10,88	1017	102
Leucemia mieloide aguda	54	196	442	572	759	64,01±20,06	2023	202
Anormalidades citogenéticas recurrentes	15	73	107	73	40	51,14±20,61	308	31
Displasia multilineaje	0	11	31	61	123	71,49±14,68	226	23
Relacionada con el tratamiento	2	2	39	45	28	63,98±14,20	116	12
No clasificables	31	85	208	270	335	63,15±20,33	929	93
Inespecífica	6	25	57	123	233	70,94±17,95	444	44
Leucemia aguda de linaje ambiguo	3	6	8	15	96	77,30±19,58	128	13
Inespecífica	0	3	2	10	92	82,22±13,49	107	11
Bifenotípica	3	3	6	5	4	52,19±26,06	21	2
Neoplasia mieloide, inespecífica	0	4	7	14	85	79,04±14,33	110	11
Leucemia mieloide, inespecífica	0	1	3	6	22	75,31±14,37	32	3
Leucemia, inespecífica	0	3	4	8	63	80,56±14,12	78	8
Histiocitosis	16	17	14	11	5	38,65±26,90	63	6

N: número de casos. ¹Media ± desviación estándar. ²Media de casos anuales

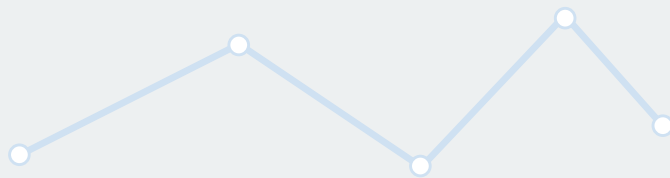


Tabla A7. Tasas de incidencia expresadas como casos por 100.000 personas-año de las neoplasias hematológicas en el conjunto de

Tipo de neoplasia hematológica	<15 años TEE [IC al 95%]	15-39 años TEE [IC al 95%]	40-59 años TEE [IC al 95%]
Todas	7,18 [6,78;7,60]	12,94 [12,56;13,32]	36,71 [36,06;37,38]
Neoplasias linfoides	5,58 [5,22;5,95]	9,98 [9,65;10,31]	27,49 [26,92;28,06]
Neoplasias de células precursoras	3,73 [3,44;4,03]	0,78 [0,69;0,87]	0,66 [0,57;0,75]
Leucemia/linfoma linfoblástica B	1,77 [1,58;1,99]	0,32 [0,26;0,38]	0,29 [0,24;0,36]
Leucemia/linfoma linfoblástica T	0,61 [0,49;0,74]	0,25 [0,20;0,31]	0,13 [0,09;0,17]
Leucemia/linfoma linfoblástica, SAI	1,35 [1,17;1,54]	0,21 [0,17;0,27]	0,24 [0,19;0,29]
Neoplasias de células B maduras	0,91 [0,77;1,07]	3,76 [3,56;3,97]	21,12 [20,62;21,62]
Leucemia linfocítica crónica/Linfoma linfocítico células peq.	0,01 [0,00;0,03]	0,16 [0,12;0,20]	3,03 [2,85;3,23]
Leucemia de células pilosas	0,01 [0,00;0,03]	0,07 [0,04;0,10]	0,35 [0,29;0,42]
Linfoma marginal	0,02 [0,01;0,06]	0,42 [0,36;0,50]	2,06 [1,91;2,22]
Linfoma linfoplasmacítico / macroglobulinemia Waldenström	0,00 [0,00;0,02]	0,02 [0,01;0,04]	0,54 [0,47;0,63]
Mieloma múltiple	0,01 [0,00;0,04]	0,22 [0,17;0,28]	3,76 [3,55;3,97]
Linfoma folicular	0,02 [0,00;0,05]	0,82 [0,73;0,92]	5,21 [4,97;5,47]
Linfoma de células del manto	0,00 [0,00;0,02]	0,04 [0,02;0,06]	0,62 [0,53;0,71]
Linfoma difuso de células B grandes	0,14 [0,09;0,21]	1,68 [1,55;1,82]	5,13 [4,89;5,38]
Leucemia/linfoma de Burkitt	0,69 [0,57;0,83]	0,28 [0,23;0,34]	0,36 [0,30;0,43]
Otras neoplasias de células B especificadas	0,01 [0,00;0,04]	0,06 [0,04;0,09]	0,05 [0,03;0,08]
Neoplasias de células T y NK maduras	0,15 [0,09;0,22]	0,77 [0,68;0,87]	2,30 [2,13;2,47]
Micosis fungoides / Síndrome de Sézary	0,05 [0,02;0,10]	0,27 [0,22;0,33]	0,83 [0,74;0,94]
Otros linfomas periféricos de células T y NK	0,10 [0,06;0,16]	0,50 [0,43;0,58]	1,46 [1,33;1,60]
Linfoma de Hodgkin	0,77 [0,64;0,92]	4,50 [4,28;4,73]	2,89 [2,71;3,08]
Con predominio linfocítico nodular	0,13 [0,08;0,20]	0,29 [0,24;0,35]	0,27 [0,22;0,34]
Clásico	0,64 [0,53;0,78]	4,21 [3,99;4,43]	2,61 [2,44;2,79]
Inespecíficas	0,02 [0,01;0,06]	0,16 [0,12;0,21]	0,53 [0,46;0,62]
Neoplasias mieloides	1,22 [1,05;1,40]	2,87 [2,69;3,05]	9,12 [8,80;9,46]
Neoplasias mieloproliferativas	0,30 [0,22;0,40]	1,41 [1,29;1,55]	4,70 [4,47;4,94]
Leucemia mioide crónica	0,07 [0,03;0,12]	0,45 [0,38;0,53]	1,04 [0,93;1,15]
Policitemia vera	0,01 [0,00;0,04]	0,11 [0,08;0,15]	0,98 [0,88;1,10]
Mielofibrosis primaria	0,00 [0,00;0,02]	0,05 [0,03;0,07]	0,31 [0,25;0,37]
Trombocitemia esencial	0,14 [0,09;0,21]	0,75 [0,66;0,84]	2,19 [2,03;2,35]
Leucemia neutrofílica / eosinofílica crónica	0,01 [0,00;0,03]	0,02 [0,01;0,04]	0,04 [0,02;0,07]
Inespecíficas	0,07 [0,04;0,13]	0,04 [0,02;0,07]	0,14 [0,10;0,19]
Mastocitosis	0,01 [0,00;0,03]	0,04 [0,02;0,06]	0,13 [0,09;0,17]
Neoplasia mielodisplásica / mieloproliferativa	0,01 [0,00;0,03]	0,02 [0,01;0,05]	0,27 [0,22;0,34]
Leucemia mielomonocítica crónica	0,00 [0,00;0,02]	0,01 [0,00;0,03]	0,18 [0,13;0,23]
Leucemia mioide crónica atípica	0,00 [0,00;0,02]	0,01 [0,00;0,03]	0,04 [0,02;0,07]
Inespecíficas	0,01 [0,00;0,03]	0,00 [0,00;0,02]	0,05 [0,03;0,09]
Síndromes mielodisplásicos	0,09 [0,05;0,14]	0,14 [0,10;0,18]	1,11 [1,00;1,23]
Displasia unilinjaje	0,00 [0,00;0,02]	0,00 [0,00;0,01]	0,05 [0,03;0,08]
Sideroblastos en anillo y displasia unilinjaje	0,00 [0,00;0,02]	0,00 [0,00;0,01]	0,07 [0,04;0,10]
Displasia multilinjaje	0,05 [0,02;0,10]	0,05 [0,03;0,08]	0,33 [0,27;0,40]
Exceso de blastos	0,01 [0,00;0,03]	0,02 [0,01;0,05]	0,30 [0,25;0,37]
Asociado a delección (5q) aislada	0,00 [0,00;0,02]	0,00 [0,00;0,02]	0,04 [0,02;0,07]
Inclasificables	0,03 [0,01;0,07]	0,06 [0,04;0,09]	0,32 [0,26;0,39]
Leucemia mioide aguda	0,80 [0,66;0,94]	1,20 [1,08;1,32]	2,81 [2,64;3,00]
Anormalidades citogenéticas recurrentes	0,22 [0,15;0,30]	0,43 [0,37;0,51]	0,67 [0,58;0,76]
Displasia multilinjaje	0,01 [0,00;0,03]	0,06 [0,04;0,09]	0,19 [0,14;0,24]
Relacionada con el tratamiento	0,02 [0,01;0,06]	0,01 [0,00;0,03]	0,16 [0,12;0,21]
No clasificables	0,44 [0,34;0,55]	0,55 [0,47;0,63]	1,39 [1,26;1,52]
Inespecífica	0,10 [0,06;0,17]	0,15 [0,11;0,19]	0,41 [0,35;0,49]
Leucemia aguda de linaje ambiguo	0,02 [0,00;0,05]	0,03 [0,02;0,06]	0,07 [0,04;0,11]
Inespecífica	0,00 [0,00;0,02]	0,01 [0,00;0,03]	0,03 [0,01;0,06]
Bifenotípica	0,02 [0,00;0,05]	0,03 [0,01;0,05]	0,04 [0,02;0,07]
Neoplasia mioide, inespecífica	0,01 [0,00;0,03]	0,03 [0,01;0,05]	0,03 [0,01;0,06]
Leucemia mioide, inespecífica	0,01 [0,00;0,03]	0,01 [0,00;0,03]	0,02 [0,01;0,04]
Leucemia, inespecífica	0,00 [0,00;0,02]	0,02 [0,01;0,04]	0,01 [0,00;0,03]
Histiocitosis	0,39 [0,30;0,49]	0,09 [0,06;0,13]	0,10 [0,07;0,15]

IC: intervalo de confianza; TAE: tasa ajustada por edad por la población estándar europea de 2013; TB: tasa bruta; TEE: tasa específica por edad

ambos sexos. REDECAN, 2009-2018.

60-74 años TEE [IC al 95%]	>74 años TEE [IC al 95%]	Todas las edades	
		TB [IC al 95%]	TAE [IC al 95%]
117,50 [115,81;119,20]	180,93 [178,58;183,31]	52,46 [52,03;52,88]	52,68 [52,24;53,11]
82,64 [81,23;84,07]	108,20 [106,38;110,04]	35,61 [35,27;35,97]	36,23 [35,86;36,59]
0,95 [0,81;1,12]	1,07 [0,89;1,27]	1,23 [1,16;1,29]	1,29 [1,22;1,36]
0,49 [0,39;0,61]	0,42 [0,31;0,55]	0,56 [0,52;0,60]	0,59 [0,54;0,63]
0,13 [0,08;0,19]	0,08 [0,04;0,15]	0,23 [0,20;0,26]	0,24 [0,21;0,27]
0,33 [0,25;0,44]	0,57 [0,45;0,72]	0,44 [0,40;0,48]	0,46 [0,42;0,50]
71,30 [70,00;72,63]	92,44 [90,76;94,14]	27,80 [27,49;28,11]	28,38 [28,06;28,71]
15,40 [14,80;16,03]	23,47 [22,63;24,34]	5,71 [5,58;5,86]	5,79 [5,64;5,93]
0,56 [0,45;0,68]	0,41 [0,30;0,54]	0,25 [0,22;0,28]	0,25 [0,22;0,28]
5,77 [5,40;6,15]	6,25 [5,82;6,70]	2,25 [2,16;2,33]	2,31 [2,22;2,40]
2,44 [2,20;2,70]	4,11 [3,76;4,48]	0,97 [0,91;1,03]	0,99 [0,93;1,05]
18,08 [17,43;18,76]	26,64 [25,74;27,57]	6,68 [6,53;6,83]	6,81 [6,65;6,97]
11,15 [10,64;11,68]	8,10 [7,60;8,61]	4,25 [4,13;4,38]	4,41 [4,29;4,54]
2,34 [2,11;2,59]	2,56 [2,29;2,86]	0,81 [0,76;0,86]	0,85 [0,79;0,90]
15,01 [14,41;15,62]	20,46 [19,67;21,27]	6,43 [6,28;6,58]	6,52 [6,37;6,67]
0,42 [0,32;0,53]	0,31 [0,22;0,43]	0,39 [0,35;0,43]	0,40 [0,36;0,44]
0,14 [0,09;0,21]	0,12 [0,07;0,20]	0,07 [0,05;0,08]	0,07 [0,05;0,09]
5,17 [4,83;5,54]	5,00 [4,62;5,41]	2,22 [2,13;2,31]	2,27 [2,18;2,37]
1,92 [1,71;2,15]	1,56 [1,35;1,79]	0,78 [0,73;0,83]	0,80 [0,74;0,85]
3,26 [2,98;3,55]	3,45 [3,13;3,79]	1,44 [1,37;1,51]	1,48 [1,40;1,55]
2,78 [2,52;3,05]	2,61 [2,33;2,91]	3,03 [2,93;3,14]	3,06 [2,95;3,16]
0,24 [0,17;0,33]	0,14 [0,08;0,22]	0,24 [0,21;0,27]	0,24 [0,21;0,27]
2,54 [2,29;2,80]	2,47 [2,21;2,77]	2,79 [2,70;2,89]	2,82 [2,72;2,92]
2,44 [2,20;2,69]	7,08 [6,62;7,56]	1,34 [1,27;1,41]	1,22 [1,16;1,29]
34,66 [33,74;35,58]	72,62 [71,13;74,13]	16,69 [16,45;16,93]	16,29 [16,05;16,53]
14,01 [13,43;14,60]	20,07 [19,29;20,87]	6,06 [5,92;6,21]	6,08 [5,93;6,23]
2,21 [1,98;2,45]	2,67 [2,39;2,97]	1,06 [1,00;1,12]	1,06 [1,00;1,12]
3,41 [3,13;3,71]	4,39 [4,03;4,77]	1,29 [1,23;1,36]	1,33 [1,26;1,40]
1,65 [1,45;1,86]	2,00 [1,76;2,26]	0,56 [0,52;0,60]	0,59 [0,55;0,64]
6,19 [5,81;6,59]	9,17 [8,64;9,71]	2,78 [2,69;2,88]	2,76 [2,67;2,87]
0,11 [0,07;0,18]	0,11 [0,06;0,19]	0,05 [0,04;0,06]	0,05 [0,04;0,06]
0,44 [0,34;0,56]	1,74 [1,51;1,98]	0,32 [0,29;0,35]	0,29 [0,26;0,33]
0,15 [0,09;0,22]	0,07 [0,03;0,14]	0,08 [0,06;0,10]	0,08 [0,06;0,10]
2,64 [2,39;2,90]	6,71 [6,26;7,18]	1,21 [1,14;1,27]	1,17 [1,11;1,24]
2,23 [2,00;2,47]	5,75 [5,34;6,19]	1,01 [0,95;1,07]	0,98 [0,92;1,04]
0,16 [0,11;0,24]	0,25 [0,17;0,35]	0,07 [0,05;0,08]	0,07 [0,05;0,09]
0,25 [0,17;0,34]	0,71 [0,57;0,87]	0,13 [0,11;0,15]	0,12 [0,10;0,14]
9,10 [8,64;9,58]	30,33 [29,37;31,31]	5,03 [4,90;5,16]	4,71 [4,58;4,84]
0,49 [0,38;0,61]	1,77 [1,54;2,02]	0,28 [0,25;0,31]	0,26 [0,23;0,30]
0,97 [0,82;1,14]	2,09 [1,84;2,36]	0,39 [0,35;0,43]	0,40 [0,36;0,44]
2,78 [2,52;3,05]	6,80 [6,35;7,27]	1,26 [1,20;1,33]	1,27 [1,21;1,34]
2,23 [2,00;2,47]	4,56 [4,19;4,95]	0,92 [0,86;0,98]	0,92 [0,87;0,98]
0,38 [0,29;0,49]	0,76 [0,62;0,93]	0,15 [0,13;0,18]	0,15 [0,13;0,18]
2,25 [2,03;2,50]	14,35 [13,70;15,04]	2,03 [1,95;2,11]	1,70 [1,62;1,77]
8,22 [7,78;8,67]	12,79 [12,17;13,43]	3,89 [3,77;4,01]	3,89 [3,78;4,01]
0,91 [0,77;1,08]	0,72 [0,58;0,89]	0,57 [0,53;0,62]	0,58 [0,53;0,62]
1,07 [0,92;1,25]	2,10 [1,85;2,37]	0,46 [0,42;0,50]	0,46 [0,42;0,50]
0,61 [0,50;0,75]	0,47 [0,35;0,60]	0,19 [0,17;0,22]	0,21 [0,18;0,24]
3,96 [3,65;4,28]	5,65 [5,24;6,08]	1,82 [1,75;1,91]	1,84 [1,76;1,92]
1,66 [1,47;1,87]	3,86 [3,52;4,22]	0,84 [0,79;0,90]	0,81 [0,76;0,87]
0,32 [0,24;0,42]	1,31 [1,12;1,53]	0,22 [0,20;0,25]	0,19 [0,17;0,22]
0,20 [0,13;0,28]	1,20 [1,01;1,41]	0,17 [0,15;0,20]	0,14 [0,12;0,16]
0,13 [0,08;0,19]	0,11 [0,06;0,19]	0,05 [0,04;0,07]	0,06 [0,04;0,07]
0,23 [0,16;0,31]	1,35 [1,15;1,57]	0,20 [0,17;0,23]	0,17 [0,15;0,19]
0,09 [0,05;0,16]	0,39 [0,29;0,52]	0,07 [0,05;0,08]	0,06 [0,05;0,08]
0,13 [0,08;0,20]	0,96 [0,79;1,14]	0,13 [0,11;0,16]	0,11 [0,09;0,13]
0,20 [0,13;0,28]	0,11 [0,06;0,19]	0,16 [0,13;0,18]	0,16 [0,14;0,19]

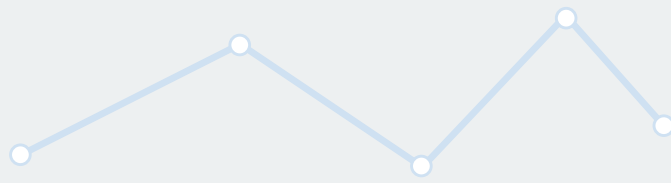


Tabla A8. Tasas de incidencia expresadas como casos por 100.000 hombres-año de las neoplasias hematológicas en hombres. REDECAN, 2020

Tipo de neoplasia hematológica	<15 años TEE [IC al 95%]	15-39 años TEE [IC al 95%]	40-59 años TEE [IC al 95%]
Todas	8,73 [8,11;9,38]	13,99 [13,45;14,55]	42,32 [41,33;43,32]
Neoplasias linfoides	6,77 [6,22;7,35]	11,17 [10,68;11,67]	32,42 [31,56;33,30]
Neoplasias de células precursoras	4,36 [3,92;4,83]	1,04 [0,89;1,20]	0,70 [0,58;0,84]
Leucemia/linfoma linfoblástica B	1,90 [1,62;2,22]	0,37 [0,28;0,47]	0,28 [0,21;0,38]
Leucemia/linfoma linfoblástica T	0,89 [0,70;1,12]	0,41 [0,32;0,51]	0,17 [0,11;0,24]
Leucemia/linfoma linfoblástica, SAI	1,57 [1,31;1,86]	0,26 [0,19;0,35]	0,25 [0,18;0,34]
Neoplasias de células B maduras	1,33 [1,09;1,60]	4,44 [4,14;4,76]	24,65 [23,90;25,42]
Leucemia linfocítica crónica/Linfoma linfocítico células peq.	0,01 [0,00;0,07]	0,18 [0,12;0,25]	3,71 [3,42;4,02]
Leucemia de células pilosas	0,01 [0,00;0,07]	0,10 [0,06;0,16]	0,53 [0,42;0,65]
Linfoma marginal	0,05 [0,01;0,12]	0,47 [0,37;0,58]	2,05 [1,84;2,28]
Linfoma linfoplasmacítico / macroglobulinemia Waldenström	0,00 [0,00;0,04]	0,03 [0,01;0,07]	0,63 [0,52;0,77]
Mieloma múltiple	0,02 [0,00;0,09]	0,24 [0,17;0,32]	4,36 [4,05;4,69]
Linfoma folicular	0,04 [0,01;0,10]	0,96 [0,82;1,12]	5,50 [5,15;5,87]
Linfoma de células del manto	0,00 [0,00;0,04]	0,06 [0,03;0,10]	0,98 [0,83;1,14]
Linfoma difuso de células B grandes	0,19 [0,11;0,31]	1,92 [1,72;2,13]	6,30 [5,92;6,69]
Leucemia/linfoma de Burkitt	1,00 [0,80;1,23]	0,41 [0,32;0,51]	0,54 [0,44;0,67]
Otras neoplasias de células B especificadas	0,01 [0,00;0,07]	0,08 [0,05;0,14]	0,05 [0,02;0,10]
Neoplasias de células T y NK maduras	0,15 [0,08;0,26]	0,89 [0,76;1,04]	2,70 [2,45;2,96]
Micosis fungoides / Síndrome de Sézary	0,06 [0,02;0,14]	0,29 [0,22;0,38]	0,95 [0,81;1,12]
Otros linfomas periféricos de células T y NK	0,09 [0,04;0,19]	0,60 [0,49;0,72]	1,74 [1,55;1,95]
Linfoma de Hodgkin	0,89 [0,70;1,12]	4,61 [4,30;4,93]	3,68 [3,39;3,98]
Con predominio linfocítico nodular	0,21 [0,13;0,34]	0,37 [0,29;0,47]	0,40 [0,31;0,51]
Clásico	0,68 [0,51;0,88]	4,23 [3,94;4,55]	3,28 [3,01;3,57]
Inespecíficas	0,04 [0,01;0,10]	0,20 [0,14;0,27]	0,69 [0,57;0,83]
Neoplasias mieloides	1,40 [1,16;1,68]	2,74 [2,50;2,99]	9,78 [9,31;10,27]
Neoplasias mieloproliferativas	0,37 [0,25;0,52]	1,28 [1,12;1,46]	5,05 [4,71;5,40]
Leucemia mioide crónica	0,09 [0,04;0,19]	0,54 [0,44;0,66]	1,17 [1,01;1,35]
Policitemia vera	0,01 [0,00;0,07]	0,13 [0,08;0,19]	1,23 [1,06;1,41]
Mielofibrosis primaria	0,00 [0,00;0,04]	0,04 [0,02;0,08]	0,37 [0,29;0,48]
Trombocitemia esencial	0,15 [0,08;0,26]	0,51 [0,41;0,63]	2,10 [1,88;2,33]
Leucemia neutrofílica / eosinofílica crónica	0,00 [0,00;0,04]	0,02 [0,00;0,05]	0,07 [0,04;0,13]
Inespecíficas	0,11 [0,05;0,20]	0,04 [0,02;0,08]	0,10 [0,06;0,16]
Mastocitosis	0,00 [0,00;0,04]	0,01 [0,00;0,03]	0,15 [0,09;0,22]
Neoplasia mielodisplásica / mieloproliferativa	0,00 [0,00;0,04]	0,03 [0,01;0,07]	0,33 [0,25;0,43]
Leucemia mielomonocítica crónica	0,00 [0,00;0,04]	0,01 [0,00;0,04]	0,21 [0,14;0,29]
Leucemia mioide crónica atípica	0,00 [0,00;0,04]	0,02 [0,00;0,05]	0,07 [0,03;0,12]
Inespecíficas	0,00 [0,00;0,04]	0,00 [0,00;0,02]	0,05 [0,02;0,10]
Síndromes mielodisplásicos	0,12 [0,06;0,22]	0,12 [0,08;0,19]	1,25 [1,09;1,43]
Displasia unilinjaje	0,00 [0,00;0,04]	0,00 [0,00;0,02]	0,07 [0,04;0,13]
Sideroblastos en anillo y displasia unilinjaje	0,00 [0,00;0,04]	0,00 [0,00;0,02]	0,09 [0,05;0,15]
Displasia multilinjaje	0,06 [0,02;0,14]	0,04 [0,02;0,08]	0,34 [0,26;0,45]
Exceso de blastos	0,00 [0,00;0,04]	0,02 [0,00;0,05]	0,33 [0,25;0,43]
Asociado a delección (5q) aislada	0,00 [0,00;0,04]	0,00 [0,00;0,02]	0,01 [0,00;0,04]
Inclasificables	0,06 [0,02;0,14]	0,07 [0,03;0,12]	0,40 [0,31;0,51]
Leucemia mioide aguda	0,90 [0,71;1,13]	1,24 [1,08;1,41]	2,90 [2,65;3,17]
Anormalidades citogenéticas recurrentes	0,25 [0,15;0,38]	0,43 [0,34;0,54]	0,68 [0,56;0,81]
Displasia multilinjaje	0,01 [0,00;0,07]	0,06 [0,03;0,10]	0,18 [0,12;0,26]
Relacionada con el tratamiento	0,02 [0,00;0,09]	0,01 [0,00;0,04]	0,08 [0,04;0,13]
No clasificables	0,49 [0,35;0,66]	0,59 [0,48;0,72]	1,49 [1,31;1,69]
Inespecífica	0,13 [0,07;0,23]	0,15 [0,10;0,21]	0,47 [0,37;0,59]
Leucemia aguda de linaje ambiguo	0,00 [0,00;0,04]	0,03 [0,01;0,07]	0,09 [0,05;0,15]
Inespecífica	0,00 [0,00;0,04]	0,00 [0,00;0,02]	0,05 [0,02;0,10]
Bifenotípica	0,00 [0,00;0,04]	0,03 [0,01;0,07]	0,04 [0,02;0,09]
Neoplasia mioide, inespecífica	0,01 [0,00;0,07]	0,03 [0,01;0,07]	0,02 [0,00;0,05]
Leucemia mioide, inespecífica	0,01 [0,00;0,07]	0,01 [0,00;0,04]	0,02 [0,00;0,05]
Leucemia, inespecífica	0,00 [0,00;0,04]	0,02 [0,00;0,05]	0,00 [0,00;0,02]
Histiocitosis	0,56 [0,41;0,74]	0,08 [0,05;0,14]	0,12 [0,07;0,19]

IC: intervalo de confianza; TAE: tasa ajustada por edad por la población estándar europea de 2013; TB: tasa bruta; TEE: tasa específica por edad

09-2018.

60-74 años TEE [IC al 95%]	>74 años TEE [IC al 95%]	Todas las edades	
		TB [IC al 95%]	TAE [IC al 95%]
141,09 [138,43;143,79]	245,34 [240,89;249,84]	59,12 [58,48;59,77]	64,30 [63,59;65,01]
97,75 [95,54;100,00]	143,16 [139,77;146,61]	40,17 [39,65;40,71]	43,60 [43,02;44,19]
0,92 [0,72;1,16]	1,44 [1,11;1,82]	1,46 [1,36;1,57]	1,51 [1,41;1,62]
0,42 [0,29;0,59]	0,51 [0,32;0,75]	0,60 [0,53;0,66]	0,62 [0,55;0,69]
0,20 [0,11;0,33]	0,11 [0,03;0,25]	0,35 [0,31;0,41]	0,37 [0,32;0,42]
0,30 [0,19;0,45]	0,82 [0,59;1,13]	0,51 [0,45;0,58]	0,53 [0,47;0,59]
83,85 [81,81;85,94]	122,91 [119,77;126,11]	31,18 [30,72;31,65]	34,28 [33,76;34,80]
19,98 [18,99;21,01]	34,21 [32,56;35,91]	6,87 [6,66;7,10]	7,70 [7,46;7,96]
0,91 [0,71;1,15]	0,70 [0,48;0,98]	0,38 [0,33;0,43]	0,39 [0,34;0,45]
6,36 [5,81;6,95]	8,17 [7,38;9,03]	2,35 [2,23;2,49]	2,58 [2,44;2,73]
3,33 [2,93;3,77]	6,93 [6,20;7,72]	1,25 [1,16;1,35]	1,41 [1,31;1,52]
20,74 [19,73;21,79]	35,03 [33,36;36,76]	7,26 [7,04;7,49]	8,11 [7,86;8,37]
11,23 [10,49;12,01]	8,76 [7,94;9,65]	4,27 [4,10;4,45]	4,56 [4,37;4,75]
3,73 [3,31;4,19]	3,70 [3,17;4,29]	1,14 [1,06;1,24]	1,29 [1,19;1,39]
16,88 [15,97;17,83]	24,68 [23,29;26,14]	6,99 [6,77;7,22]	7,57 [7,33;7,82]
0,51 [0,37;0,70]	0,59 [0,39;0,85]	0,57 [0,51;0,64]	0,58 [0,52;0,65]
0,17 [0,09;0,29]	0,15 [0,06;0,30]	0,08 [0,06;0,11]	0,09 [0,06;0,11]
6,49 [5,93;7,09]	7,39 [6,64;8,21]	2,65 [2,52;2,79]	2,84 [2,70;3,00]
2,65 [2,29;3,04]	2,60 [2,16;3,10]	0,98 [0,90;1,07]	1,05 [0,96;1,14]
3,85 [3,42;4,31]	4,79 [4,19;5,46]	1,67 [1,57;1,78]	1,79 [1,68;1,91]
3,70 [3,28;4,16]	3,32 [2,82;3,88]	3,52 [3,37;3,68]	3,54 [3,38;3,70]
0,30 [0,19;0,45]	0,15 [0,06;0,30]	0,33 [0,28;0,38]	0,33 [0,28;0,38]
3,40 [3,00;3,84]	3,17 [2,68;3,72]	3,20 [3,05;3,35]	3,21 [3,06;3,36]
2,78 [2,42;3,18]	8,11 [7,32;8,96]	1,36 [1,26;1,46]	1,44 [1,33;1,54]
43,08 [41,62;44,58]	101,99 [99,13;104,90]	18,75 [18,39;19,11]	20,49 [20,09;20,89]
16,23 [15,33;17,16]	25,25 [23,84;26,73]	6,39 [6,19;6,61]	6,99 [6,75;7,22]
2,74 [2,38;3,14]	3,91 [3,36;4,51]	1,25 [1,16;1,35]	1,33 [1,23;1,43]
4,21 [3,77;4,70]	5,64 [4,98;6,36]	1,48 [1,38;1,58]	1,65 [1,53;1,77]
2,46 [2,12;2,84]	3,53 [3,01;4,10]	0,77 [0,70;0,85]	0,89 [0,80;0,98]
6,03 [5,49;6,61]	9,80 [8,93;10,73]	2,49 [2,36;2,63]	2,70 [2,55;2,84]
0,14 [0,07;0,26]	0,13 [0,05;0,28]	0,06 [0,04;0,08]	0,06 [0,04;0,09]
0,63 [0,47;0,84]	2,26 [1,85;2,73]	0,34 [0,29;0,39]	0,37 [0,31;0,42]
0,18 [0,10;0,31]	0,08 [0,02;0,22]	0,08 [0,06;0,11]	0,08 [0,06;0,11]
4,07 [3,63;4,55]	11,06 [10,14;12,05]	1,62 [1,52;1,73]	1,82 [1,70;1,94]
3,46 [3,06;3,91]	9,84 [8,97;10,77]	1,39 [1,29;1,49]	1,56 [1,45;1,68]
0,25 [0,15;0,39]	0,36 [0,21;0,57]	0,09 [0,07;0,12]	0,10 [0,07;0,13]
0,36 [0,23;0,52]	0,87 [0,62;1,17]	0,14 [0,11;0,17]	0,15 [0,12;0,19]
12,22 [11,45;13,03]	44,83 [42,94;46,78]	5,98 [5,77;6,18]	6,57 [6,34;6,80]
0,55 [0,40;0,75]	2,45 [2,02;2,94]	0,31 [0,26;0,36]	0,34 [0,29;0,40]
1,25 [1,01;1,53]	3,08 [2,60;3,63]	0,46 [0,41;0,53]	0,54 [0,47;0,61]
3,92 [3,49;4,40]	11,59 [10,64;12,60]	1,66 [1,56;1,77]	1,89 [1,77;2,02]
3,27 [2,87;3,70]	7,24 [6,50;8,05]	1,18 [1,09;1,27]	1,35 [1,24;1,46]
0,21 [0,12;0,34]	0,46 [0,29;0,70]	0,07 [0,05;0,10]	0,08 [0,06;0,12]
3,02 [2,64;3,43]	20,00 [18,74;21,31]	2,29 [2,16;2,42]	2,36 [2,23;2,50]
9,61 [8,93;10,34]	17,59 [16,41;18,82]	4,25 [4,08;4,42]	4,59 [4,41;4,78]
0,95 [0,74;1,19]	1,06 [0,78;1,39]	0,60 [0,54;0,67]	0,61 [0,55;0,69]
1,44 [1,18;1,73]	2,91 [2,45;3,44]	0,52 [0,46;0,59]	0,59 [0,52;0,66]
0,68 [0,51;0,90]	0,63 [0,43;0,90]	0,18 [0,15;0,22]	0,21 [0,17;0,25]
4,70 [4,23;5,22]	7,77 [7,00;8,61]	2,03 [1,91;2,15]	2,19 [2,07;2,33]
1,84 [1,55;2,18]	5,22 [4,59;5,91]	0,91 [0,83;1,00]	0,99 [0,90;1,08]
0,47 [0,33;0,66]	1,41 [1,10;1,80]	0,23 [0,19;0,27]	0,24 [0,19;0,28]
0,28 [0,17;0,42]	1,20 [0,91;1,56]	0,16 [0,12;0,19]	0,16 [0,12;0,19]
0,20 [0,11;0,33]	0,21 [0,10;0,39]	0,07 [0,05;0,09]	0,08 [0,05;0,11]
0,29 [0,18;0,44]	1,75 [1,40;2,17]	0,21 [0,17;0,25]	0,22 [0,18;0,26]
0,12 [0,05;0,23]	0,57 [0,38;0,83]	0,08 [0,05;0,10]	0,08 [0,06;0,11]
0,17 [0,09;0,29]	1,18 [0,89;1,54]	0,13 [0,10;0,16]	0,14 [0,11;0,17]
0,26 [0,16;0,41]	0,19 [0,09;0,36]	0,20 [0,17;0,24]	0,21 [0,17;0,25]

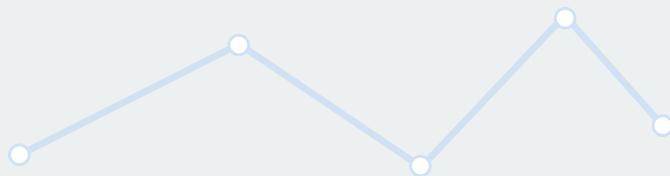


Tabla A9. Tasas de incidencia expresadas como casos por 100.000 mujeres-año de las neoplasias hematológicas en mujeres. REDECAN, 200

Tipo de neoplasia hematológica	<15 años TEE [IC al 95%]	15-39 años TEE [IC al 95%]	40-59 años TEE [IC al 95%]
Todas	5,54 [5,03;6,08]	11,83 [11,32;12,36]	31,00 [30,15;31,87]
Neoplasias linfoides	4,32 [3,87;4,80]	8,73 [8,29;9,18]	22,46 [21,73;23,20]
Neoplasias de células precursoras	3,05 [2,68;3,46]	0,51 [0,40;0,62]	0,61 [0,50;0,74]
Leucemia/linfoma linfoblástica B	1,64 [1,37;1,95]	0,26 [0,19;0,35]	0,30 [0,22;0,40]
Leucemia/linfoma linfoblástica T	0,30 [0,19;0,45]	0,08 [0,04;0,14]	0,09 [0,05;0,14]
Leucemia/linfoma linfoblástica, SAI	1,11 [0,89;1,37]	0,16 [0,10;0,23]	0,22 [0,16;0,31]
Neoplasias de células B maduras	0,47 [0,33;0,64]	3,06 [2,80;3,33]	17,51 [16,87;18,17]
Leucemia linfocítica crónica/Linfoma linfocítico células peq.	0,00 [0,00;0,05]	0,13 [0,08;0,20]	2,34 [2,11;2,58]
Leucemia de células pilosas	0,00 [0,00;0,05]	0,04 [0,01;0,08]	0,17 [0,11;0,25]
Linfoma marginal	0,00 [0,00;0,05]	0,38 [0,29;0,48]	2,08 [1,86;2,31]
Linfoma linfoplasmacítico / macroglobulinemia Waldenström	0,00 [0,00;0,05]	0,01 [0,00;0,04]	0,45 [0,35;0,57]
Mieloma múltiple	0,00 [0,00;0,05]	0,21 [0,14;0,29]	3,14 [2,88;3,43]
Linfoma folicular	0,00 [0,00;0,05]	0,67 [0,55;0,81]	4,92 [4,58;5,27]
Linfoma de células del manto	0,00 [0,00;0,05]	0,02 [0,00;0,05]	0,25 [0,18;0,34]
Linfoma difuso de células B grandes	0,09 [0,04;0,18]	1,43 [1,25;1,62]	3,95 [3,65;4,26]
Leucemia/linfoma de Burkitt	0,37 [0,25;0,53]	0,15 [0,10;0,22]	0,18 [0,12;0,26]
Otras neoplasias de células B especificadas	0,01 [0,00;0,07]	0,04 [0,01;0,08]	0,04 [0,01;0,08]
Neoplasias de células T y NK maduras	0,14 [0,07;0,25]	0,65 [0,54;0,79]	1,89 [1,68;2,11]
Micosis fungoides / Síndrome de Sézary	0,04 [0,01;0,11]	0,25 [0,18;0,33]	0,71 [0,59;0,85]
Otros linfomas periféricos de células T y NK	0,10 [0,04;0,20]	0,41 [0,32;0,51]	1,18 [1,02;1,36]
Linfoma de Hodgkin	0,64 [0,48;0,85]	4,39 [4,08;4,71]	2,08 [1,86;2,31]
Con predominio linfocítico nodular	0,04 [0,01;0,11]	0,21 [0,14;0,29]	0,15 [0,09;0,22]
Clásico	0,61 [0,45;0,80]	4,18 [3,88;4,50]	1,93 [1,72;2,16]
Inespecíficas	0,01 [0,00;0,07]	0,13 [0,08;0,20]	0,37 [0,28;0,48]
Neoplasias mieloides	1,02 [0,81;1,27]	3,00 [2,75;3,28]	8,45 [8,01;8,91]
Neoplasias mieloproliferativas	0,23 [0,13;0,36]	1,56 [1,38;1,76]	4,34 [4,03;4,67]
Leucemia mioide crónica	0,04 [0,01;0,11]	0,36 [0,27;0,46]	0,90 [0,76;1,06]
Policitemia vera	0,01 [0,00;0,07]	0,09 [0,05;0,15]	0,73 [0,61;0,88]
Mielofibrosis primaria	0,00 [0,00;0,05]	0,05 [0,02;0,10]	0,24 [0,17;0,33]
Trombocitemia esencial	0,13 [0,06;0,23]	0,99 [0,85;1,16]	2,28 [2,05;2,52]
Leucemia neutrofílica / eosinofílica crónica	0,01 [0,00;0,07]	0,02 [0,01;0,06]	0,01 [0,00;0,04]
Inespecíficas	0,04 [0,01;0,11]	0,04 [0,02;0,08]	0,18 [0,12;0,26]
Mastocitosis	0,01 [0,00;0,07]	0,07 [0,04;0,12]	0,10 [0,06;0,17]
Neoplasia mielodisplásica / mieloproliferativa	0,01 [0,00;0,07]	0,02 [0,00;0,05]	0,22 [0,16;0,31]
Leucemia mielomonocítica crónica	0,00 [0,00;0,05]	0,01 [0,00;0,03]	0,15 [0,09;0,22]
Leucemia mioide crónica atípica	0,00 [0,00;0,05]	0,01 [0,00;0,03]	0,02 [0,00;0,05]
Inespecíficas	0,01 [0,00;0,07]	0,01 [0,00;0,03]	0,06 [0,03;0,11]
Síndromes mielodisplásicos	0,05 [0,01;0,13]	0,15 [0,10;0,22]	0,97 [0,82;1,13]
Displasia unilínea	0,00 [0,00;0,05]	0,00 [0,00;0,02]	0,02 [0,01;0,06]
Sideroblastos en anillo y displasia unilínea	0,00 [0,00;0,05]	0,00 [0,00;0,02]	0,04 [0,02;0,09]
Displasia multilineal	0,04 [0,01;0,11]	0,06 [0,03;0,11]	0,31 [0,23;0,41]
Exceso de blastos	0,01 [0,00;0,07]	0,03 [0,01;0,07]	0,27 [0,20;0,36]
Asociado a delección (5q) aislada	0,00 [0,00;0,05]	0,01 [0,00;0,03]	0,07 [0,03;0,12]
Inclasificables	0,00 [0,00;0,05]	0,05 [0,02;0,10]	0,25 [0,18;0,34]
Leucemia mioide aguda	0,68 [0,51;0,89]	1,15 [1,00;1,33]	2,73 [2,48;2,99]
Anormalidades citogenéticas recurrentes	0,19 [0,11;0,31]	0,43 [0,34;0,54]	0,66 [0,54;0,80]
Displasia multilineal	0,00 [0,00;0,05]	0,06 [0,03;0,12]	0,19 [0,13;0,27]
Relacionada con el tratamiento	0,03 [0,00;0,09]	0,01 [0,00;0,04]	0,24 [0,17;0,33]
No clasificables	0,39 [0,27;0,56]	0,50 [0,40;0,62]	1,28 [1,11;1,47]
Inespecífica	0,08 [0,03;0,16]	0,15 [0,10;0,22]	0,35 [0,27;0,46]
Leucemia aguda de linaje ambiguo	0,04 [0,01;0,11]	0,04 [0,01;0,08]	0,05 [0,02;0,10]
Inespecífica	0,00 [0,00;0,05]	0,02 [0,00;0,05]	0,01 [0,00;0,04]
Bifenotípica	0,04 [0,01;0,11]	0,02 [0,00;0,05]	0,04 [0,01;0,08]
Neoplasia mioide, inespecífica	0,00 [0,00;0,05]	0,02 [0,01;0,06]	0,04 [0,02;0,09]
Leucemia mioide, inespecífica	0,00 [0,00;0,05]	0,01 [0,00;0,03]	0,02 [0,00;0,05]
Leucemia, inespecífica	0,00 [0,00;0,05]	0,02 [0,00;0,05]	0,02 [0,01;0,06]
Histiocitosis	0,20 [0,12;0,33]	0,10 [0,06;0,16]	0,09 [0,05;0,14]

IC: intervalo de confianza; TAE: tasa ajustada por edad por la población estándar europea de 2013; TB: tasa bruta; TEE: tasa específica por edad

9-2018.

60-74 años TEE [IC al 95%]	>74 años TEE [IC al 95%]	Todas las edades	
		TB [IC al 95%]	TAE [IC al 95%]
95,79 [93,69;97,92]	141,39 [138,75;144,07]	46,03 [45,47;46,59]	43,16 [42,62;43,70]
68,75 [66,97;70,56]	86,73 [84,66;88,83]	31,22 [30,76;31,68]	29,96 [29,51;30,42]
0,98 [0,78;1,22]	0,84 [0,65;1,07]	1,00 [0,92;1,09]	1,06 [0,98;1,16]
0,56 [0,41;0,74]	0,36 [0,24;0,52]	0,52 [0,46;0,58]	0,56 [0,49;0,62]
0,06 [0,02;0,14]	0,06 [0,02;0,15]	0,11 [0,08;0,14]	0,11 [0,09;0,15]
0,36 [0,25;0,52]	0,41 [0,28;0,59]	0,37 [0,32;0,43]	0,39 [0,34;0,45]
59,76 [58,10;61,45]	73,73 [71,82;75,67]	24,54 [24,13;24,95]	23,46 [23,06;23,87]
11,19 [10,48;11,94]	16,88 [15,97;17,82]	4,60 [4,42;4,78]	4,24 [4,07;4,41]
0,23 [0,14;0,36]	0,23 [0,14;0,37]	0,12 [0,10;0,16]	0,12 [0,09;0,15]
5,22 [4,74;5,74]	5,07 [4,58;5,60]	2,14 [2,02;2,26]	2,09 [1,97;2,22]
1,62 [1,36;1,92]	2,39 [2,05;2,76]	0,69 [0,62;0,76]	0,66 [0,59;0,73]
15,64 [14,80;16,52]	21,49 [20,47;22,55]	6,12 [5,92;6,32]	5,77 [5,58;5,98]
11,07 [10,37;11,81]	7,69 [7,08;8,33]	4,23 [4,07;4,41]	4,27 [4,10;4,45]
1,07 [0,86;1,31]	1,87 [1,57;2,20]	0,48 [0,43;0,54]	0,45 [0,40;0,51]
13,28 [12,50;14,09]	17,86 [16,93;18,83]	5,89 [5,69;6,09]	5,58 [5,39;5,78]
0,33 [0,22;0,48]	0,14 [0,07;0,26]	0,21 [0,18;0,25]	0,22 [0,19;0,27]
0,11 [0,05;0,21]	0,10 [0,04;0,20]	0,05 [0,04;0,07]	0,05 [0,04;0,08]
3,96 [3,54;4,41]	3,54 [3,13;3,98]	1,80 [1,69;1,91]	1,78 [1,67;1,90]
1,25 [1,02;1,51]	0,92 [0,72;1,16]	0,58 [0,52;0,65]	0,58 [0,52;0,65]
2,71 [2,37;3,09]	2,62 [2,27;3,01]	1,21 [1,13;1,31]	1,20 [1,11;1,29]
1,93 [1,64;2,25]	2,18 [1,86;2,53]	2,56 [2,43;2,69]	2,60 [2,47;2,74]
0,18 [0,10;0,30]	0,13 [0,06;0,24]	0,15 [0,12;0,19]	0,15 [0,12;0,19]
1,74 [1,47;2,05]	2,05 [1,74;2,39]	2,41 [2,28;2,54]	2,45 [2,32;2,59]
2,12 [1,82;2,46]	6,44 [5,89;7,04]	1,32 [1,23;1,42]	1,05 [0,97;1,14]
26,91 [25,80;28,05]	54,59 [52,96;56,27]	14,70 [14,38;15,01]	13,08 [12,79;13,37]
11,97 [11,23;12,74]	16,88 [15,97;17,82]	5,74 [5,54;5,94]	5,34 [5,15;5,53]
1,72 [1,45;2,03]	1,91 [1,61;2,24]	0,87 [0,80;0,95]	0,82 [0,75;0,90]
2,67 [2,32;3,04]	3,62 [3,20;4,07]	1,11 [1,03;1,20]	1,04 [0,96;1,13]
0,90 [0,70;1,13]	1,06 [0,85;1,32]	0,36 [0,31;0,41]	0,35 [0,30;0,40]
6,34 [5,80;6,90]	8,78 [8,13;9,46]	3,06 [2,92;3,21]	2,85 [2,71;2,99]
0,08 [0,03;0,17]	0,10 [0,04;0,20]	0,04 [0,02;0,06]	0,04 [0,02;0,06]
0,27 [0,17;0,40]	1,41 [1,16;1,70]	0,30 [0,25;0,35]	0,24 [0,20;0,28]
0,11 [0,05;0,21]	0,06 [0,02;0,15]	0,08 [0,06;0,10]	0,08 [0,06;0,10]
1,32 [1,08;1,59]	4,03 [3,60;4,51]	0,81 [0,73;0,88]	0,68 [0,62;0,75]
1,09 [0,88;1,34]	3,24 [2,85;3,67]	0,64 [0,58;0,71]	0,55 [0,49;0,61]
0,08 [0,03;0,17]	0,18 [0,10;0,30]	0,04 [0,03;0,06]	0,04 [0,03;0,06]
0,15 [0,08;0,25]	0,61 [0,45;0,81]	0,12 [0,10;0,15]	0,10 [0,07;0,13]
6,23 [5,70;6,79]	21,43 [20,41;22,49]	4,12 [3,95;4,29]	3,34 [3,20;3,49]
0,42 [0,30;0,59]	1,35 [1,10;1,63]	0,25 [0,21;0,29]	0,21 [0,17;0,25]
0,71 [0,54;0,92]	1,48 [1,22;1,78]	0,32 [0,27;0,36]	0,29 [0,24;0,33]
1,72 [1,45;2,03]	3,85 [3,42;4,31]	0,88 [0,81;0,96]	0,81 [0,74;0,89]
1,27 [1,04;1,54]	2,92 [2,55;3,32]	0,67 [0,60;0,74]	0,59 [0,53;0,65]
0,55 [0,40;0,73]	0,95 [0,74;1,19]	0,23 [0,19;0,27]	0,21 [0,17;0,25]
1,55 [1,29;1,84]	10,89 [10,17;11,65]	1,78 [1,67;1,89]	1,23 [1,15;1,32]
6,93 [6,37;7,52]	9,84 [9,15;10,57]	3,54 [3,39;3,70]	3,35 [3,20;3,50]
0,88 [0,69;1,11]	0,52 [0,37;0,71]	0,54 [0,48;0,60]	0,55 [0,49;0,61]
0,74 [0,57;0,95]	1,59 [1,33;1,90]	0,40 [0,35;0,45]	0,36 [0,31;0,41]
0,55 [0,40;0,73]	0,36 [0,24;0,52]	0,20 [0,17;0,24]	0,21 [0,17;0,25]
3,27 [2,89;3,69]	4,34 [3,89;4,83]	1,63 [1,52;1,73]	1,55 [1,45;1,66]
1,49 [1,24;1,78]	3,02 [2,65;3,43]	0,78 [0,71;0,85]	0,68 [0,62;0,75]
0,18 [0,10;0,30]	1,24 [1,01;1,52]	0,22 [0,19;0,27]	0,15 [0,13;0,19]
0,12 [0,06;0,22]	1,19 [0,96;1,46]	0,19 [0,15;0,23]	0,12 [0,10;0,15]
0,06 [0,02;0,14]	0,05 [0,01;0,13]	0,04 [0,02;0,06]	0,04 [0,02;0,06]
0,17 [0,09;0,28]	1,10 [0,88;1,36]	0,19 [0,16;0,23]	0,14 [0,11;0,17]
0,07 [0,03;0,16]	0,29 [0,18;0,43]	0,06 [0,04;0,08]	0,05 [0,03;0,07]
0,10 [0,04;0,19]	0,82 [0,63;1,04]	0,14 [0,11;0,17]	0,09 [0,07;0,12]
0,13 [0,07;0,24]	0,06 [0,02;0,15]	0,11 [0,08;0,14]	0,12 [0,09;0,15]

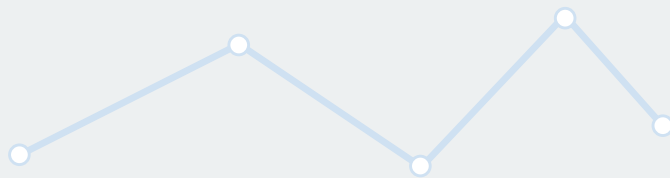


Tabla A10. Tendencias de la incidencia durante 2009-2018 en REDECAN y proyecciones de incidencia para 2026 en el conjunto de ambos sexos

Tipo de neoplasia hematológica	Cifras observadas durante 2009-2018	
	N	PCA (%) [IC al 95%]
Todas	58846	-0,13 [-0,42;0,15]
Neoplasias linfoides	39954	0,24 [-0,11;0,59]
Neoplasias de células precursoras	1378	0,78 [-1,09;2,65]
Leucemia/linfoma linfoblástica B	626	5,58 [2,8;8,36]
Leucemia/linfoma linfoblástica T	257	4,66 [0,33;9]
Leucemia/linfoma linfoblástica, SAI	495	-6,91 [-10,09;-3,73]
Neoplasias de células B maduras	31185	0,19 [-0,21;0,58]
Leucemia linfocítica crónica/Linfoma linfocítico células peq.	6411	-3,54 [-4,41;-2,67]
Leucemia de células pilosas	279	-1,49 [-5,66;2,68]
Linfoma marginal	2519	2,42 [1,03;3,81]
Linfoma linfoplasmácito / macroglobulinemia Waldenström	1084	2,13 [0,01;4,25]
Mieloma múltiple	7493	-0,03 [-0,83;0,78]
Linfoma folicular	4771	1,36 [0,35;2,37]
Linfoma de células del manto	905	0,84 [-1,48;3,15]
Linfoma difuso de células B grandes	7214	1,83 [1,01;2,65]
Leucemia/linfoma de Burkitt	434	0,57 [-2,77;3,9]
Otras neoplasias de células B especificadas	75	8,68 [0,57;16,8]
Neoplasias de células T y NK maduras	2488	1,38 [-0,01;2,77]
Micosis fungoides / Síndrome de Sézary	873	0,65 [-1,7;3,01]
Otros linfomas periféricos de células T y NK	1615	1,77 [0,04;3,51]
Linfoma de Hodgkin	3401	1,12 [-0,07;2,31]
Con predominio linfocítico nodular	267	5,61 [1,35;9,87]
Clásico	3134	0,75 [-0,49;1,99]
Inespecíficas	1502	-3,07 [-4,88;-1,27]
Neoplasias mieloides	18718	-1,02 [-1,53;-0,51]
Neoplasias mieloproliferativas	6798	-0,73 [-1,58;0,11]
Leucemia mieloide crónica	1190	-4,56 [-6,59;-2,53]
Policitemia vera	1448	-0,63 [-2,46;1,2]
Mielofibrosis primaria	627	3,96 [1,17;6,75]
Trombocitemia esencial	3121	-0,37 [-1,61;0,88]
Leucemia neutrofílica / eosinofílica crónica	54	1,96 [-7,51;11,44]
Inespecíficas	358	0,2 [-3,5;3,89]
Mastocitosis	87	0,43 [-7,02;7,89]
Neoplasia mielodisplásica / mieloproliferativa	1352	0,92 [-0,97;2,82]
Leucemia mielomonocítica crónica	1130	1,06 [-1,01;3,14]
Leucemia mieloide crónica atípica	75	-3,2 [-11,27;4,87]
Inespecíficas	147	2,01 [-3,76;7,78]
Síndromes mielodisplásicos	5643	-2,02 [-2,95;-1,09]
Displasia unilinjaje	313	-18,35 [-22,65;-14,05]
Sideroblastos en anillo y displasia unilinjaje	436	-4,8 [-8,16;-1,44]
Displasia multilinjaje	1419	1,76 [-0,1;3,61]
Exceso de blastos	1029	0,99 [-1,18;3,17]
Asociado a delección (5q) aislada	170	1,49 [-3,87;6,84]
Inclasificables	2276	-3,08 [-4,55;-1,61]
Leucemia mieloide aguda	4362	-0,06 [-1,11;1]
Anormalidades citogenéticas recurrentes	640	0,81 [-1,94;3,56]
Displasia multilinjaje	514	-2,13 [-5,2;0,95]
Relacionada con el tratamiento	215	10 [5,15;14,84]
No clasificables	2047	-0,19 [-1,73;1,35]
Inespecífica	946	-1,37 [-3,64;0,9]
Leucemia aguda de linaje ambiguo	252	-4,43 [-8,84;-0,02]
Inespecífica	193	-6,68 [-11,75;-1,61]
Bifenotípica	59	3,18 [-5,88;12,24]
Neoplasia mieloide, inespecífica	224	-11,47 [-16,28;-6,65]
Leucemia mieloide, inespecífica	74	-7,24 [-15,47;0,98]
Leucemia, inespecífica	150	-13,54 [-19,5;-7,58]
Histiocitosis	174	10,87 [5,51;16,23]

IC: intervalo de confianza; N: número de casos; PCA: porcentaje de cambio anual; TAE: tasa ajustada por edad; TB: tasa bruta

*Tasas expresada como casos por 100,000 personas-año,

os en España.

Cifras proyectadas para 2026*		
N [IC al 95%]	TB [IC al 95%]	TAE [IC al 95%]
27929 [27601;28259]	55,96 [55,30;56,62]	52,05 [51,44;52,66]
19756 [19480;20033]	39,58 [39,03;40,13]	36,82 [36,30;37,34]
645 [596;695]	1,29 [1,19;1,39]	1,2 [1,11;1,29]
406 [367;446]	0,81 [0,73;0,89]	0,76 [0,69;0,83]
149 [125;173]	0,3 [0,25;0,35]	0,28 [0,23;0,33]
90 [72;109]	0,18 [0,14;0,22]	0,17 [0,14;0,21]
15547 [15303;15792]	31,15 [30,66;31,64]	28,97 [28,51;29,43]
2111 [2022;2201]	4,23 [4,05;4,41]	3,93 [3,76;4,10]
118 [97;140]	0,24 [0,20;0,28]	0,22 [0,18;0,26]
1561 [1484;1639]	3,13 [2,98;3,29]	2,91 [2,77;3,06]
653 [604;704]	1,31 [1,21;1,41]	1,22 [1,13;1,31]
3602 [3485;3720]	7,22 [6,99;7,46]	6,71 [6,49;6,93]
2650 [2549;2751]	5,31 [5,11;5,51]	4,94 [4,75;5,13]
495 [452;539]	0,99 [0,90;1,08]	0,92 [0,84;1,00]
4085 [3960;4211]	8,18 [7,93;8,43]	7,61 [7,38;7,84]
200 [173;228]	0,4 [0,35;0,46]	0,37 [0,32;0,42]
72 [56;89]	0,14 [0,11;0,17]	0,13 [0,10;0,16]
1357 [1285;1430]	2,72 [2,58;2,87]	2,53 [2,40;2,67]
437 [397;479]	0,88 [0,80;0,96]	0,82 [0,74;0,90]
919 [860;980]	1,84 [1,72;1,96]	1,71 [1,60;1,82]
1721 [1640;1803]	3,45 [3,29;3,61]	3,21 [3,06;3,36]
214 [186;243]	0,43 [0,37;0,49]	0,4 [0,35;0,45]
1508 [1432;1584]	3,02 [2,87;3,17]	2,81 [2,67;2,95]
485 [442;529]	0,97 [0,88;1,06]	0,9 [0,82;0,98]
7953 [7780;8128]	15,93 [15,58;16,28]	14,82 [14,50;15,15]
2995 [2888;3102]	6 [5,79;6,21]	5,58 [5,38;5,78]
317 [283;352]	0,64 [0,57;0,71]	0,59 [0,53;0,66]
644 [595;694]	1,29 [1,19;1,39]	1,2 [1,11;1,29]
439 [398;481]	0,88 [0,80;0,96]	0,82 [0,74;0,90]
1401 [1328;1475]	2,81 [2,66;2,96]	2,61 [2,47;2,75]
31 [21;42]	0,06 [0,04;0,08]	0,06 [0,04;0,08]
163 [139;188]	0,33 [0,28;0,38]	0,3 [0,25;0,35]
39 [27;52]	0,08 [0,06;0,11]	0,07 [0,05;0,09]
705 [653;758]	1,41 [1,31;1,52]	1,31 [1,21;1,41]
590 [543;638]	1,18 [1,09;1,28]	1,1 [1,01;1,19]
30 [20;41]	0,06 [0,04;0,08]	0,06 [0,04;0,08]
85 [67;103]	0,17 [0,13;0,21]	0,16 [0,13;0,19]
2082 [1993;2172]	4,17 [3,99;4,35]	3,88 [3,71;4,05]
16 [9;24]	0,03 [0,02;0,04]	0,03 [0,02;0,04]
116 [95;138]	0,23 [0,19;0,27]	0,22 [0,18;0,26]
745 [692;799]	1,49 [1,38;1,60]	1,39 [1,29;1,49]
488 [445;532]	0,98 [0,89;1,07]	0,91 [0,83;0,99]
84 [67;102]	0,17 [0,14;0,21]	0,16 [0,13;0,20]
634 [585;684]	1,27 [1,17;1,37]	1,18 [1,09;1,27]
2030 [1942;2118]	4,07 [3,89;4,25]	3,78 [3,62;3,95]
304 [270;339]	0,61 [0,54;0,68]	0,57 [0,51;0,64]
189 [162;216]	0,38 [0,33;0,43]	0,35 [0,30;0,40]
256 [225;288]	0,51 [0,45;0,57]	0,48 [0,42;0,54]
912 [853;972]	1,83 [1,71;1,95]	1,7 [1,59;1,81]
369 [332;407]	0,74 [0,67;0,82]	0,69 [0,62;0,76]
72 [56;89]	0,14 [0,11;0,17]	0,13 [0,10;0,16]
38 [26;51]	0,08 [0,05;0,11]	0,07 [0,05;0,09]
34 [23;46]	0,07 [0,05;0,09]	0,06 [0,04;0,08]
30 [20;41]	0,06 [0,04;0,08]	0,06 [0,04;0,08]
14 [7;22]	0,03 [0,01;0,05]	0,03 [0,01;0,05]
15 [8;23]	0,03 [0,02;0,05]	0,03 [0,02;0,05]
220 [191;250]	0,44 [0,38;0,50]	0,41 [0,36;0,46]

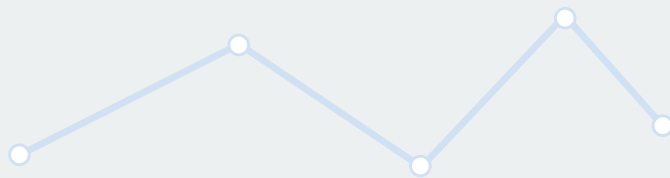


Tabla A11. Tendencias de la incidencia durante 2009-2018 en REDECAN y proyecciones de incidencia para 2026 en hombres en España.

Tipo de neoplasia hematológica	Cifras observadas durante 2009-2018	
	N	PCA (%) [IC al 95%]
Todas	32554	-0,18 [-0,57;0,21]
Neoplasias linfoides	22120	0,16 [-0,31;0,63]
Neoplasias de células precursoras	805	0,64 [-1,81;3,08]
Leucemia/linfoma linfoblástica B	328	7,76 [3,9;11,62]
Leucemia/linfoma linfoblástica T	195	4,1 [-0,87;9,07]
Leucemia/linfoma linfoblástica, SAI	282	-9,41 [-13,68;-5,15]
Neoplasias de células B maduras	17168	0,14 [-0,4;0,67]
Leucemia linfocítica crónica/Linfoma linfocítico células peq.	3784	-3,13 [-4,26;-1,99]
Leucemia de células pilosas	208	-1,37 [-6,2;3,46]
Linfoma marginal	1296	1,84 [-0,1;3,77]
Linfoma linfoplasmacítico / macroglobulinemia Waldenström	691	1,41 [-1,24;4,06]
Mieloma múltiple	3999	0,31 [-0,79;1,41]
Linfoma folicular	2352	1,1 [-0,33;2,53]
Linfoma de células del manto	630	2,03 [-0,74;4,81]
Linfoma difuso de células B grandes	3850	1,34 [0,22;2,46]
Leucemia/linfoma de Burkitt	313	2,15 [-1,78;6,08]
Otras neoplasias de células B especificadas	45	9,49 [-1;19,97]
Neoplasias de células T y NK maduras	1460	0,35 [-1,47;2,17]
Micosis fungoides / Síndrome de Sézary	539	0,32 [-2,67;3,32]
Otros linfomas periféricos de células T y NK	921	0,36 [-1,93;2,66]
Linfoma de Hodgkin	1940	1,02 [-0,56;2,59]
Con predominio linfocítico nodular	180	4,1 [-1,08;9,27]
Clásico	1760	0,71 [-0,95;2,36]
Inespecíficas	747	-2,39 [-4,94;0,17]
Neoplasias mieloides	10323	-1,04 [-1,73;-0,36]
Neoplasias mieloproliferativas	3521	-0,69 [-1,86;0,48]
Leucemia mieloide crónica	691	-6,48 [-9,16;-3,81]
Policitemia vera	814	0,5 [-1,94;2,94]
Mielofibrosis primaria	423	2,88 [-0,51;6,27]
Trombocitemia esencial	1373	0,24 [-1,64;2,12]
Leucemia neutrofílica / eosinofílica crónica	32	-6,54 [-18,97;5,89]
Inespecíficas	188	2,46 [-2,65;7,56]
Mastocitosis	43	2,64 [-7,97;13,26]
Neoplasia mielodisplásica / mieloproliferativa	892	0,56 [-1,77;2,9]
Leucemia mielomonocítica crónica	765	0,2 [-2,32;2,73]
Leucemia mieloide crónica atípica	50	-3,28 [-13,15;6,59]
Inespecíficas	77	6,97 [-1,1;15,03]
Síndromes mielodisplásicos	3290	-1,8 [-3,01;-0,58]
Displasia unilínea	170	-18,89 [-24,73;-13,04]
Sideroblastos en anillo y displasia unilínea	256	-3,81 [-8,18;0,56]
Displasia multilineal	916	1,41 [-0,9;3,72]
Exceso de blastos	649	0,33 [-2,4;3,07]
Asociado a delección (5q) aislada	40	4,9 [-6,17;15,96]
Inclasificables	1259	-2,59 [-4,56;-0,62]
Leucemia mieloide aguda	2339	-0,49 [-1,93;0,95]
Anormalidades citogenéticas recurrentes	332	-0,41 [-4,23;3,4]
Displasia multilineal	288	-0,61 [-4,72;3,5]
Relacionada con el tratamiento	99	13,81 [6,53;21,09]
No clasificables	1118	-1,73 [-3,82;0,35]
Inespecífica	502	-0,27 [-3,38;2,84]
Leucemia aguda de linaje ambiguo	124	-1,66 [-7,93;4,61]
Inespecífica	86	-4,8 [-12,36;2,75]
Bifenotípica	38	5,76 [-5,58;17,11]
Neoplasia mieloide, inespecífica	114	-14,33 [-21,2;-7,47]
Leucemia mieloide, inespecífica	42	-10,33 [-21,36;0,71]
Leucemia, inespecífica	72	-16,69 [-25,49;-7,89]
Histiocitosis	111	14,05 [7,24;20,85]

IC: intervalo de confianza; N: número de casos; PCA: porcentaje de cambio anual; TAE: tasa ajustada por edad; TB: tasa bruta

*Tasas expresada como casos por 100,000 personas-año,

Cifras proyectadas para 2026*		
N [IC al 95%]	TB [IC al 95%]	TAE [IC al 95%]
15575 [15331;15819]	63,68 [62,68;64,68]	63,23 [62,25;64,23]
10920 [10715;11125]	44,65 [43,81;45,49]	44,33 [43,50;45,17]
365 [328;403]	1,49 [1,34;1,65]	1,48 [1,33;1,63]
233 [204;263]	0,95 [0,83;1,07]	0,95 [0,83;1,07]
97 [78;117]	0,4 [0,32;0,48]	0,39 [0,31;0,47]
35 [24;47]	0,14 [0,10;0,19]	0,14 [0,10;0,19]
8602 [8421;8784]	35,17 [34,43;35,91]	34,92 [34,19;35,65]
1327 [1257;1399]	5,43 [5,14;5,72]	5,39 [5,11;5,68]
88 [70;107]	0,36 [0,29;0,44]	0,36 [0,29;0,44]
759 [706;813]	3,1 [2,88;3,32]	3,08 [2,86;3,30]
401 [362;441]	1,64 [1,48;1,80]	1,63 [1,47;1,79]
2011 [1923;2099]	8,22 [7,86;8,58]	8,16 [7,81;8,52]
1272 [1202;1343]	5,2 [4,91;5,49]	5,16 [4,88;5,44]
393 [355;432]	1,61 [1,45;1,77]	1,6 [1,45;1,76]
2131 [2041;2222]	8,71 [8,34;9,08]	8,65 [8,28;9,02]
170 [145;196]	0,7 [0,60;0,81]	0,69 [0,59;0,80]
50 [37;64]	0,2 [0,15;0,26]	0,2 [0,15;0,26]
706 [655;758]	2,89 [2,68;3,10]	2,87 [2,66;3,09]
260 [229;292]	1,06 [0,93;1,19]	1,06 [0,93;1,19]
446 [405;488]	1,82 [1,65;1,99]	1,81 [1,64;1,98]
979 [919;1041]	4 [3,75;4,25]	3,97 [3,72;4,22]
123 [102;145]	0,5 [0,41;0,59]	0,5 [0,41;0,59]
856 [799;914]	3,5 [3,27;3,74]	3,47 [3,24;3,71]
268 [237;301]	1,1 [0,97;1,24]	1,09 [0,96;1,22]
4474 [4342;4606]	18,29 [17,75;18,83]	18,16 [17,63;18,70]
1592 [1515;1670]	6,51 [6,20;6,83]	6,46 [6,14;6,78]
151 [127;175]	0,62 [0,52;0,72]	0,61 [0,51;0,71]
406 [367;446]	1,66 [1,50;1,82]	1,65 [1,49;1,81]
258 [227;290]	1,05 [0,92;1,18]	1,05 [0,92;1,18]
654 [604;704]	2,68 [2,48;2,88]	2,66 [2,46;2,87]
10 [4;17]	0,04 [0,02;0,07]	0,04 [0,02;0,07]
114 [94;135]	0,46 [0,38;0,54]	0,46 [0,38;0,54]
26 [16;36]	0,11 [0,07;0,15]	0,11 [0,07;0,15]
459 [418;502]	1,88 [1,71;2,06]	1,86 [1,69;2,03]
371 [334;409]	1,52 [1,37;1,68]	1,51 [1,36;1,66]
19 [11;28]	0,08 [0,05;0,12]	0,08 [0,05;0,12]
68 [52;85]	0,28 [0,21;0,35]	0,28 [0,21;0,35]
1276 [1207;1347]	5,22 [4,94;5,51]	5,18 [4,90;5,47]
8 [3;14]	0,03 [0,01;0,05]	0,03 [0,01;0,05]
79 [62;97]	0,32 [0,25;0,39]	0,32 [0,25;0,39]
474 [432;517]	1,94 [1,77;2,12]	1,93 [1,75;2,11]
302 [268;337]	1,23 [1,09;1,37]	1,22 [1,08;1,36]
31 [21;42]	0,13 [0,09;0,18]	0,12 [0,08;0,16]
383 [345;422]	1,57 [1,41;1,73]	1,55 [1,40;1,71]
1064 [1001;1128]	4,35 [4,09;4,61]	4,32 [4,06;4,58]
142 [119;166]	0,58 [0,49;0,68]	0,58 [0,49;0,68]
124 [103;146]	0,51 [0,42;0,60]	0,5 [0,42;0,59]
164 [139;189]	0,67 [0,57;0,77]	0,67 [0,57;0,78]
418 [378;458]	1,71 [1,55;1,87]	1,7 [1,54;1,87]
215 [186;244]	0,88 [0,76;1,00]	0,87 [0,76;0,99]
46 [33;60]	0,19 [0,14;0,25]	0,19 [0,14;0,25]
19 [11;28]	0,08 [0,05;0,12]	0,08 [0,05;0,12]
27 [17;38]	0,11 [0,07;0,15]	0,11 [0,07;0,15]
10 [4;17]	0,04 [0,02;0,07]	0,04 [0,02;0,07]
5 [1;10]	0,02 [0,00;0,04]	0,02 [0,00;0,04]
5 [1;10]	0,02 [0,00;0,04]	0,02 [0,00;0,04]
182 [156;209]	0,74 [0,63;0,85]	0,74 [0,63;0,85]

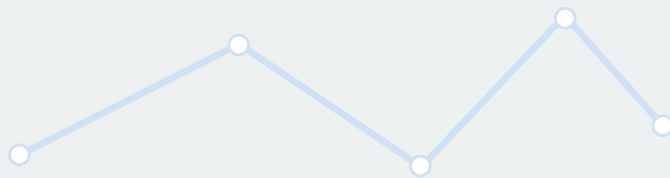


Tabla A12. Tendencias de la incidencia durante 2009-2018 en REDECAN y proyecciones de incidencia para 2026 en mujeres en España.

Tipo de neoplasia hematológica	Cifras observadas durante 2009-2018	
	N	PCA (%) [IC al 95%]
Todas	26292	-0,19 [-0,62;0,24]
Neoplasias linfoides	17834	0,25 [-0,27;0,77]
Neoplasias de células precursoras	573	1 [-1,91;3,9]
Leucemia/linfoma linfoblástica B	298	3,25 [-0,78;7,27]
Leucemia/linfoma linfoblástica T	62	6,67 [-2,22;15,55]
Leucemia/linfoma linfoblástica, SAI	213	-3,63 [-8,42;1,16]
Neoplasias de células B maduras	14017	0,15 [-0,43;0,74]
Leucemia linfocítica crónica/Linfoma linfocítico células peq.	2627	-4,33 [-5,7;-2,97]
Leucemia de células pilosas	71	-1,96 [-10,23;6,32]
Linfoma marginal	1223	2,98 [0,99;4,97]
Linfoma linfoplasmacítico / macroglobulinemia Waldenström	393	3,06 [-0,46;6,58]
Mieloma múltiple	3494	-0,53 [-1,71;0,65]
Linfoma folicular	2419	1,62 [0,2;3,03]
Linfoma de células del manto	275	-2,08 [-6,29;2,13]
Linfoma difuso de células B grandes	3364	2,36 [1,16;3,57]
Leucemia/linfoma de Burkitt	121	-3,44 [-9,79;2,91]
Otras neoplasias de células B especificadas	30	7,52 [-5,3;20,34]
Neoplasias de células T y NK maduras	1028	2,78 [0,6;4,95]
Micosis fungoides / Síndrome de Sézary	334	1,05 [-2,76;4,86]
Otros linfomas periféricos de células T y NK	694	3,62 [0,97;6,27]
Linfoma de Hodgkin	1461	1,25 [-0,56;3,07]
Con predominio linfocítico nodular	87	8,92 [1,38;16,46]
Clásico	1374	0,79 [-1,08;2,67]
Inespecíficas	755	-3,83 [-6,38;-1,28]
Neoplasias mieloides	8395	-1,17 [-1,93;-0,41]
Neoplasias mieloproliferativas	3277	-0,85 [-2,07;0,36]
Leucemia mioide crónica	499	-1,96 [-5,08;1,16]
Policitemia vera	634	-2,14 [-4,91;0,63]
Mielofibrosis primaria	204	5,9 [0,99;10,81]
Trombocitemia esencial	1748	-0,87 [-2,54;0,79]
Leucemia neutrofílica / eosinofílica crónica	22	16,28 [0,62;31,94]
Inespecíficas	170	-2,42 [-7,79;2,95]
Mastocitosis	44	-1,82 [-12,34;8,69]
Neoplasia mielodisplásica / mieloproliferativa	460	1,13 [-2,13;4,39]
Leucemia mielomonocítica crónica	365	2,3 [-1,36;5,96]
Leucemia mioide crónica atípica	25	-3,22 [-17,25;10,8]
Inespecíficas	70	-3,25 [-11,62;5,11]
Síndromes mielodisplásicos	2353	-2,63 [-4,08;-1,19]
Displasia unilínea	143	-17,92 [-24,27;-11,56]
Sideroblastos en anillo y displasia unilínea	180	-6,44 [-11,7;-1,19]
Displasia multilineal	503	1,94 [-1,17;5,05]
Exceso de blastos	380	1,8 [-1,78;5,39]
Asociado a delección (5q) aislada	130	0,6 [-5,52;6,72]
Inclasificables	1017	-4,01 [-6,21;-1,81]
Leucemia mioide aguda	2023	0,33 [-1,22;1,88]
Anormalidades citogenéticas recurrentes	308	2,11 [-1,85;6,07]
Displasia multilineal	226	-4,23 [-8,89;0,43]
Relacionada con el tratamiento	116	6,89 [0,36;13,41]
No clasificables	929	1,59 [-0,7;3,87]
Inespecífica	444	-2,76 [-6,08;0,56]
Leucemia aguda de linaje ambiguo	128	-7,16 [-13,4;-0,92]
Inespecífica	107	-8,25 [-15,11;-1,4]
Bifenotípica	21	-1,52 [-16,7;13,66]
Neoplasia mioide, inespecífica	110	-8,67 [-15,46;-1,89]
Leucemia mioide, inespecífica	32	-3,42 [-15,82;8,99]
Leucemia, inespecífica	78	-10,79 [-18,92;-2,66]
Histiocitosis	63	5,56 [-3,22;14,34]

IC: intervalo de confianza; N: número de casos; PCA: porcentaje de cambio anual; TAE: tasa ajustada por edad; TB: tasa bruta

*Tasas expresada como casos por 100,000 personas-año,

Cifras proyectadas para 2026*		
N [IC al 95%]	TB [IC al 95%]	TAE [IC al 95%]
12239 [12023;12455]	48,09 [47,24;48,94]	42,36 [41,61;43,11]
8756 [8574;8939]	34,4 [33,68;35,12]	30,3 [29,67;30,94]
280 [248;313]	1,1 [0,97;1,23]	0,97 [0,86;1,09]
168 [143;194]	0,66 [0,56;0,76]	0,58 [0,49;0,67]
53 [39;68]	0,21 [0,15;0,27]	0,18 [0,13;0,23]
60 [45;76]	0,24 [0,18;0,30]	0,21 [0,16;0,27]
6866 [6703;7030]	26,98 [26,34;27,62]	23,76 [23,20;24,32]
767 [714;822]	3,01 [2,80;3,23]	2,66 [2,47;2,85]
29 [19;40]	0,11 [0,07;0,15]	0,1 [0,07;0,14]
794 [739;850]	3,12 [2,90;3,34]	2,75 [2,56;2,94]
246 [216;277]	0,97 [0,85;1,09]	0,85 [0,75;0,96]
1561 [1484;1639]	6,13 [5,83;6,44]	5,4 [5,13;5,67]
1363 [1291;1436]	5,36 [5,08;5,65]	4,72 [4,47;4,97]
109 [89;130]	0,43 [0,35;0,51]	0,38 [0,31;0,45]
1929 [1844;2015]	7,58 [7,25;7,92]	6,67 [6,37;6,97]
42 [30;55]	0,17 [0,12;0,22]	0,15 [0,11;0,20]
26 [17;36]	0,1 [0,07;0,14]	0,09 [0,06;0,12]
654 [604;704]	2,57 [2,37;2,77]	2,26 [2,09;2,44]
174 [149;200]	0,68 [0,58;0,78]	0,6 [0,51;0,69]
481 [439;524]	1,89 [1,72;2,06]	1,66 [1,52;1,81]
738 [685;792]	2,9 [2,69;3,11]	2,55 [2,37;2,73]
92 [74;111]	0,36 [0,29;0,43]	0,32 [0,26;0,39]
646 [597;697]	2,54 [2,35;2,74]	2,24 [2,07;2,41]
217 [189;246]	0,85 [0,74;0,96]	0,75 [0,65;0,85]
3432 [3318;3547]	13,48 [13,03;13,93]	11,88 [11,49;12,28]
1389 [1316;1462]	5,46 [5,17;5,75]	4,81 [4,56;5,07]
167 [142;193]	0,66 [0,56;0,76]	0,58 [0,49;0,67]
230 [201;260]	0,9 [0,79;1,02]	0,8 [0,70;0,90]
173 [148;199]	0,68 [0,58;0,78]	0,6 [0,51;0,69]
720 [668;773]	2,83 [2,63;3,04]	2,49 [2,31;2,67]
46 [33;60]	0,18 [0,13;0,23]	0,16 [0,11;0,21]
53 [39;68]	0,21 [0,15;0,27]	0,18 [0,13;0,23]
17 [9;25]	0,07 [0,04;0,10]	0,06 [0,03;0,09]
237 [207;267]	0,93 [0,81;1,05]	0,82 [0,72;0,93]
200 [173;228]	0,79 [0,68;0,90]	0,69 [0,60;0,79]
10 [4;17]	0,04 [0,02;0,07]	0,03 [0,01;0,05]
27 [17;38]	0,11 [0,07;0,15]	0,09 [0,06;0,13]
789 [735;844]	3,1 [2,89;3,32]	2,73 [2,54;2,92]
7 [2;13]	0,03 [0,01;0,06]	0,02 [0,01;0,04]
37 [26;49]	0,15 [0,11;0,20]	0,13 [0,09;0,17]
260 [229;292]	1,02 [0,90;1,15]	0,9 [0,79;1,01]
184 [158;211]	0,72 [0,62;0,83]	0,64 [0,55;0,73]
54 [40;69]	0,21 [0,16;0,27]	0,19 [0,14;0,24]
245 [215;276]	0,96 [0,84;1,08]	0,85 [0,75;0,96]
954 [894;1015]	3,75 [3,51;3,99]	3,3 [3,09;3,51]
164 [139;189]	0,64 [0,54;0,74]	0,57 [0,48;0,66]
63 [48;79]	0,25 [0,19;0,31]	0,22 [0,17;0,28]
102 [83;122]	0,4 [0,33;0,48]	0,35 [0,28;0,42]
479 [437;522]	1,88 [1,72;2,05]	1,66 [1,51;1,81]
146 [123;170]	0,57 [0,48;0,66]	0,5 [0,42;0,58]
27 [17;38]	0,1 [0,06;0,14]	0,09 [0,06;0,13]
18 [10;27]	0,07 [0,04;0,11]	0,06 [0,03;0,09]
9 [4;15]	0,03 [0,01;0,05]	0,03 [0,01;0,05]
20 [12;29]	0,08 [0,05;0,12]	0,07 [0,04;0,10]
11 [5;18]	0,04 [0,02;0,07]	0,04 [0,02;0,07]
9 [4;15]	0,04 [0,02;0,07]	0,03 [0,01;0,05]
51 [37;65]	0,2 [0,15;0,25]	0,18 [0,13;0,23]

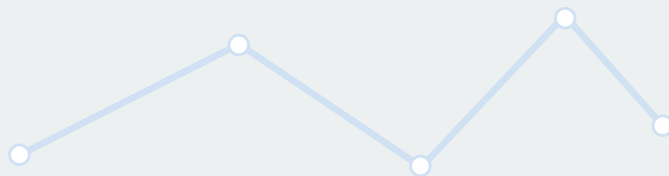


Tabla A13. Supervivencia observada y neta a 5 años del diagnóstico global y por grupo de edad de las neoplasias hematológicas en el conjunto

Tipo de neoplasia hematológica	<40 años SN 5-a [IC al 95%]	40-59 años SN 5-a [IC al 95%]
Todas	86,41 [85,42;87,40]	79,76 [78,93;80,59]
Neoplasias linfoides	87,99 [86,93;89,07]	81,60 [80,67;82,54]
Neoplasias de células precursoras	76,95 [73,91;80,10]	38,06 [31,57;45,87]
Leucemia/linfoma linfoblástica B	79,10 [74,79;83,66]	34,18 [25,38;46,03]
Leucemia/linfoma linfoblástica T	74,07 [67,28;81,55]	39,92 [26,43;60,29]
Leucemia/linfoma linfoblástica, SAI	75,76 [70,59;81,29]	41,95 [31,55;55,77]
Neoplasias de células B maduras	88,22 [86,40;90,08]	83,45 [82,42;84,48]
Leucemia linfocítica crónica/Linfoma linfocítico células peq.	96,27 [90,92;101,94]	92,91 [90,90;94,97]
Leucemia de células pilosas	100,19 [100,19;100,19]	98,23 [95,27;101,29]
Linfoma marginal	100,25 [100,25;100,25]	95,29 [93,17;97,46]
Linfoma linfoplasmácítico / macroglobulinemia Waldenström	-	89,12 [83,85;94,72]
Mieloma múltiple	85,88 [77,99;94,57]	70,43 [67,54;73,44]
Linfoma folicular	95,95 [93,38;98,59]	94,39 [93,00;95,80]
Linfoma de células del manto	-	78,96 [72,87;85,55]
Linfoma difuso de células B grandes	81,97 [78,64;85,44]	72,16 [69,74;74,66]
Leucemia/linfoma de Burkitt	86,28 [81,37;91,49]	52,38 [43,48;63,11]
Otras neoplasias de células B especificadas	-	-
Neoplasias de células T y NK maduras	80,43 [75,56;85,61]	75,49 [72,01;79,15]
Micosis fungoides / Síndrome de Sézary	97,78 [94,59;101,08]	92,04 [88,13;96,12]
Otros linfomas periféricos de células T y NK	71,15 [64,42;78,59]	66,09 [61,40;71,14]
Linfoma de Hodgkin	95,26 [94,13;96,41]	87,24 [84,78;89,76]
Con predominio linfocítico nodular	99,25 [97,38;101,15]	94,92 [89,30;100,89]
Clásico	94,94 [93,73;96,17]	86,40 [83,76;89,11]
Inespecíficas	73,40 [62,76;85,85]	59,34 [51,95;67,79]
Neoplasias mieloides	79,68 [77,21;82,24]	74,29 [72,52;76,09]
Neoplasias mieloproliferativas	96,54 [94,79;98,32]	94,50 [93,05;95,97]
Leucemia mioide crónica	95,15 [91,55;98,89]	91,51 [88,04;95,12]
Policitemia vera	94,23 [86,53;102,62]	95,24 [92,19;98,40]
Mielofibrosis primaria	-	75,39 [66,64;85,30]
Trombocitemia esencial	99,35 [98,19;100,53]	97,80 [96,24;99,39]
Leucemia neutrofílica / eosinofílica crónica	-	-
Inespecíficas	86,50 [73,56;101,72]	96,46 [90,34;103,00]
Mastocitosis	-	100,00 [100,00;100,00]
Neoplasia mielodisplásica / mieloproliferativa	-	48,39 [38,12;61,44]
Leucemia mielomonocítica crónica	-	47,00 [34,73;63,61]
Leucemia mioide crónica atípica	-	-
Inespecíficas	-	-
Síndromes mielodisplásicos	75,75 [64,71;88,69]	57,57 [52,11;63,59]
Displasia unilínea	-	-
Sideroblastos en anillo y displasia unilínea	-	73,37 [56,42;95,40]
Displasia multilineal	82,83 [68,96;99,48]	71,42 [62,20;82,01]
Exceso de blastos	-	30,20 [21,80;41,83]
Asociado a delección (5q) aislada	-	-
Inclasificables	-	60,32 [50,68;71,80]
Leucemia mioide aguda	64,59 [60,36;69,11]	48,92 [45,42;52,69]
Anormalidades citogenéticas recurrentes	85,47 [80,10;91,21]	78,18 [72,19;84,65]
Displasia multilineal	-	44,61 [32,55;61,14]
Relacionada con el tratamiento	-	26,02 [16,16;41,89]
No clasificables	57,11 [50,95;64,01]	40,58 [35,86;45,93]
Inespecífica	52,93 [41,55;67,44]	39,76 [31,18;50,69]
Leucemia aguda de linaje ambiguo	-	25,29 [12,52;51,08]
Inespecífica	-	-
Bifenotípica	-	-
Neoplasia mioide, inespecífica	-	-
Leucemia mioide, inespecífica	-	-
Leucemia, inespecífica	-	-
Histiocitosis	97,78 [94,47;101,20]	76,47 [62,08;94,20]

IC: intervalo de confianza; SN 5-a: supervivencia neta a 5 años; SO 5-a: supervivencia observada a 5 años

to de ambos sexos. REDECAN, 2009-2017.

60-74 años SN 5-a [IC al 95%]	>74 años SN 5-a [IC al 95%]	Todas las edades	
		SO 5-a [IC al 95%]	SN 5-a [IC al 95%]
68,58 [67,74;69,44]	43,47 [42,49;44,48]	55,75 [55,31;56,20]	63,04 [62,51;63,58]
73,84 [72,86;74,82]	48,31 [47,02;49,63]	61,33 [60,80;61,86]	68,62 [67,99;69,25]
28,13 [21,13;37,46]	10,63 [5,58;20,26]	58,28 [55,48;61,21]	59,03 [56,17;62,04]
26,63 [17,77;39,91]	13,95 [5,98;32,54]	59,36 [55,27;63,75]	60,21 [56,04;64,69]
-	-	61,10 [54,79;68,15]	61,61 [55,23;68,72]
32,00 [20,57;49,80]	7,19 [2,54;20,36]	55,53 [50,95;60,52]	56,25 [51,52;61,41]
75,81 [74,78;76,86]	50,78 [49,38;52,22]	60,59 [59,99;61,19]	68,91 [68,19;69,64]
91,30 [89,50;93,13]	69,62 [66,66;72,72]	68,17 [66,95;69,42]	81,71 [80,08;83,37]
89,52 [80,52;99,53]	75,70 [58,20;98,45]	85,23 [80,71;90,01]	91,73 [86,48;97,29]
90,34 [87,29;93,49]	69,96 [64,31;76,10]	76,41 [74,57;78,29]	86,07 [83,78;88,42]
86,99 [82,04;92,24]	55,53 [49,26;62,59]	61,65 [58,52;64,94]	72,24 [68,31;76,40]
58,33 [56,13;60,61]	32,08 [29,88;34,44]	42,86 [41,63;44,13]	49,11 [47,64;50,63]
90,47 [88,34;92,65]	67,20 [62,56;72,18]	79,94 [78,70;81,21]	87,34 [85,89;88,82]
68,00 [62,31;74,23]	37,57 [30,57;46,16]	54,34 [50,89;58,03]	60,53 [56,48;64,88]
64,41 [62,05;66,86]	40,26 [37,54;43,19]	53,20 [51,93;54,49]	59,38 [57,92;60,88]
29,94 [19,65;45,63]	14,09 [5,44;36,48]	61,37 [56,59;66,56]	62,51 [57,60;67,84]
64,66 [46,21;90,47]	-	56,25 [45,32;69,82]	59,14 [47,36;73,84]
68,56 [64,62;72,73]	49,99 [44,41;56,26]	61,59 [59,50;63,76]	67,59 [65,20;70,05]
91,60 [86,80;96,67]	67,05 [57,00;78,87]	79,82 [76,93;82,82]	87,18 [83,78;90,71]
53,97 [48,88;59,59]	41,27 [35,07;48,56]	51,48 [48,81;54,28]	56,51 [53,52;59,67]
69,47 [64,26;75,10]	36,97 [30,32;45,08]	81,91 [80,50;83,33]	84,13 [82,63;85,66]
87,02 [73,54;102,97]	-	90,45 [86,65;94,42]	92,74 [88,75;96,91]
67,70 [62,22;73,67]	37,06 [30,27;45,38]	81,19 [79,70;82,70]	83,41 [81,82;85,02]
51,23 [45,69;57,43]	24,05 [20,15;28,70]	32,15 [29,66;34,84]	37,80 [34,66;41,23]
56,04 [54,44;57,69]	36,36 [34,88;37,90]	43,67 [42,89;44,46]	51,01 [50,03;52,01]
87,00 [84,94;89,10]	70,08 [66,84;73,47]	72,06 [70,90;73,24]	83,28 [81,79;84,81]
83,31 [78,25;88,71]	41,12 [33,92;49,85]	69,71 [66,93;72,61]	75,81 [72,52;79,25]
93,10 [89,40;96,96]	85,32 [78,72;92,47]	76,98 [74,63;79,40]	90,69 [87,62;93,87]
55,56 [48,54;63,58]	33,42 [26,09;42,80]	45,39 [41,26;49,93]	51,33 [46,44;56,75]
94,52 [91,85;97,26]	82,89 [78,04;88,04]	78,49 [76,92;80,09]	91,56 [89,43;93,73]
-	-	68,89 [56,61;83,83]	74,60 [59,52;93,51]
66,17 [53,37;82,04]	48,43 [38,93;60,25]	50,38 [45,00;56,41]	61,46 [54,38;69,47]
78,70 [63,07;98,21]	-	84,00 [76,10;92,72]	86,58 [78,09;96,00]
42,28 [36,83;48,53]	28,48 [24,19;33,53]	27,39 [24,87;30,15]	34,46 [31,06;38,24]
43,08 [37,15;49,94]	28,84 [24,20;34,36]	26,92 [24,21;29,94]	34,28 [30,55;38,47]
23,01 [10,98;48,21]	22,42 [10,71;46,95]	28,99 [20,03;41,93]	32,61 [22,61;47,03]
50,44 [33,96;74,91]	24,74 [14,62;41,87]	30,28 [22,77;40,25]	36,20 [26,78;48,95]
46,91 [43,88;50,14]	31,66 [29,50;33,99]	29,69 [28,41;31,04]	37,72 [35,97;39,57]
58,09 [46,48;72,60]	43,00 [34,44;53,68]	39,78 [34,44;45,96]	49,07 [41,88;57,50]
73,51 [64,99;83,14]	60,71 [51,82;71,12]	53,09 [48,28;58,37]	65,92 [59,53;72,99]
52,62 [47,18;58,69]	38,68 [34,18;43,78]	38,15 [35,46;41,04]	46,29 [42,84;50,02]
21,12 [16,76;26,63]	10,00 [7,20;13,90]	14,12 [11,95;16,67]	16,42 [13,85;19,47]
43,69 [31,24;61,09]	40,37 [28,45;57,27]	35,29 [28,11;44,31]	43,40 [34,37;54,81]
51,89 [45,76;58,83]	28,40 [25,26;31,93]	24,74 [22,84;26,79]	34,05 [31,19;37,18]
19,26 [16,89;21,97]	3,91 [2,84;5,39]	24,79 [23,41;26,25]	25,80 [24,33;27,36]
49,14 [40,55;59,56]	17,09 [9,71;30,08]	63,21 [59,26;67,43]	65,22 [61,08;69,63]
6,97 [3,88;12,52]	1,35 [0,39;4,64]	9,47 [7,08;12,67]	9,93 [7,34;13,44]
14,50 [8,02;26,23]	8,51 [2,94;24,67]	14,04 [9,69;20,34]	15,28 [10,36;22,53]
18,02 [14,81;21,94]	3,42 [2,09;5,60]	22,33 [20,42;24,41]	23,21 [21,19;25,41]
14,51 [10,15;20,73]	2,65 [1,35;5,22]	14,00 [11,70;16,74]	14,78 [12,29;17,78]
2,43 [0,51;11,46]	1,05 [0,21;5,15]	6,86 [4,14;11,38]	7,08 [4,26;11,75]
0,01 [0,00;0,15]	1,15 [0,23;5,63]	1,92 [0,63;5,90]	2,10 [0,73;6,09]
-	-	22,92 [13,64;38,50]	23,14 [13,90;38,53]
22,54 [12,31;41,28]	12,73 [7,58;21,39]	15,54 [11,19;21,60]	18,52 [13,18;26,03]
-	19,98 [8,93;44,71]	23,33 [14,75;36,91]	27,43 [16,83;44,69]
-	9,80 [5,14;18,69]	12,03 [7,60;19,05]	14,02 [8,86;22,17]
60,01 [42,78;84,18]	-	80,77 [74,61;87,44]	82,93 [76,47;89,93]

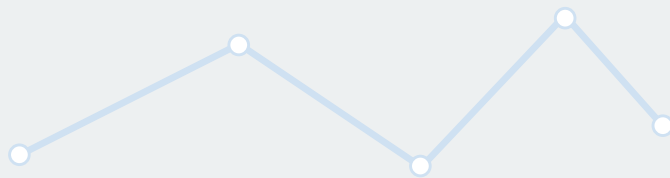


Tabla A14. Supervivencia observada y neta a 5 años del diagnóstico global y por grupo de edad de las neoplasias hematológicas en hombres

Tipo de neoplasia hematológica	<40 años SN 5-a [IC al 95%]	40-59 años SN 5-a [IC al 95%]
Todas	84,51 [83,13;85,90]	77,44 [76,33;78,58]
Neoplasias linfoides	86,27 [84,80;87,76]	79,12 [77,87;80,38]
Neoplasias de células precursoras	75,78 [71,89;79,89]	35,11 [26,83;45,95]
Leucemia/linfoma linfoblástica B	77,41 [71,53;83,77]	28,56 [17,59;46,37]
Leucemia/linfoma linfoblástica T	73,24 [65,48;81,92]	46,04 [29,59;71,63]
Leucemia/linfoma linfoblástica, SAI	75,67 [69,12;82,84]	35,42 [23,11;54,30]
Neoplasias de células B maduras	86,97 [84,55;89,45]	81,31 [79,93;82,71]
Leucemia linfocítica crónica/Linfoma linfocítico células peq.	92,93 [83,69;103,19]	91,59 [88,87;94,40]
Leucemia de células pilosas	-	98,59 [95,83;101,43]
Linfoma marginal	100,00 [100,00;100,00]	93,79 [90,59;97,10]
Linfoma linfoplasmácítico / macroglobulinemia Waldenström	-	87,35 [80,27;95,05]
Mieloma múltiple	87,22 [77,21;98,54]	68,87 [65,09;72,87]
Linfoma folicular	93,93 [90,04;97,99]	92,31 [90,22;94,45]
Linfoma de células del manto	-	80,74 [74,21;87,85]
Linfoma difuso de células B grandes	80,75 [76,30;85,47]	70,20 [67,11;73,44]
Leucemia/linfoma de Burkitt	84,44 [78,50;90,82]	52,80 [42,67;65,34]
Otras neoplasias de células B especificadas	-	-
Neoplasias de células T y NK maduras	79,30 [72,92;86,23]	70,30 [65,59;75,34]
Micosis fungoides / Síndrome de Sézary	98,01 [94,01;102,18]	91,02 [85,66;96,71]
Otros linfomas periféricos de células T y NK	70,09 [61,53;79,84]	59,52 [53,45;66,27]
Linfoma de Hodgkin	93,99 [92,27;95,74]	85,15 [81,94;88,49]
Con predominio linfocítico nodular	98,61 [95,85;101,45]	94,41 [87,71;101,62]
Clásico	93,50 [91,64;95,41]	83,98 [80,50;87,62]
Inespecíficas	66,71 [53,22;83,61]	51,46 [42,76;61,93]
Neoplasias mieloides	75,74 [72,08;79,59]	72,00 [69,57;74,52]
Neoplasias mieloproliferativas	95,43 [92,56;98,39]	92,61 [90,46;94,81]
Leucemia mioide crónica	94,10 [89,05;99,42]	90,51 [85,88;95,38]
Policitemia vera	95,25 [86,36;105,07]	93,22 [88,89;97,77]
Mielofibrosis primaria	-	68,97 [57,14;83,25]
Trombocitemia esencial	99,00 [96,77;101,29]	96,55 [94,04;99,14]
Leucemia neutrofílica / eosinofílica crónica	-	-
Inespecíficas	-	-
Mastocitosis	-	100,00 [100,00;100,00]
Neoplasia mielodisplásica / mieloproliferativa	-	38,79 [26,84;56,05]
Leucemia mielomonocítica crónica	-	42,33 [27,80;64,47]
Leucemia mioide crónica atípica	-	-
Inespecíficas	-	-
Síndromes mielodisplásicos	71,64 [56,96;90,11]	53,75 [46,76;61,80]
Displasia unilínaje	-	-
Sideroblastos en anillo y displasia unilínaje	-	-
Displasia multilínaje	-	63,30 [50,71;79,03]
Exceso de blastos	-	26,35 [16,64;41,73]
Asociado a delección (5q) aislada	-	-
Inclasificables	-	60,63 [48,66;75,55]
Leucemia mioide aguda	60,56 [54,84;66,87]	47,00 [42,25;52,29]
Anormalidades citogenéticas recurrentes	82,03 [74,20;90,68]	77,49 [69,21;86,77]
Displasia multilínaje	-	32,66 [18,89;56,49]
Relacionada con el tratamiento	-	-
No clasificables	52,88 [44,81;62,40]	40,22 [34,04;47,52]
Inespecífica	47,17 [33,33;66,74]	32,81 [22,59;47,66]
Leucemia aguda de linaje ambiguo	-	-
Inespecífica	-	-
Bifenotípica	-	-
Neoplasia mioide, inespecífica	-	-
Leucemia mioide, inespecífica	-	-
Leucemia, inespecífica	-	-
Histiocitosis	98,08 [94,39;101,93]	-

IC: intervalo de confianza; SN 5-a: supervivencia neta a 5 años; SO 5-a: supervivencia observada a 5 años

REDECAN, 2009-2017.

60-74 años SN 5-a [IC al 95%]	>74 años SN 5-a [IC al 95%]	Todas las edades	
		SO 5-a [IC al 95%]	SN 5-a [IC al 95%]
63,98 [62,85;65,14]	38,45 [37,14;39,80]	53,51 [52,92;54,11]	59,87 [59,16;60,60]
70,22 [68,90;71,57]	44,58 [42,81;46,41]	59,92 [59,21;60,64]	66,46 [65,62;67,31]
33,30 [22,84;48,54]	11,90 [5,47;25,88]	60,13 [56,49;64,01]	60,83 [57,12;64,78]
35,07 [20,98;58,64]	-	60,91 [55,29;67,10]	61,52 [55,82;67,80]
-	-	63,07 [55,84;71,25]	63,62 [56,32;71,87]
-	12,44 [4,71;32,81]	57,38 [51,42;64,04]	58,11 [52,03;64,89]
71,82 [70,41;73,26]	46,26 [44,34;48,27]	58,82 [58,01;59,63]	66,28 [65,31;67,26]
87,16 [84,72;89,67]	63,23 [59,32;67,40]	65,58 [63,95;67,25]	77,64 [75,52;79,83]
92,69 [83,48;102,93]	65,15 [45,30;93,70]	86,75 [81,74;92,06]	91,83 [86,19;97,85]
86,50 [82,13;91,09]	65,36 [57,44;74,37]	74,38 [71,77;77,08]	83,29 [80,06;86,66]
79,11 [72,45;86,38]	49,34 [41,80;58,25]	56,18 [52,22;60,45]	66,19 [61,22;71,56]
54,57 [51,62;57,68]	28,58 [25,66;31,84]	41,20 [39,54;42,93]	46,82 [44,85;48,87]
86,22 [82,95;89,62]	62,07 [55,02;70,03]	78,44 [76,63;80,29]	84,92 [82,84;87,06]
64,90 [58,33;72,21]	28,13 [20,22;39,14]	54,98 [50,88;59,42]	59,85 [55,16;64,95]
59,21 [55,99;62,61]	36,34 [32,49;40,65]	52,06 [50,34;53,84]	57,46 [55,49;59,50]
30,37 [18,36;50,23]	14,26 [4,69;43,31]	61,75 [56,18;67,87]	62,85 [57,17;69,11]
-	-	65,79 [52,31;82,74]	69,11 [54,63;87,43]
68,00 [62,99;73,41]	47,59 [40,51;55,91]	59,73 [57,00;62,60]	65,37 [62,29;68,60]
91,20 [85,31;97,50]	59,70 [47,58;74,90]	77,98 [74,19;81,97]	85,00 [80,54;89,71]
50,79 [44,22;58,35]	40,69 [32,63;50,75]	49,08 [45,62;52,80]	53,71 [49,88;57,85]
65,36 [58,91;72,51]	36,76 [27,68;48,81]	80,82 [78,92;82,77]	82,86 [80,86;84,91]
-	-	89,93 [85,23;94,90]	91,70 [86,83;96,83]
64,00 [57,26;71,52]	37,63 [28,27;50,10]	79,89 [77,87;81,98]	81,94 [79,80;84,14]
44,34 [37,12;52,96]	23,92 [18,44;31,01]	31,67 [28,26;35,49]	36,70 [32,51;41,42]
49,73 [47,68;51,86]	29,94 [28,08;31,93]	39,56 [38,53;40,61]	45,57 [44,29;46,89]
78,75 [75,72;81,91]	56,54 [52,10;61,36]	66,93 [65,24;68,66]	75,78 [73,66;77,96]
76,43 [69,49;84,07]	32,08 [23,78;43,27]	66,14 [62,44;70,06]	71,37 [67,02;76,00]
88,95 [83,79;94,44]	78,33 [69,38;88,44]	75,11 [71,90;78,47]	86,69 [82,66;90,91]
49,23 [41,14;58,90]	25,68 [17,99;36,67]	38,93 [34,04;44,53]	43,73 [38,01;50,32]
86,26 [81,72;91,06]	66,07 [58,59;74,50]	73,24 [70,71;75,86]	83,26 [79,91;86,75]
-	-	73,08 [57,87;92,28]	77,56 [59,52;101,06]
56,30 [41,09;77,13]	44,76 [32,79;61,11]	47,83 [40,58;56,38]	57,03 [47,73;68,14]
-	-	87,18 [77,29;98,33]	89,84 [78,87;102,34]
40,70 [34,48;48,05]	23,93 [18,96;30,20]	25,11 [22,14;28,48]	31,00 [27,00;35,59]
40,71 [34,03;48,70]	24,42 [19,11;31,21]	24,68 [21,52;28,32]	30,92 [26,59;35,96]
-	-	23,91 [14,28;40,04]	25,98 [15,63;43,17]
-	21,23 [9,58;47,03]	30,91 [20,82;45,89]	35,03 [23,15;53,01]
42,34 [38,68;46,34]	27,65 [24,95;30,63]	27,09 [25,48;28,81]	33,96 [31,78;36,28]
52,36 [37,93;72,28]	38,21 [27,80;52,52]	37,11 [30,31;45,43]	44,98 [36,14;55,97]
71,01 [60,07;83,95]	54,62 [43,07;69,27]	49,84 [43,64;56,92]	61,69 [53,35;71,34]
47,35 [40,98;54,70]	34,64 [29,34;40,90]	33,62 [30,43;37,14]	41,19 [37,07;45,77]
17,66 [12,98;24,02]	8,48 [5,40;13,32]	12,06 [9,60;15,15]	13,91 [11,02;17,55]
-	-	28,12 [16,16;48,94]	33,32 [19,31;57,50]
49,60 [42,13;58,38]	24,09 [20,18;28,75]	23,67 [21,20;26,42]	31,34 [27,73;35,41]
17,05 [14,16;20,54]	3,92 [2,57;5,99]	23,34 [21,53;25,31]	24,30 [22,37;26,39]
44,89 [33,82;59,58]	19,40 [10,12;37,20]	61,06 [55,63;67,02]	63,02 [57,36;69,23]
6,41 [3,04;13,49]	1,22 [0,26;5,62]	7,82 [5,08;12,03]	8,21 [5,34;12,64]
14,98 [6,93;32,39]	6,12 [1,24;30,19]	10,53 [5,47;20,27]	11,94 [6,06;23,51]
15,66 [11,84;20,70]	2,87 [1,42;5,79]	21,22 [18,75;24,02]	22,00 [19,40;24,95]
14,02 [8,66;22,69]	3,19 [1,40;7,26]	13,42 [10,44;17,24]	14,27 [11,06;18,41]
0,08 [0,01;0,94]	0,01 [0,00;0,12]	4,08 [1,56;10,66]	4,13 [1,66;10,25]
0,01 [0,00;0,13]	0,16 [0,01;1,89]	1,47 [0,21;10,29]	1,51 [0,32;7,20]
-	-	10,00 [3,42;29,26]	10,06 [3,72;27,17]
-	18,93 [10,66;33,60]	18,00 [11,85;27,35]	22,08 [14,36;33,94]
-	21,54 [7,94;58,41]	23,53 [12,84;43,13]	27,52 [14,46;52,38]
-	17,17 [8,85;33,31]	15,15 [8,56;26,82]	18,54 [10,65;32,26]
-	-	85,54 [78,57;93,13]	87,52 [80,28;95,41]

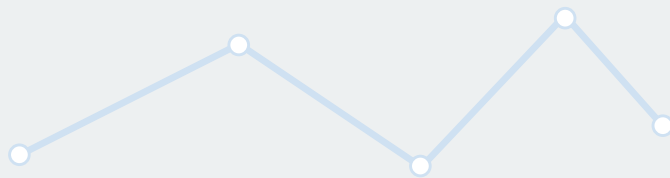


Tabla A15. Supervivencia observada y neta a 5 años del diagnóstico global y por grupo de edad de las neoplasias hematológicas en mujeres.

Tipo de neoplasia hematológica	<40 años SN 5-a [IC al 95%]	40-59 años SN 5-a [IC al 95%]
Todas	88,86 [87,49;90,26]	83,01 [81,80;84,24]
Neoplasias linfoides	90,37 [88,87;91,88]	85,29 [83,94;86,67]
Neoplasias de células precursoras	78,79 [74,09;83,78]	41,51 [32,15;53,60]
Leucemia/linfoma linfoblástica B	81,18 [75,04;87,82]	39,15 [27,18;56,40]
Leucemia/linfoma linfoblástica T	76,63 [63,79;92,04]	-
Leucemia/linfoma linfoblástica, SAI	75,84 [67,79;84,83]	50,43 [35,17;72,32]
Neoplasias de células B maduras	90,16 [87,47;92,94]	86,53 [85,04;88,04]
Leucemia linfocítica crónica/Linfoma linfocítico células peq.	100,00 [100,00;100,00]	94,91 [92,06;97,85]
Leucemia de células pilosas	-	95,88 [87,72;104,80]
Linfoma marginal	100,30 [100,30;100,30]	96,72 [94,01;99,51]
Linfoma linfoplasmácítico / macroglobulinemia Waldenström	-	91,46 [84,08;99,49]
Mieloma múltiple	84,14 [72,30;97,91]	72,65 [68,28;77,32]
Linfoma folicular	99,01 [96,88;101,19]	96,55 [94,82;98,31]
Linfoma de células del manto	-	71,09 [56,99;88,67]
Linfoma difuso de células B grandes	83,63 [78,74;88,82]	75,36 [71,59;79,32]
Leucemia/linfoma de Burkitt	91,60 [83,87;100,04]	50,90 [35,06;73,89]
Otras neoplasias de células B especificadas	-	-
Neoplasias de células T y NK maduras	81,97 [74,72;89,92]	83,07 [78,25;88,19]
Micosis fungoides / Síndrome de Sézary	97,47 [92,44;102,78]	93,24 [87,73;99,10]
Otros linfomas periféricos de células T y NK	72,68 [62,43;84,62]	76,49 [69,73;83,90]
Linfoma de Hodgkin	96,69 [95,28;98,12]	90,81 [87,23;94,53]
Con predominio linfocítico nodular	100,23 [100,23;100,23]	-
Clásico	96,50 [95,02;98,00]	90,42 [86,66;94,35]
Inespecíficas	85,04 [70,81;102,14]	77,13 [65,74;90,51]
Neoplasias mieloides	83,67 [80,45;87,03]	77,05 [74,52;79,66]
Neoplasias mieloproliferativas	97,47 [95,37;99,61]	96,70 [94,87;98,58]
Leucemia mioide crónica	96,65 [91,94;101,60]	92,18 [87,14;97,51]
Policitemia vera	-	97,76 [94,05;101,61]
Mielofibrosis primaria	-	83,41 [71,91;96,75]
Trombocitemia esencial	99,47 [98,17;100,78]	98,88 [97,05;100,75]
Leucemia neutrofílica / eosinofílica crónica	-	-
Inespecíficas	-	93,33 [83,66;104,11]
Mastocitosis	-	-
Neoplasia mielodisplásica / mieloproliferativa	-	63,28 [47,88;83,65]
Leucemia mielomonocítica crónica	-	-
Leucemia mioide crónica atípica	-	-
Inespecíficas	-	-
Síndromes mielodisplásicos	81,21 [66,34;99,40]	62,87 [54,72;72,23]
Displasia unilínea	-	-
Sideroblastos en anillo y displasia unilínea	-	-
Displasia multilineal	-	80,99 [69,18;94,80]
Exceso de blastos	-	35,57 [22,85;55,37]
Asociado a delección (5q) aislada	-	-
Inclasificables	-	59,35 [44,85;78,55]
Leucemia mioide aguda	69,52 [63,51;76,09]	50,96 [45,97;56,48]
Anormalidades citogenéticas recurrentes	89,28 [82,45;96,67]	78,60 [70,33;87,84]
Displasia multilineal	-	57,39 [40,48;81,37]
Relacionada con el tratamiento	-	27,42 [16,41;45,83]
No clasificables	62,48 [53,59;72,84]	41,03 [34,15;49,30]
Inespecífica	61,25 [44,61;84,11]	48,17 [35,54;65,29]
Leucemia aguda de linaje ambiguo	-	-
Inespecífica	-	-
Bifenotípica	-	-
Neoplasia mioide, inespecífica	-	-
Leucemia mioide, inespecífica	-	-
Leucemia, inespecífica	-	-
Histiocitosis	97,07 [90,94;103,61]	-

IC: intervalo de confianza; SN 5-a: supervivencia neta a 5 años; SO 5-a: supervivencia observada a 5 años

REDECAN, 2009-2017.

60-74 años SN 5-a [IC al 95%]	>74 años SN 5-a [IC al 95%]	Todas las edades	
		SO 5-a [IC al 95%]	SN 5-a [IC al 95%]
74,86 [73,61;76,13]	48,85 [47,40;50,33]	58,54 [57,88;59,20]	66,99 [66,19;67,81]
78,58 [77,16;80,02]	52,07 [50,23;53,98]	63,08 [62,30;63,87]	71,30 [70,36;72,25]
23,80 [15,57;36,38]	8,64 [3,15;23,70]	55,78 [51,54;60,38]	56,59 [52,21;61,35]
20,73 [11,40;37,70]	16,46 [6,40;42,33]	57,74 [51,96;64,16]	58,81 [52,89;65,39]
-	-	55,56 [43,76;70,52]	55,73 [43,99;70,61]
28,48 [15,61;51,96]	0,43 [0,04;4,90]	53,07 [46,24;60,91]	53,64 [46,51;61,87]
81,00 [79,51;82,52]	55,38 [53,37;57,46]	62,77 [61,89;63,66]	72,14 [71,06;73,24]
97,96 [95,51;100,47]	77,29 [72,90;81,95]	71,84 [70,00;73,72]	87,36 [84,86;89,92]
-	-	80,87 [71,31;91,71]	91,20 [79,54;104,57]
94,56 [90,53;98,77]	74,17 [66,48;82,76]	78,62 [76,06;81,26]	89,06 [85,88;92,36]
101,55 [96,14;107,27]	66,09 [55,90;78,13]	71,14 [66,36;76,26]	82,69 [76,66;89,21]
62,88 [59,66;66,27]	35,52 [32,34;39,00]	44,77 [42,97;46,65]	51,75 [49,57;54,02]
94,38 [91,69;97,14]	70,55 [64,61;77,04]	81,42 [79,72;83,15]	89,61 [87,60;91,67]
76,96 [66,56;88,99]	48,82 [37,76;63,11]	52,86 [46,75;59,77]	62,01 [54,45;70,62]
70,46 [67,09;74,00]	43,56 [39,85;47,63]	54,50 [52,66;56,41]	61,58 [59,42;63,82]
26,96 [13,16;55,24]	-	60,40 [51,57;70,73]	61,58 [52,49;72,25]
-	-	42,31 [27,01;66,28]	44,30 [28,25;69,47]
68,93 [62,82;75,62]	52,73 [44,36;62,68]	64,28 [61,08;67,65]	70,56 [66,90;74,43]
90,34 [82,55;98,86]	78,51 [62,80;98,16]	82,71 [78,38;87,28]	90,30 [85,26;95,64]
57,75 [50,20;66,43]	41,78 [32,91;53,05]	54,79 [50,75;59,16]	59,97 [55,38;64,94]
75,45 [67,27;84,62]	36,59 [27,81;48,13]	83,33 [81,27;85,44]	85,78 [83,54;88,08]
-	-	91,55 [85,30;98,25]	94,04 [87,37;101,21]
72,93 [64,24;82,80]	36,03 [27,16;47,79]	82,82 [80,68;85,03]	85,22 [82,88;87,61]
58,56 [50,68;67,67]	24,03 [18,91;30,54]	32,65 [29,14;36,57]	38,85 [34,31;43,98]
65,52 [63,05;68,09]	43,74 [41,46;46,15]	48,78 [47,61;49,98]	57,75 [56,26;59,29]
97,17 [94,73;99,67]	82,44 [77,97;87,17]	77,54 [75,99;79,12]	91,28 [89,22;93,39]
92,96 [86,45;99,96]	52,59 [41,34;66,88]	74,85 [70,78;79,15]	82,14 [77,32;87,26]
98,46 [93,58;103,60]	92,17 [82,87;102,52]	79,32 [75,96;82,84]	95,66 [91,02;100,55]
70,76 [58,64;85,39]	48,42 [34,84;67,31]	57,71 [50,84;65,52]	65,65 [57,32;75,19]
101,81 [99,08;104,62]	93,93 [87,90;100,37]	82,62 [80,69;84,60]	98,02 [95,36;100,75]
-	-	63,16 [44,80;89,04]	70,87 [48,34;103,91]
-	49,83 [36,81;67,47]	53,19 [45,56;62,10]	65,41 [55,37;77,27]
-	-	80,56 [68,61;94,58]	81,89 [69,75;96,15]
46,50 [36,42;59,37]	35,99 [28,79;44,99]	31,75 [27,38;36,80]	41,08 [35,17;47,99]
49,89 [38,67;64,36]	36,83 [28,90;46,93]	31,56 [26,72;37,27]	41,26 [34,65;49,13]
-	-	39,13 [23,50;65,14]	44,72 [27,32;73,21]
-	27,73 [14,21;54,09]	29,63 [19,64;44,69]	36,98 [24,13;56,68]
55,27 [50,21;60,83]	36,91 [33,48;40,68]	33,42 [31,37;35,61]	43,13 [40,28;46,18]
66,28 [49,57;88,64]	48,29 [35,63;65,44]	43,33 [35,32;53,17]	53,98 [43,02;67,73]
76,49 [64,05;91,35]	68,05 [55,53;83,39]	57,59 [50,38;65,84]	71,77 [62,45;82,48]
64,54 [55,15;75,52]	46,19 [38,53;55,38]	46,77 [42,13;51,91]	56,00 [50,13;62,54]
29,09 [20,70;40,88]	12,21 [7,62;19,56]	17,76 [13,95;22,62]	20,88 [16,31;26,74]
48,86 [34,54;69,12]	41,94 [28,32;62,11]	37,50 [29,26;48,06]	46,57 [36,10;60,08]
55,20 [45,45;67,03]	33,30 [28,52;38,88]	26,07 [23,23;29,25]	37,45 [33,03;42,46]
22,29 [18,54;26,80]	3,71 [2,30;6,00]	26,51 [24,44;28,74]	27,57 [25,36;29,97]
53,12 [41,10;68,66]	13,46 [5,01;36,16]	65,61 [60,01;71,73]	67,62 [61,76;74,04]
8,08 [3,34;19,55]	1,42 [0,30;6,88]	11,58 [7,82;17,15]	12,08 [7,95;18,34]
14,03 [5,93;33,19]	11,40 [3,42;37,96]	16,84 [10,77;26,33]	17,99 [11,39;28,40]
21,37 [16,26;28,08]	3,96 [2,02;7,75]	23,70 [20,84;26,96]	24,70 [21,67;28,16]
14,85 [8,84;24,93]	2,07 [0,71;6,04]	14,67 [11,36;18,95]	15,26 [11,69;19,93]
-	1,70 [0,35;8,32]	9,43 [5,23;17,02]	9,73 [5,37;17,63]
-	1,77 [0,36;8,65]	2,27 [0,58;8,94]	2,62 [0,74;9,21]
-	-	44,44 [26,52;74,50]	44,88 [27,18;74,11]
-	5,91 [2,12;16,46]	12,90 [7,61;21,88]	14,31 [8,38;24,42]
-	-	23,08 [11,44;46,55]	25,22 [12,54;50,73]
-	2,69 [0,57;12,69]	8,96 [4,17;19,22]	9,70 [4,55;20,69]
-	-	73,21 [62,49;85,78]	75,36 [64,11;88,57]

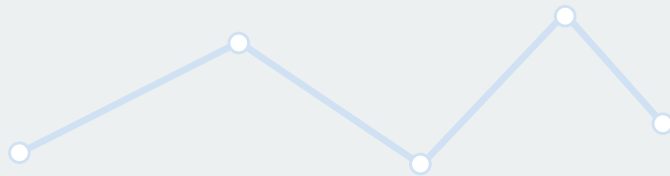


Tabla A16. Tendencia de la supervivencia neta a 5 años del diagnóstico entre los periodos 2009-2013 y 2014-2017 de las neoplasias hematológicas en el conjunto de ambos sexos. REDECAN.

Tipo de neoplasia hematológica	2009-2013 SN 5-a [IC al 95%]	2014-2017 SN 5-a [IC al 95%]	2014-2017 vs 2009-2013 Diferencia en la SN 5-a (%)
Todas	62,12 [61,42;62,83]	64,36 [63,53;65,20]	2,24*
Neoplasias linfoides	67,16 [66,34;67,99]	70,68 [69,72;71,66]	3,52*
Neoplasias de células precursoras	56,84 [53,07;60,88]	61,89 [57,61;66,49]	5,05
Leucemia/linfoma linfoblástica B	57,41 [51,55;63,93]	62,90 [57,16;69,22]	5,49
Leucemia/linfoma linfoblástica T	58,28 [49,70;68,35]	65,37 [56,44;75,71]	7,09
Leucemia/linfoma linfoblástica, SAI	55,65 [50,00;61,94]	57,36 [49,26;66,80]	1,71
Neoplasias de células B maduras	67,55 [66,60;68,51]	70,82 [69,71;71,95]	3,27*
Leucemia linfocítica crónica/Linfoma linfocítico células peq.	79,87 [77,79;82,01]	84,60 [82,02;87,27]	4,73*
Leucemia de células pilosas	91,88 [85,47;98,78]	90,94 [82,33;100,46]	-0,94
Linfoma marginal	85,75 [82,81;88,80]	86,34 [82,78;90,06]	0,59
Linfoma linfoplasmacítico / macroglobulinemia Waldenström	71,35 [66,10;77,01]	73,21 [67,45;79,47]	1,86
Mieloma múltiple	46,36 [44,47;48,34]	53,06 [50,76;55,45]	6,7*
Linfoma folicular	86,78 [84,85;88,76]	88,08 [85,88;90,33]	1,3
Linfoma de células del manto	59,34 [53,98;65,22]	61,79 [55,84;68,38]	2,45
Linfoma difuso de células B grandes	58,56 [56,63;60,55]	60,46 [58,24;62,76]	1,9
Leucemia/linfoma de Burkitt	60,16 [53,60;67,52]	65,27 [58,20;73,21]	5,11
Otras neoplasias de células B especificadas	64,20 [49,29;83,63]	52,80 [36,58;76,21]	-11,4
Neoplasias de células T y NK maduras	66,39 [63,32;69,60]	69,20 [65,50;73,10]	2,81
Micosis fungoides / Síndrome de Sézary	87,30 [83,02;91,80]	86,73 [81,30;92,53]	-0,57
Otros linfomas periféricos de células T y NK	54,31 [50,47;58,45]	59,70 [55,09;64,70]	5,39
Linfoma de Hodgkin	82,53 [80,53;84,57]	86,32 [84,09;88,62]	3,79
Con predominio linfocítico nodular	94,08 [89,00;99,45]	90,47 [84,36;97,02]	-3,61
Clásico	81,63 [79,53;83,79]	85,87 [83,50;88,31]	4,24
Inespecíficas	36,78 [32,94;41,06]	39,33 [34,18;45,25]	2,55
Neoplasias mieloides	51,40 [50,13;52,71]	50,44 [48,92;52,01]	-0,96
Neoplasias mieloproliferativas	82,98 [81,03;84,97]	83,73 [81,41;86,11]	0,75
Leucemia mioide crónica	75,79 [71,75;80,06]	75,84 [70,35;81,75]	0,05
Policitemia vera	91,60 [87,65;95,72]	88,95 [84,17;94,00]	-2,65
Mielofibrosis primaria	46,83 [40,50;54,17]	56,91 [49,69;65,18]	10,08
Trombocitemia esencial	91,79 [89,00;94,67]	91,14 [87,91;94,49]	-0,65
Leucemia neutrofílica / eosinofílica crónica	73,37 [54,85;98,13]	75,03 [54,59;103,10]	1,66
Inespecíficas	54,84 [45,91;65,50]	68,94 [58,39;81,40]	14,1
Mastocitosis	90,24 [81,19;100,30]	79,66 [65,08;97,50]	-10,58
Neoplasia mielodisplásica / mieloproliferativa	35,95 [31,45;41,09]	32,53 [27,60;38,34]	-3,42
Leucemia mielomonocítica crónica	36,68 [31,71;42,43]	31,30 [25,99;37,70]	-5,38
Leucemia mioide crónica atípica	39,38 [25,92;59,84]	22,11 [11,10;44,03]	-17,27
Inespecíficas	26,40 [16,35;42,62]	50,99 [36,07;72,08]	24,59
Síndromes mielodisplásicos	40,09 [37,79;42,53]	34,19 [31,55;37,06]	-5,9
Displasia unilínea	46,12 [38,04;55,90]	58,29 [44,82;75,81]	12,17
Sideroblastos en anillo y displasia unilínea	66,53 [58,39;75,80]	64,83 [55,15;76,21]	-1,7
Displasia multilinea	48,67 [44,04;53,80]	43,28 [38,31;48,88]	-5,39
Exceso de blastos	16,20 [12,88;20,36]	16,73 [12,98;21,55]	0,53
Asociado a delección (5q) aislada	46,91 [35,06;62,77]	38,34 [26,25;55,98]	-8,57
Inclasificables	37,96 [34,24;42,09]	28,05 [23,86;32,97]	-9,91
Leucemia mioide aguda	24,90 [23,02;26,93]	27,07 [24,77;29,59]	2,17
Anormalidades citogenéticas recurrentes	61,53 [56,16;67,42]	69,82 [63,66;76,58]	8,29
Displasia multilinea	9,01 [5,88;13,80]	11,15 [7,35;16,92]	2,14
Relacionada con el tratamiento	13,61 [7,53;24,58]	16,96 [10,40;27,66]	3,35
No clasificables	22,74 [20,18;25,62]	23,85 [20,74;27,42]	1,11
Inespecífica	15,40 [12,27;19,32]	13,64 [9,95;18,69]	-1,76
Leucemia aguda de linaje ambiguo	7,42 [3,96;13,91]	6,44 [2,85;14,56]	-0,98
Inespecífica	3,36 [1,16;9,70]	0,01 [0,00;0,10]	-3,35
Bifenotípica	22,32 [11,35;43,90]	24,23 [11,67;50,32]	1,91
Neoplasia mioide, inespecífica	16,53 [10,72;25,50]	21,85 [12,85;37,18]	5,32
Leucemia mioide, inespecífica	29,82 [17,36;51,23]	20,86 [7,83;55,53]	-8,96
Leucemia, inespecífica	10,11 [5,24;19,50]	22,23 [12,22;40,45]	12,12
Histiocitosis	78,95 [68,75;90,65]	85,62 [77,66;94,40]	6,67

IC: intervalo de confianza; SN 5-a: supervivencia neta a 5 años

* Estadísticamente significativo al 95%

Tabla A17. Tendencia de la supervivencia neta a 5 años del diagnóstico entre los periodos 2009-2013 y 2014-2017 de las neoplasias hematológicas en hombres. REDECAN.

Tipo de neoplasia hematológica	2009-2013 SN 5-a [IC al 95%]	2014-2017 SN 5-a [IC al 95%]	2014-2017 vs 2009-2013 Diferencia en la SN 5-a (%)
Todas	58,78 [57,85;59,73]	61,41 [60,31;62,53]	2,63*
Neoplasias linfoides	64,86 [63,77;65,98]	68,71 [67,43;70,02]	3,85*
Neoplasias de células precursoras	58,02 [53,21;63,27]	64,77 [59,19;70,89]	6,75
Leucemia/linfoma linfoblástica B	55,91 [47,90;65,26]	66,87 [59,23;75,49]	10,96
Leucemia/linfoma linfoblástica T	56,31 [46,75;67,82]	73,59 [63,53;85,25]	17,28
Leucemia/linfoma linfoblástica, SAI	60,41 [53,31;68,46]	52,61 [41,95;65,97]	-7,8
Neoplasias de células B maduras	64,86 [63,59;66,16]	68,24 [66,76;69,76]	3,38*
Leucemia linfocítica crónica/Linfoma linfocítico células peq.	77,12 [74,40;79,93]	78,45 [75,07;81,97]	1,33
Leucemia de células pilosas	91,69 [84,72;99,23]	91,64 [82,49;101,79]	-0,05
Linfoma marginal	81,66 [77,57;85,96]	85,44 [80,33;90,88]	3,78
Linfoma linfoplasmacítico / macroglobulinemia Waldenström	64,80 [58,21;72,14]	67,21 [60,01;75,27]	2,41
Mieloma múltiple	42,74 [40,22;45,41]	52,52 [49,47;55,76]	9,78*
Linfoma folicular	84,39 [81,60;87,28]	85,61 [82,53;88,81]	1,22
Linfoma de células del manto	58,29 [51,94;65,42]	61,52 [54,84;69,01]	3,23
Linfoma difuso de células B grandes	56,48 [53,89;59,19]	58,70 [55,72;61,84]	2,22
Leucemia/linfoma de Burkitt	62,65 [55,06;71,28]	62,71 [54,56;72,07]	0,06
Otras neoplasias de células B especificadas	81,96 [64,95;103,41]	55,61 [36,19;85,45]	-26,35
Neoplasias de células T y NK maduras	63,84 [59,92;68,01]	67,66 [62,83;72,86]	3,82
Micosis fungoides / Síndrome de Sézary	85,43 [79,82;91,43]	84,08 [76,99;91,83]	-1,35
Otros linfomas periféricos de células T y NK	50,90 [46,08;56,24]	58,15 [52,12;64,89]	7,25
Linfoma de Hodgkin	80,52 [77,83;83,30]	86,09 [83,18;89,11]	5,57
Con predominio linfocítico nodular	93,21 [87,28;99,55]	88,12 [80,46;96,50]	-5,09
Clásico	79,27 [76,40;82,26]	85,69 [82,58;88,91]	6,42*
Inespecíficas	34,96 [29,86;40,94]	38,46 [31,87;46,42]	3,5
Neoplasias mieloides	45,70 [44,03;47,43]	45,38 [43,42;47,43]	-0,32
Neoplasias mieloproliferativas	74,91 [72,15;77,78]	76,95 [73,72;80,33]	2,04
Leucemia mieloide crónica	71,15 [65,87;76,86]	71,39 [64,09;79,53]	0,24
Policitemia vera	87,35 [82,12;92,91]	85,04 [78,95;91,61]	-2,31
Mielofibrosis primaria	39,88 [32,82;48,46]	49,42 [40,56;60,21]	9,54
Trombocitemia esencial	83,72 [79,29;88,40]	82,60 [77,61;87,91]	-1,12
Leucemia neutrofílica / eosinofílica crónica	76,94 [56,77;104,28]	77,92 [50,82;119,45]	0,98
Inespecíficas	42,09 [30,13;58,81]	69,93 [57,70;84,76]	27,84
Mastocitosis	90,28 [78,20;104,23]	86,60 [69,70;107,59]	-3,68
Neoplasia mielodisplásica / mieloproliferativa	33,24 [27,91;39,59]	28,13 [22,51;35,15]	-5,11
Leucemia mielomonocítica crónica	34,17 [28,32;41,24]	26,87 [20,94;34,49]	-7,3
Leucemia mieloide crónica atípica	27,90 [15,00;51,91]	22,91 [10,12;51,85]	-4,99
Inespecíficas	26,99 [14,38;50,66]	47,87 [29,43;77,86]	20,88
Síndromes mielodisplásicos	36,32 [33,44;39,44]	30,54 [27,34;34,11]	-5,78
Displasia unilinjaje	41,17 [31,41;53,97]	55,32 [39,26;77,96]	14,15
Sideroblastos en anillo y displasia unilinjaje	63,19 [52,44;76,15]	58,69 [46,72;73,72]	-4,5
Displasia multilinjaje	43,65 [38,07;50,06]	38,12 [32,36;44,91]	-5,53
Exceso de blastos	14,12 [10,42;19,15]	13,59 [9,51;19,40]	-0,53
Asociado a delección (5q) aislada	29,15 [13,16;64,56]	36,78 [18,43;73,39]	7,63
Inclasificables	35,40 [30,67;40,85]	25,19 [20,10;31,57]	-10,21
Leucemia mieloide aguda	22,04 [19,64;24,74]	27,41 [24,36;30,84]	5,37
Anormalidades citogenéticas recurrentes	54,24 [46,92;62,69]	74,43 [66,52;83,29]	20,19*
Displasia multilinjaje	8,15 [4,55;14,60]	8,23 [4,43;15,31]	0,08
Relacionada con el tratamiento	6,53 [1,77;24,10]	16,35 [8,12;32,88]	9,82
No clasificables	20,50 [17,29;24,32]	24,05 [19,99;28,94]	3,55
Inespecífica	13,19 [9,43;18,46]	15,70 [10,68;23,07]	2,51
Leucemia aguda de linaje ambiguo	5,06 [1,83;14,00]	2,68 [0,56;12,76]	-2,38
Inespecífica	2,34 [0,50;11,04]	0,00 [0,00;0,02]	-2,34
Bifenotípica	12,57 [4,02;39,34]	7,27 [1,61;32,79]	-5,3
Neoplasia mieloide, inespecífica	20,40 [12,02;34,61]	24,95 [12,43;50,07]	4,55
Leucemia mieloide, inespecífica	32,00 [16,63;61,56]	14,89 [3,12;71,13]	-17,11
Leucemia, inespecífica	13,28 [6,00;29,37]	28,82 [14,27;58,19]	15,54
Histiocitosis	81,05 [68,81;95,48]	91,67 [83,38;100,79]	10,62

IC: intervalo de confianza; SN 5-a: supervivencia neta a 5 años

* Estadísticamente significativo al 95%

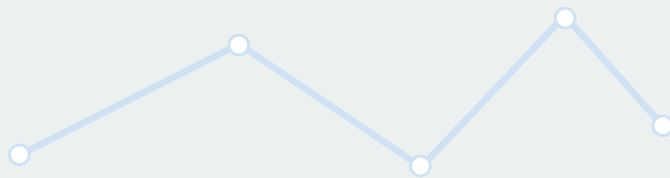


Tabla A18. Tendencia de la supervivencia neta a 5 años del diagnóstico entre los periodos 2009-2013 y 2014-2017 de las neoplasias hematológicas en mujeres. REDECAN.

Tipo de neoplasia hematológica	2009-2013 SN 5-a [IC al 95%]	2014-2017 SN 5-a [IC al 95%]	2014-2017 vs 2009-2013 Diferencia en la SN 5-a (%)
Todas	66,23 [65,19;67,30]	68,08 [66,82;69,35]	1,85
Neoplasias linfoides	70,01 [68,78;71,26]	73,13 [71,68;74,61]	3,12*
Neoplasias de células precursoras	55,07 [49,22;61,61]	58,32 [51,96;65,44]	3,25
Leucemia/linfoma linfoblástica B	58,90 [50,75;68,35]	58,66 [50,48;68,17]	-0,24
Leucemia/linfoma linfoblástica T	65,46 [48,88;87,65]	48,49 [33,96;69,25]	-16,97
Leucemia/linfoma linfoblástica, SAI	48,67 [40,08;59,11]	62,27 [50,91;76,16]	13,6
Neoplasias de células B maduras	70,82 [69,41;72,26]	74,00 [72,34;75,70]	3,18*
Leucemia linfocítica crónica/Linfoma linfocítico células peq.	83,58 [80,39;86,90]	93,32 [89,44;97,38]	9,74*
Leucemia de células pilosas	87,52 [74,16;103,27]	88,91 [70,74;111,75]	1,39
Linfoma marginal	90,35 [86,21;94,69]	87,25 [82,41;92,38]	-3,1
Linfoma linfoplasmacítico / macroglobulinemia Waldenström	82,54 [74,53;91,41]	82,80 [73,98;92,68]	0,26
Mieloma múltiple	50,46 [47,65;53,42]	53,63 [50,24;57,26]	3,17
Linfoma folicular	89,01 [86,37;91,72]	90,32 [87,24;93,51]	1,31
Linfoma de células del manto	61,40 [52,05;72,43]	62,26 [50,62;76,58]	0,86
Linfoma difuso de células B grandes	60,87 [58,03;63,86]	62,45 [59,19;65,88]	1,58
Leucemia/linfoma de Burkitt	53,59 [41,94;68,47]	71,59 [58,88;87,04]	18
Otras neoplasias de células B especificadas	40,77 [22,54;73,73]	48,01 [25,47;90,49]	7,24
Neoplasias de células T y NK maduras	69,84 [65,09;74,94]	71,11 [65,53;77,15]	1,27
Micosis fungoides / Síndrome de Sézary	89,81 [83,54;96,54]	90,44 [82,36;99,30]	0,63
Otros linfomas periféricos de células T y NK	59,03 [53,02;65,73]	61,11 [54,31;68,76]	2,08
Linfoma de Hodgkin	85,13 [82,21;88,16]	86,38 [82,96;89,93]	1,25
Con predominio linfocítico nodular	94,86 [85,70;104,98]	92,93 [83,68;103,22]	-1,93
Clásico	84,55 [81,52;87,69]	85,85 [82,26;89,60]	1,3
Inespecíficas	38,06 [32,65;44,37]	40,25 [32,68;49,56]	2,19
Neoplasias mieloides	58,31 [56,39;60,30]	56,93 [54,58;59,37]	-1,38
Neoplasias mieloproliferativas	91,46 [88,81;94,19]	91,02 [87,78;94,37]	-0,44
Leucemia mioide crónica	82,22 [76,24;88,67]	81,69 [73,88;90,31]	-0,53
Policitemia vera	96,26 [90,43;102,46]	94,12 [86,71;102,17]	-2,14
Mielofibrosis primaria	63,38 [51,66;77,76]	67,73 [56,64;80,99]	4,35
Trombocitemia esencial	97,86 [94,39;101,46]	98,10 [94,04;102,35]	0,24
Leucemia neutrofílica / eosinofílica crónica	63,94 [33,08;123,58]	73,86 [47,62;114,55]	9,92
Inespecíficas	65,40 [53,84;79,44]	64,44 [47,82;86,83]	-0,96
Mastocitosis	88,93 [76,57;103,28]	67,31 [45,72;99,09]	-21,62
Neoplasia mielodisplásica / mieloproliferativa	41,22 [33,60;50,57]	40,09 [31,62;50,84]	-1,13
Leucemia mielomonocítica crónica	42,01 [33,51;52,67]	39,52 [30,13;51,84]	-2,49
Leucemia mioide crónica atípica	61,52 [37,88;99,92]	20,82 [6,97;62,22]	-40,7
Inespecíficas	26,12 [13,12;52,03]	53,09 [33,06;85,26]	26,97
Síndromes mielodisplásicos	45,27 [41,62;49,25]	39,65 [35,29;44,55]	-5,62
Displasia unilínea	52,14 [39,86;68,21]	60,10 [40,54;89,12]	7,96
Sideroblastos en anillo y displasia unilínea	70,51 [59,06;84,18]	73,35 [58,86;91,41]	2,84
Displasia multilinea	57,56 [49,93;66,36]	53,75 [45,13;64,01]	-3,81
Exceso de blastos	19,36 [13,74;27,30]	22,40 [15,80;31,76]	3,04
Asociado a delección (5q) aislada	52,01 [38,32;70,59]	38,53 [24,85;59,74]	-13,48
Inclasificables	41,08 [35,42;47,64]	31,28 [24,86;39,36]	-9,8
Leucemia mioide aguda	28,17 [25,34;31,32]	26,66 [23,30;30,50]	-1,51
Anormalidades citogenéticas recurrentes	69,70 [62,34;77,94]	64,21 [55,19;74,71]	-5,49
Displasia multilinea	9,91 [5,45;18,04]	15,64 [9,08;26,96]	5,73
Relacionada con el tratamiento	18,50 [10,08;33,96]	17,45 [9,04;33,69]	-1,05
No clasificables	25,46 [21,56;30,06]	23,61 [19,11;29,17]	-1,85
Inespecífica	17,56 [12,95;23,81]	10,93 [6,43;18,57]	-6,63
Leucemia aguda de linaje ambiguo	9,66 [4,51;20,69]	9,94 [4,11;24,03]	0,28
Inespecífica	4,30 [1,22;15,09]	0,03 [0,00;0,36]	-4,27
Bifenotípica	36,48 [17,66;75,37]	58,17 [31,99;105,77]	21,69
Neoplasia mioide, inespecífica	12,07 [5,96;24,47]	18,53 [8,65;39,68]	6,46
Leucemia mioide, inespecífica	26,10 [11,13;61,20]	23,18 [8,15;65,92]	-2,92
Leucemia, inespecífica	7,33 [2,62;20,55]	15,66 [5,90;41,59]	8,33
Histiocitosis	76,29 [60,60;96,04]	74,05 [59,31;92,45]	-2,24

IC: intervalo de confianza; SN 5-a: supervivencia neta a 5 años

* Estadísticamente significativo al 95%

Tabla A19. Cifras descriptivas de la incidencia de las neoplasias hematológicas infantiles en el conjunto de ambos sexos, y por sexo. REDECAN, 2009-2018.

Sexo	Tipo de neoplasia hematológica	0-4 años N	5-9 años N	10-14 años N	0-14 años		
					Edad al diagnóstico ¹	N	N anual ²
Total	Todas	1258	961	859	6,44±4,26	3078	308
	Leucemias	1054	619	446	5,62±4,09	2119	212
	Leucemias linfoides	831	503	301	5,52±3,82	1635	164
	Leucemias mieloides	157	80	98	5,93±4,90	335	34
	Otras leucemias	66	36	47	6,01±4,83	149	15
	Linfomas	204	342	413	8,26±4,08	959	96
	Linfomas de Hodgkin	8	85	220	10,79±2,85	313	31
	Linfomas no Hodgkin (excepto Burkitt)	63	112	110	8,07±3,90	285	28
	Linfoma de Burkitt	60	114	66	7,26±3,36	240	24
Otros linfomas	73	31	17	4,16±4,16	121	12	
Niñas	Todas	532	345	354	6,29±4,39	1231	123
	Leucemias	473	255	191	5,46±4,09	919	92
	Leucemias linfoides	371	202	126	5,32±3,79	699	70
	Leucemias mieloides	71	38	43	5,82±4,95	152	15
	Otras leucemias	31	15	22	6,09±4,87	68	7
	Linfomas	59	90	163	8,73±4,32	312	31
	Linfomas de Hodgkin	1	23	112	11,51±2,49	136	14
	Linfomas no Hodgkin (excepto Burkitt)	24	34	30	7,45±3,89	88	9
	Linfoma de Burkitt	3	21	18	8,50±3,16	42	4
Otros linfomas	31	12	3	3,17±3,68	46	5	
Niños	Todas	726	616	505	6,55±4,18	1847	185
	Leucemias	581	364	255	5,75±4,09	1200	120
	Leucemias linfoides	460	301	175	5,68±3,84	936	94
	Leucemias mieloides	86	42	55	6,02±4,88	183	18
	Otras leucemias	35	21	25	5,95±4,82	81	8
	Linfomas	145	252	250	8,03±3,94	647	65
	Linfomas de Hodgkin	7	62	108	10,23±2,99	177	18
	Linfomas no Hodgkin (excepto Burkitt)	39	78	80	8,34±3,88	197	20
	Linfoma de Burkitt	57	93	48	6,99±3,35	198	20
Otros linfomas	42	19	14	4,76±4,35	75	8	

N: número de casos

¹Media ± desviación estándar

²Media de casos anuales

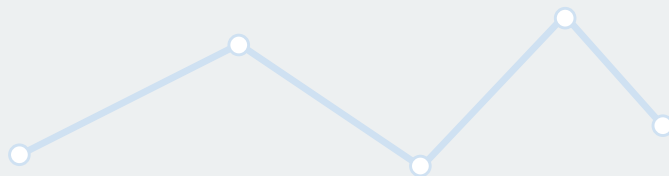


Tabla A20. Tasas de incidencia de las neoplasias hematológicas infantiles en el conjunto de ambos sexos, y por sexo. REDECAN, 2009-2018.

Sexo	Tipo de neoplasia hematológica	0-4 años TEE [IC al 95%] ¹	5-9 años TEE [IC al 95%] ¹
Total	Todas	85,42 [80,76;90,27]	63,23 [59,29;67,35]
	Leucemias	71,56 [67,31;76,02]	40,73 [37,58;44,06]
	Leucemias linfoides	56,42 [52,65;60,39]	33,09 [30,26;36,12]
	Leucemias mieloides	10,66 [9,06;12,46]	5,26 [4,17;6,55]
	Otras leucemias	4,48 [3,47;5,70]	2,37 [1,66;3,28]
	Linfomas	13,85 [12,02;15,89]	22,50 [20,18;25,02]
	Linfomas de Hodgkin	0,54 [0,23;1,07]	5,59 [4,47;6,92]
	Linfomas no Hodgkin (excepto Burkitt)	4,28 [3,29;5,47]	7,37 [6,07;8,87]
	Linfoma de Burkitt	4,07 [3,11;5,24]	7,50 [6,19;9,01]
Otros linfomas	4,96 [3,88;6,23]	2,04 [1,39;2,90]	
Niñas	Todas	74,58 [68,38;81,20]	46,83 [42,01;52,04]
	Leucemias	66,31 [60,47;72,56]	34,61 [30,49;39,13]
	Leucemias linfoides	52,01 [46,85;57,58]	27,42 [23,77;31,47]
	Leucemias mieloides	9,95 [7,77;12,55]	5,16 [3,65;7,08]
	Otras leucemias	4,35 [2,95;6,17]	2,04 [1,14;3,36]
	Linfomas	8,27 [6,30;10,67]	12,22 [9,82;15,01]
	Linfomas de Hodgkin	0,14 [0,00;0,78]	3,12 [1,98;4,68]
	Linfomas no Hodgkin (excepto Burkitt)	3,36 [2,16;5,01]	4,61 [3,20;6,45]
	Linfoma de Burkitt	0,42 [0,09;1,23]	2,85 [1,76;4,36]
Otros linfomas	4,35 [2,95;6,17]	1,63 [0,84;2,85]	
Niños	Todas	95,59 [88,77;102,81]	78,66 [72,57;85,12]
	Leucemias	76,50 [70,41;82,98]	46,48 [41,83;51,51]
	Leucemias linfoides	60,57 [55,16;66,37]	38,44 [34,22;43,03]
	Leucemias mieloides	11,32 [9,06;13,98]	5,36 [3,86;7,25]
	Otras leucemias	4,61 [3,21;6,41]	2,68 [1,66;4,10]
	Linfomas	19,09 [16,11;22,47]	32,18 [28,33;36,41]
	Linfomas de Hodgkin	0,92 [0,37;1,90]	7,92 [6,07;10,15]
	Linfomas no Hodgkin (excepto Burkitt)	5,14 [3,65;7,02]	9,96 [7,87;12,43]
	Linfoma de Burkitt	7,51 [5,68;9,72]	11,88 [9,58;14,55]
Otros linfomas	5,53 [3,99;7,48]	2,43 [1,46;3,79]	

IC: intervalo de confianza; TAE: tasa ajustada por edad por la población estándar europea de 2013; TB: tasa bruta; TEE: tasa específica por edad
¹Tasas expresadas como casos por 1.000.000 personas-año

10-14 años TEE [IC al 95%] ¹	0-14 años	
	TB [IC al 95%] ¹	TAE [IC al 95%] ¹
60,52 [56,54;64,70]	69,76 [67,32;72,27]	69,23 [66,80;71,72]
31,42 [28,57;34,48]	48,03 [46,00;50,12]	47,16 [45,17;49,22]
21,20 [18,88;23,74]	37,06 [35,28;38,90]	36,30 [34,56;38,10]
6,90 [5,60;8,41]	7,59 [6,80;8,45]	7,51 [6,73;8,36]
3,31 [2,43;4,40]	3,38 [2,86;3,96]	3,35 [2,84;3,94]
29,10 [26,36;32,04]	21,74 [20,38;23,16]	22,06 [20,69;23,51]
15,50 [13,52;17,69]	7,09 [6,33;7,93]	7,42 [6,62;8,29]
7,75 [6,37;9,34]	6,46 [5,73;7,25]	6,53 [5,80;7,34]
4,65 [3,60;5,92]	5,44 [4,77;6,17]	5,45 [4,78;6,19]
1,20 [0,70;1,92]	2,74 [2,28;3,28]	2,66 [2,21;3,18]
51,36 [46,15;57,00]	57,54 [54,37;60,85]	57,06 [53,91;60,34]
27,71 [23,92;31,93]	42,96 [40,22;45,83]	42,14 [39,46;44,96]
18,28 [15,23;21,76]	32,67 [30,30;35,19]	31,96 [29,63;34,42]
6,24 [4,51;8,40]	7,10 [6,02;8,33]	7,03 [5,95;8,24]
3,19 [2,00;4,83]	3,18 [2,47;4,03]	3,16 [2,45;4,00]
23,65 [20,16;27,57]	14,58 [13,01;16,29]	14,91 [13,30;16,66]
16,25 [13,38;19,55]	6,36 [5,33;7,52]	6,70 [5,62;7,93]
4,35 [2,94;6,21]	4,11 [3,30;5,07]	4,13 [3,31;5,09]
2,61 [1,55;4,13]	1,96 [1,41;2,65]	2,01 [1,45;2,72]
0,44 [0,09;1,27]	2,15 [1,57;2,87]	2,07 [1,51;2,76]
69,16 [63,26;75,46]	81,27 [77,60;85,06]	80,69 [77,04;84,46]
34,92 [30,77;39,48]	52,80 [49,85;55,87]	51,89 [48,99;54,91]
23,97 [20,55;27,79]	41,18 [38,59;43,91]	40,38 [37,83;43,05]
7,53 [5,67;9,80]	8,05 [6,93;9,31]	7,97 [6,86;9,22]
3,42 [2,22;5,05]	3,56 [2,83;4,43]	3,54 [2,81;4,40]
34,24 [30,12;38,76]	28,47 [26,32;30,75]	28,80 [26,62;31,11]
14,79 [12,13;17,86]	7,79 [6,68;9,02]	8,09 [6,94;9,38]
10,96 [8,69;13,64]	8,67 [7,50;9,97]	8,79 [7,61;10,11]
6,57 [4,85;8,72]	8,71 [7,54;10,01]	8,69 [7,52;9,99]
1,92 [1,05;3,22]	3,30 [2,60;4,14]	3,22 [2,53;4,04]

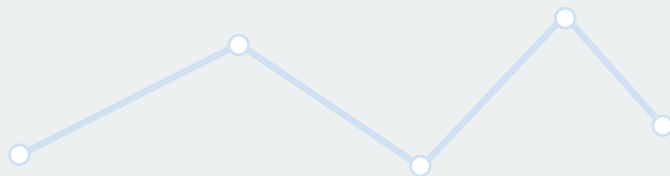


Tabla A21. Tendencia de la incidencia durante 2009-2018 (REDECAN) y proyecciones de incidencia para 2026 en España para las neoplasias

Sexo	Tipo de neoplasia hematológica	Cifras observadas durante 2009-2018	
		N	PCA (%) [IC al 95%]
Total	Todas	3078	0,33 [-0,91, 1,57]
	Leucemias	2119	-0,04 [-1,54, 1,46]
	Leucemias linfoides	1635	-0,33 [-2,04, 1,37]
	Leucemias mieloides	335	0,28 [-3,48, 4,04]
	Otras leucemias	149	2,43 [-3,22, 8,07]
	Linfomas	959	1,15 [-1,07, 3,38]
	Linfomas de Hodgkin	313	0,79 [-3,09, 4,68]
	Linfomas no Hodgkin (excepto Burkitt)	285	-3,19 [-7,28, 0,9]
	Linfoma de Burkitt	240	2,21 [-2,25, 6,66]
Otros linfomas	121	11 [4,62, 17,38]	
Niñas	Todas	1231	0,28 [-1,69, 2,24]
	Leucemias	919	-0,16 [-2,44, 2,11]
	Leucemias linfoides	699	-0,39 [-2,99, 2,22]
	Leucemias mieloides	152	0,18 [-5,41, 5,76]
	Otras leucemias	68	1,37 [-6,98, 9,72]
	Linfomas	312	1,58 [-2,32, 5,48]
	Linfomas de Hodgkin	136	2,32 [-3,58, 8,22]
	Linfomas no Hodgkin (excepto Burkitt)	88	-1,54 [-8,89, 5,81]
	Linfoma de Burkitt	42	-1,58 [-12,21, 9,05]
Otros linfomas	46	8,64 [-1,62, 18,9]	
Niños	Todas	1847	0,36 [-1,25, 1,96]
	Leucemias	1200	0,05 [-1,94, 2,04]
	Leucemias linfoides	936	-0,29 [-2,55, 1,96]
	Leucemias mieloides	183	0,37 [-4,72, 5,46]
	Otras leucemias	81	3,32 [-4,34, 10,99]
	Linfomas	647	0,93 [-1,78, 3,64]
	Linfomas de Hodgkin	177	-0,38 [-5,55, 4,79]
	Linfomas no Hodgkin (excepto Burkitt)	197	-3,93 [-8,86, 0,99]
	Linfoma de Burkitt	198	3,02 [-1,89, 7,93]
Otros linfomas	75	12,5 [4,33, 20,66]	

IC: intervalo de confianza; PCA: porcentaje de cambio anual; TAE: tasa ajustada por edad por la población estándar europea de 2013; TB: tasa bruta

* La suma de los casos proyectados por sexo no se corresponde con los totales dado que se han modelizado por separado en base a los datos disponibles (2)

¹ Tasas expresadas como casos por 1.000.000 personas-año.

infantiles (0-14 años) en el conjunto de ambos sexos, y por sexo.

Cifras proyectadas para 2026*		
N [IC al 95%]	TB [IC al 95%] [†]	TAE [IC al 95%] [†]
447 [406, 489]	71,4 [64,85, 78,11]	73,31 [66,59, 80,20]
285 [252, 319]	45,52 [40,25, 50,95]	46,73 [41,48, 52,14]
210 [182, 239]	33,56 [29,09, 38,19]	34,45 [29,86, 39,21]
48 [35, 62]	7,57 [5,52, 9,78]	7,78 [5,67, 10,05]
28 [18, 39]	4,39 [2,82, 6,11]	4,51 [2,90, 6,28]
162 [138, 187]	25,88 [22,05, 29,87]	26,57 [22,47, 30,67]
52 [38, 67]	8,26 [6,04, 10,64]	8,48 [6,20, 10,76]
28 [18, 39]	4,42 [2,84, 6,16]	4,54 [2,92, 6,32]
39 [27, 52]	6,29 [4,35, 8,39]	6,46 [4,47, 8,61]
43 [31, 56]	6,91 [4,98, 9,00]	7,09 [5,11, 9,23]
176 [150, 202]	57,88 [49,33, 66,43]	59,8 [50,97, 68,97]
120 [99, 142]	39,59 [32,66, 46,85]	40,9 [33,74, 48,40]
88 [70, 107]	28,95 [23,03, 35,20]	29,9 [23,78, 36,36]
21 [13, 30]	6,91 [4,28, 9,87]	7,14 [4,42, 10,20]
11 [5, 18]	3,73 [1,70, 6,10]	3,86 [1,75, 6,32]
56 [42, 71]	18,29 [13,72, 23,19]	18,9 [14,17, 23,96]
27 [17, 38]	8,95 [5,64, 12,60]	9,24 [5,82, 13,00]
10 [4, 17]	3,17 [1,27, 5,39]	3,28 [1,31, 5,58]
5 [1, 10]	1,61 [0,32, 3,22]	1,66 [0,33, 3,32]
14 [7, 22]	4,56 [2,28, 7,17]	4,71 [2,36, 7,40]
271 [239, 304]	84,1 [74,17, 94,34]	86 [75,85, 96,47]
165 [140, 191]	51,08 [43,34, 59,13]	52,23 [44,32, 60,46]
122 [101, 144]	37,83 [31,32, 44,65]	38,69 [32,03, 45,67]
26 [16, 36]	8,21 [5,05, 11,37]	8,4 [5,49, 11,63]
16 [9, 24]	5,03 [2,83, 7,54]	5,14 [2,89, 7,71]
107 [87, 128]	33,02 [26,85, 39,50]	33,77 [27,46, 40,40]
25 [16, 35]	7,77 [4,97, 10,88]	7,94 [5,08, 11,12]
18 [10, 27]	5,53 [3,07, 8,30]	5,66 [3,14, 8,49]
34 [23, 46]	10,6 [7,17, 14,34]	10,84 [7,33, 14,67]
29 [19, 40]	9,12 [5,98, 12,58]	9,32 [6,11, 12,86]

(2009-2018).

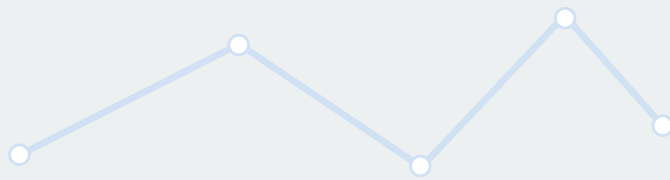


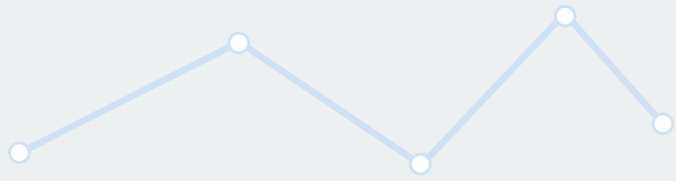
Tabla A22. Supervivencia y tendencia de la supervivencia de las neoplasias infantiles global y por grupo de edad en el conjunto de ambos sexos

Sexo	Tipo de neoplasia hematológica	0-4 años SO 5-a [IC al 95%]	5-9 años SO 5-a [IC al 95%]	10-14 años SO 5-a [IC al 95%]
Total	Todas	88,03 [86,18;89,91]	89,88 [87,92;91,88]	84,15 [81,64;86,74]
	Leucemias	86,69 [84,58;88,85]	85,80 [82,97;88,73]	76,02 [71,98;80,27]
	Leucemias linfoides	90,15 [88,07;92,28]	88,64 [85,78;91,60]	78,19 [73,50;83,19]
	Leucemias mieloides	72,55 [65,65;80,18]	70,94 [61,40;81,96]	64,81 [55,56;75,61]
	Otras leucemias	76,41 [66,32;88,03]	80,00 [66,89;95,67]	85,37 [75,20;96,90]
	Linfomas	94,80 [91,72;97,99]	96,93 [95,08;98,82]	92,89 [90,34;95,51]
	Linfomas de Hodgkin	100,00 [100,00;100,00]	98,72 [96,25;100,00]	96,59 [94,14;99,10]
	Linfomas no Hodgkin (excepto Burkitt)	88,38 [80,65;96,86]	93,58 [89,09;98,30]	83,49 [76,42;91,22]
	Linfoma de Burkitt	94,74 [89,11;100,00]	98,20 [95,75;100,00]	93,65 [87,82;99,87]
	Otros linfomas	100,00 [100,00;100,00]	100,00 [100,00;100,00]	100,00 [100,00;100,00]
Niñas	Todas	86,23 [83,24;89,32]	89,18 [85,86;92,63]	85,46 [81,74;89,35]
	Leucemias	85,15 [81,89;88,55]	87,37 [83,24;91,70]	76,94 [70,99;83,39]
	Leucemias linfoides	88,70 [85,42;92,10]	89,91 [85,71;94,32]	79,66 [72,72;87,27]
	Leucemias mieloides	71,88 [61,66;83,78]	77,84 [65,40;92,64]	62,40 [49,03;79,41]
	Otras leucemias	72,10 [57,40;90,57]	76,92 [57,11;100,00]	90,00 [77,77;100,00]
	Linfomas	94,64 [88,93;100,00]	94,19 [89,37;99,26]	95,40 [92,13;98,79]
	Linfomas de Hodgkin	100,00 [100,00;100,00]	95,24 [86,55;100,00]	99,05 [97,21;100,00]
	Linfomas no Hodgkin (excepto Burkitt)	86,36 [73,15;100,00]	90,91 [81,61;100,00]	78,57 [64,75;95,34]
	Linfoma de Burkitt	100,00 [100,00;100,00]	95,00 [85,91;100,00]	100,00 [100,00;100,00]
	Otros linfomas	100,00 [100,00;100,00]	100,00 [100,00;100,00]	100,00 [100,00;100,00]
Niños	Todas	89,34 [87,04;91,70]	90,27 [87,86;92,75]	83,21 [79,86;86,70]
	Leucemias	87,93 [85,22;90,73]	84,66 [80,83;88,67]	75,31 [69,95;81,09]
	Leucemias linfoides	91,33 [88,69;94,04]	87,76 [83,93;91,76]	77,08 [70,86;83,85]
	Leucemias mieloides	73,07 [64,04;83,38]	64,66 [51,34;81,43]	66,90 [54,85;81,59]
	Otras leucemias	80,65 [67,87;95,82]	82,35 [66,09;100,00]	80,95 [65,79;99,62]
	Linfomas	94,88 [91,26;98,65]	97,92 [96,13;99,74]	91,22 [87,61;94,97]
	Linfomas de Hodgkin	100,00 [100,00;100,00]	100,00 [100,00;100,00]	94,00 [89,46;98,77]
	Linfomas no Hodgkin (excepto Burkitt)	89,60 [80,45;99,79]	94,74 [89,85;99,89]	85,48 [77,55;94,22]
	Linfoma de Burkitt	94,44 [88,53;100,00]	98,90 [96,78;100,00]	91,30 [83,51;99,82]
	Otros linfomas	100,00 [100,00;100,00]	100,00 [100,00;100,00]	100,00 [100,00;100,00]

IC: intervalo de confianza; SO 5-a: supervivencia observada a 5 años

...os, y por sexo. REDECAN, 2009-2018.

0-14 años SO 5-a [IC al 95%]	2009-2013 SO 5-a [IC al 95%]	2014-2018 SO 5-a [IC al 95%]	Diferencia en la SO 5-a (%)
87,53 [86,32;88,75]	86,08 [84,34;87,86]	89,12 [87,48;90,79]	3,04
84,19 [82,59;85,83]	82,84 [80,58;85,16]	85,75 [83,51;88,06]	2,91
87,47 [85,82;89,16]	85,58 [83,20;88,03]	89,68 [87,45;91,97]	4,1
69,95 [65,02;75,26]	67,80 [61,02;75,33]	72,37 [65,43;80,05]	4,57
80,00 [73,41;87,19]	86,61 [78,84;95,16]	73,02 [62,84;84,84]	-13,59
94,77 [93,32;96,23]	93,69 [91,46;95,98]	95,82 [93,99;97,68]	2,13
97,24 [95,37;99,14]	97,19 [94,52;99,94]	97,30 [94,73;99,95]	0,11
88,73 [85,01;92,61]	88,42 [83,40;93,75]	89,09 [83,67;94,87]	0,67
96,09 [93,62;98,63]	93,67 [89,24;98,32]	98,33 [96,07;100,00]	4,66
100,00 [100,00;100,00]	100,00 [100,00;100,00]	100,00 [100,00;100,00]	0
86,84 [84,91;88,82]	85,89 [83,15;88,71]	87,89 [85,20;90,67]	2
84,06 [81,64;86,55]	83,19 [79,83;86,68]	85,07 [81,63;88,66]	1,88
87,41 [84,90;90,00]	85,44 [81,83;89,22]	89,71 [86,34;93,21]	4,27
70,72 [63,56;78,67]	71,05 [61,55;82,02]	70,37 [60,03;82,48]	-0,68
78,97 [69,43;89,81]	87,39 [76,56;99,75]	70,00 [55,38;88,48]	-17,39
94,90 [92,42;97,45]	94,45 [90,79;98,26]	95,33 [92,02;98,77]	0,88
98,43 [96,28;100,00]	98,33 [95,15;100,00]	98,51 [95,65;100,00]	0,18
85,54 [78,30;93,45]	86,96 [77,75;97,25]	83,78 [72,71;96,54]	-3,18
97,50 [92,78;100,00]	95,24 [86,55;100,00]	100,00 [100,00;100,00]	4,76
100,00 [100,00;100,00]	100,00 [100,00;100,00]	100,00 [100,00;100,00]	0
87,99 [86,46;89,55]	86,20 [83,96;88,51]	89,93 [87,89;92,02]	3,73
84,29 [82,16;86,47]	82,56 [79,54;85,70]	86,27 [83,34;89,31]	3,71
87,52 [85,33;89,76]	85,69 [82,55;88,95]	89,66 [86,71;92,70]	3,97
69,34 [62,73;76,65]	65,08 [55,87;75,80]	74,00 [65,01;84,25]	8,92
80,96 [72,15;90,84]	86,02 [75,37;98,18]	75,76 [62,46;91,89]	-10,26
94,70 [92,93;96,50]	93,32 [90,54;96,19]	96,06 [93,89;98,27]	2,74
96,31 [93,46;99,25]	96,34 [92,36;100,00]	96,31 [92,30;100,00]	-0,03
90,17 [85,96;94,59]	89,10 [83,22;95,39]	91,49 [85,66;97,72]	2,39
95,80 [92,99;98,69]	93,29 [88,25;98,62]	98,02 [95,34;100,00]	4,73
100,00 [100,00;100,00]	100,00 [100,00;100,00]	100,00 [100,00;100,00]	0



Red Española de Registros de Cáncer



Grupo de trabajo de tumores hematológicos

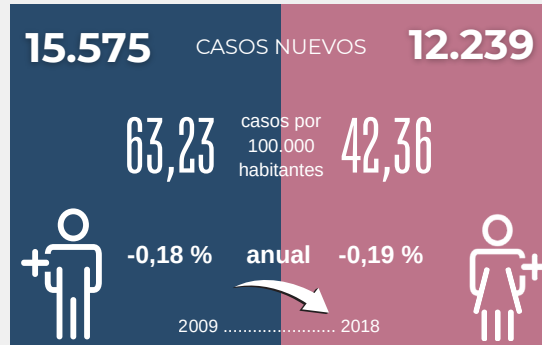
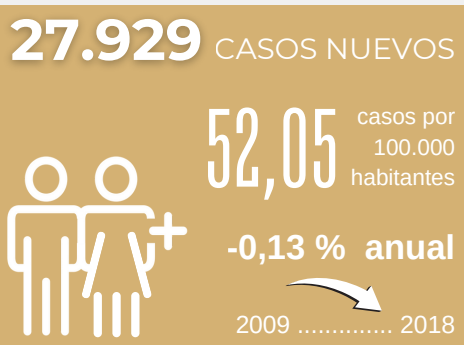


Sociedad Española de Hematología y Hemoterapia

PROYECCIÓN DE LA INCIDENCIA DE

NEOPLASIAS HEMATOLÓGICAS

EN ESPAÑA PARA 2026



NEOPLASIAS LINFOIDES

NEOPLASIAS MIELOIDES

HISTIOCITOSIS



CASOS NUEVOS, PROYECCIONES 2026¹

19.756

10.920 **8.756**

7.953

4.474 **3.432**

220

182 **51**

TASA DE INCIDENCIA 2026, CASOS POR CADA 100.000 HABITANTES

36,82

44,33 **30,30**

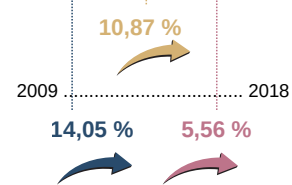
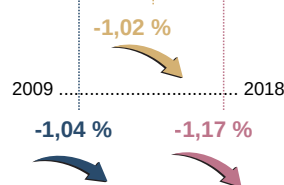
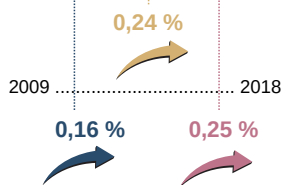
14,82

18,16 **11,88**

0,41

0,74 **0,18**

PORCENTAJE ANUAL DE CAMBIO DE LA INCIDENCIA



1. La suma de los casos nuevos por sexo no se corresponde con los totales dado que se han modelado por separado en base a los datos disponibles (2009-2018).

FUENTE: Red Española de Registros de Cáncer (REDECAN), Proyecto HematoRedecan, 2025

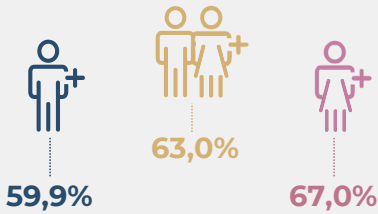




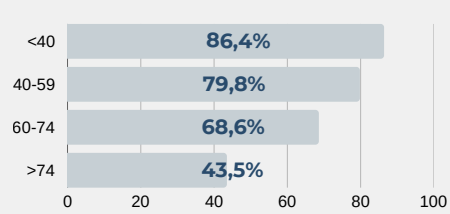
SUPERVIVENCIA NEOPLASIAS HEMATOLÓGICAS EN ESPAÑA

A 5 AÑOS DEL DIAGNÓSTICO

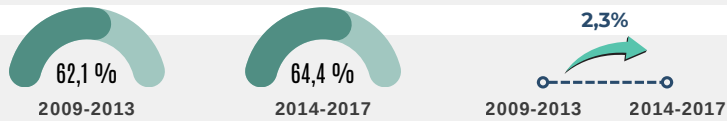
POR SEXO



POR GRUPO DE EDAD, AÑOS



POR PERIODO

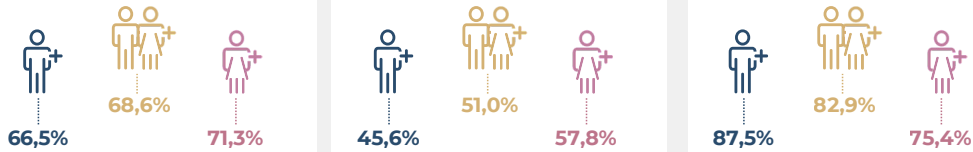


NEOPLASIAS LINFÓIDES

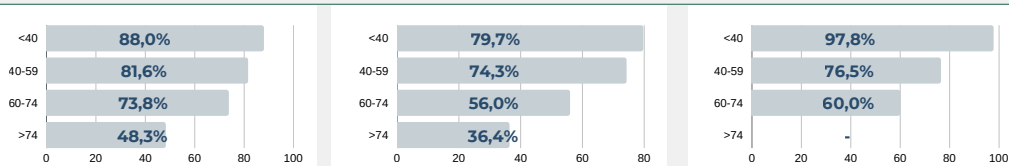
NEOPLASIAS MIELOIDES

HISTIOCITOSIS

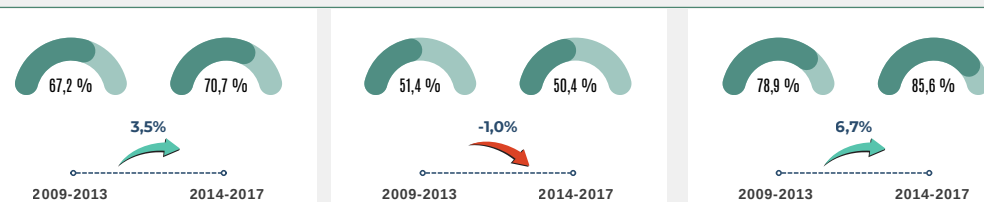
POR SEXO



POR GRUPO DE EDAD, AÑOS

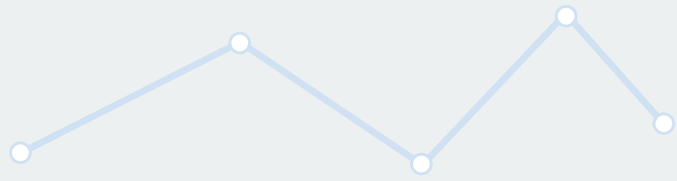


POR PERIODO



FUENTE: Red Española de Registros de Cáncer (REDECAN), Proyecto HematoRedecan, 2025





Red Española de Registros de Cáncer

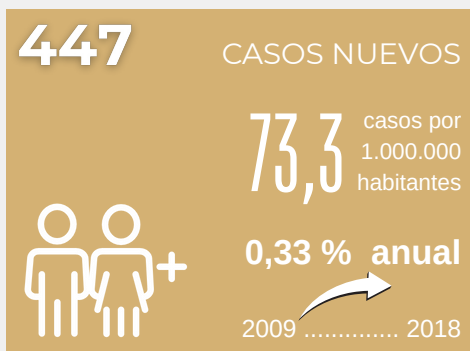


Grupo de trabajo de tumores hematológicos



Sociedad Española de Hematología y Hemoterapia

PROYECCIÓN DE LA INCIDENCIA DE NEOPLASIAS HEMATOLÓGICAS INFANTILES EN ESPAÑA PARA 2026



LEUCEMIAS

LINFOMAS



CASOS NUEVOS, PROYECCIONES 2026 (1)

165 **285** **120**

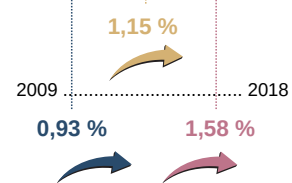
107 **162** **56**

TASA DE INCIDENCIA 2026, CASOS POR CADA 1.000.000 HABITANTES- AÑO

52,23 **46,73** **40,90**

33,77 **26,57** **18,90**

PORCENTAJE ANUAL DE CAMBIO DE LA INCIDENCIA



1. La suma de los casos nuevos por sexo no se corresponde con los totales dado que se han modelado por separado en base a los datos disponibles (2009-2018).

FUENTE: Red Española de Registros de Cáncer (REDECAN), Proyecto HematoRedecan, 2025





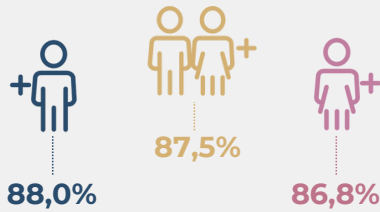
SUPERVIVENCIA

NEOPLASIAS HEMATOLÓGICAS INFANTILES

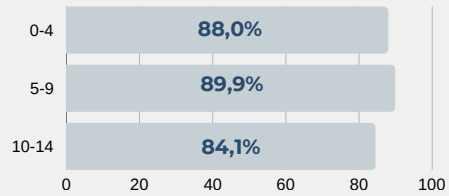
EN ESPAÑA

A 5 AÑOS DEL DIAGNÓSTICO

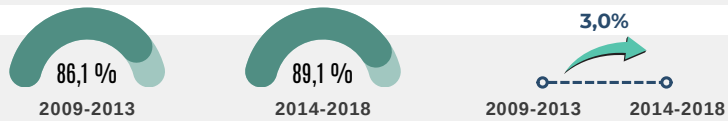
POR SEXO



POR GRUPO DE EDAD, AÑOS



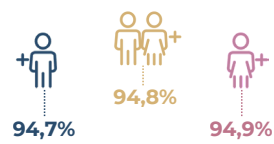
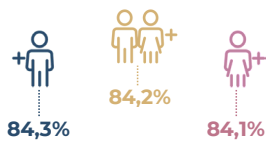
POR PERIODO



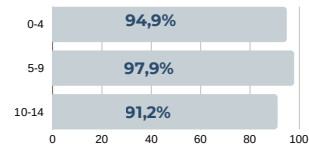
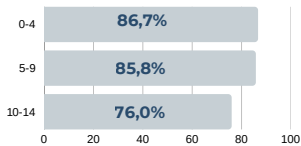
LEUCEMIAS

LINFOMAS

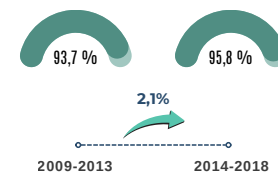
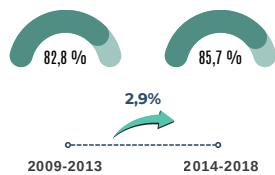
POR SEXO



POR GRUPO DE EDAD, AÑOS



POR PERIODO



FUENTE: Red Española de Registros de Cáncer (REDECAN), Proyecto HematoRedecan, 2025



LAS CIFRAS DEL CÁNCER EN ESPAÑA 2026 SANGUÍNEO

PROYECCIONES DE INCIDENCIA
PARA 2026 Y ESTIMACIONES
DE SUPERVIVENCIA



Red Española
de Registros
de Cáncer



HEMATOREDECAN

Grupo de trabajo
de tumores
hematológicos



Sociedad Española de
Hematología y Hemoterapia